

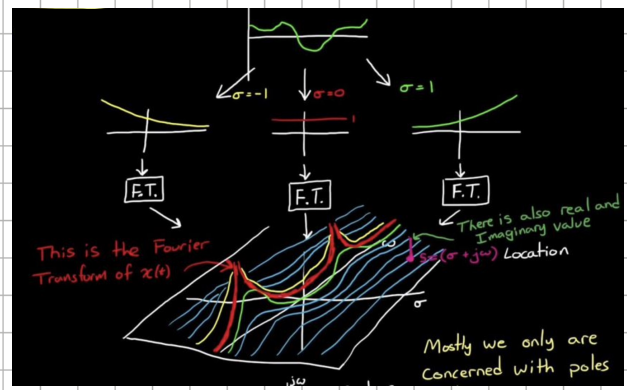
# Laplace Transformation

macht die Lösung LDEL wesentlich einfacher

$$F(s) = \mathcal{L}\{f\}(s) = \int_0^\infty f(t) e^{-st} dt$$

$$s = \sigma + j\omega$$

$e^{-\sigma t}$  heißt man Dämpfungsterm



# Laplace Rücktransformation - Bromwich Integral

$$f(t) = \frac{1}{2\pi j} \int_{\gamma-j\infty}^{\gamma+j\infty} e^{st} F(s) ds$$

$\gamma$  ist eine vertikale Kurve in der komplexen Ebene, die so gewählt wird, dass alle Singularitäten von  $F(s)$  links davon liegen

# Zweiseitige Laplace Transformation

$$F(s) = \mathcal{B}\{f\}(s) = \int_{-\infty}^{\infty} f(t) e^{-st} dt$$

# Eigenschaften der Laplace Transformation

Linearitätssatz: Homogenität und Superposition erfüllt

Verschiebungssatz:  $f(t-t_0) \xrightarrow{\text{---}} e^{-s t_0} F(s)$  für  $t_0 \geq 0$

Ahnlichkeitssatz:  $f(at) \xrightarrow{\text{---}} \frac{1}{a} F(\frac{s}{a})$  mit  $a > 0$

Dämpfungssatz:  $e^{-bt} f(t) \xrightarrow{\text{---}} F(s+b)$  mit  $b \in \mathbb{C}$

Faltungsatz:  $f_1(t) * f_2(t) \xrightarrow{\text{---}} F_1(s) \cdot F_2(s)$

Differentiationsatz:  $f^{(n)}(t) \xrightarrow{\text{---}} s^n F(s) - s^{n-1} f(-0) - \dots - s f^{(n-2)}(-0) - f^{(n-1)}(-0)$

Integrationssatz:  $\int_0^t f(\tau) d\tau \xrightarrow{\text{---}} \frac{1}{s} F(s)$

Anfangswertssatz:  $f(0+) = \lim_{t \rightarrow 0} f(t) = \lim_{s \rightarrow \infty} s F(s)$

Endwertssatz:  $f(\infty) = \lim_{t \rightarrow \infty} f(t) = \lim_{s \rightarrow 0} s F(s)$

# wichtige Laplace Transformierte

$F(s) \bullet\circ f(t)$  für  $t > 0$

Elementar- und Einheitsfunktionen:

1	$\delta(t)$	Diracfunktion
$e^{-Ts}$	$\delta(t - T)$	verschobene Diracfunktion
$\frac{1}{s}$	$\sigma(t)$	Einheits-Sprungfunktion
$\frac{1}{s} \cdot e^{-Ts}$	$\sigma(t - T)$	verschobene Einheits-Sprungfunktion
$\frac{1 - e^{-Ts}}{s}$	$\sigma(t) - \sigma(t - T)$	Einheits-Rechteckimpuls
$\frac{1}{s^2}$	$t$	Einheits-Anstiegsfunktion
$\frac{1}{s^2} \cdot e^{-Ts}$	$(t - T) \cdot \sigma(t - T)$	verschobene Einheits-Anstiegsfunktion
$\frac{1}{s^3}$	$\frac{t^2}{2}$	Einheits-Parabelfunktion
$\frac{1}{s^n}$	$\frac{t^{n-1}}{(n-1)!}, \quad n = 1, 2, 3, \dots$	

Übertragungsfunktionen mit Zeitkonstanten:

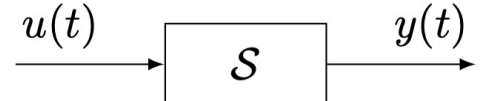
$\frac{1}{1 + T_1 \cdot s}$	$\frac{1}{T_1} \cdot e^{-\frac{t}{T_1}}$	
$\frac{1}{(1 + T_1 \cdot s)^2}$	$\frac{t}{T_1^2} \cdot e^{-\frac{t}{T_1}}$	
$\frac{1}{(1 + T_1 \cdot s)^n}$	$\frac{t^{n-1}}{T_1^n \cdot (n-1)!} \cdot e^{-\frac{t}{T_1}}, \quad n = 1, 2, 3, \dots$	
$\frac{1}{(1 + T_1 \cdot s) \cdot s}$	$1 - e^{-\frac{t}{T_1}}$	
$\frac{1 + T_v \cdot s}{(1 + T_1 \cdot s) \cdot s}$	$1 + \frac{T_v - T_1}{T_1} \cdot e^{-\frac{t}{T_1}}$	
$\frac{1}{(1 + T_1 \cdot s) \cdot s^2}$	$t - T_1 + T_1 \cdot e^{-\frac{t}{T_1}}$	
$\frac{1}{(1 + T_1 \cdot s)^2 \cdot s}$	$1 - \left(1 + \frac{t}{T_1}\right) \cdot e^{-\frac{t}{T_1}}$	
$\frac{1}{(1 + T_1 \cdot s)^n \cdot s}, \quad n = 1, 2, 3, \dots$	$1 - e^{-\frac{t}{T_1}} \cdot \sum_{i=0}^{n-1} \frac{\left(\frac{t}{T_1}\right)^i}{i!}$	
$\frac{1 + T_v \cdot s}{(1 + T_1 \cdot s)^2 \cdot s}$	$1 + \left[\frac{T_v - T_1}{T_1^2} \cdot t - 1\right] \cdot e^{-\frac{t}{T_1}}$	
$\frac{1}{(1 + T_1 s)(1 + T_2 s)}, \quad T_1 \neq T_2$	$\frac{1}{T_1 - T_2} \cdot \left[e^{-\frac{t}{T_1}} - e^{-\frac{t}{T_2}}\right]$	
$\frac{s}{(1 + T_1 s)(1 + T_2 s)}, \quad T_1 \neq T_2$	$\frac{1}{T_2 - T_1} \cdot \left[\frac{1}{T_1} \cdot e^{-\frac{t}{T_1}} - \frac{1}{T_2} \cdot e^{-\frac{t}{T_2}}\right]$	
$\frac{1 + T_v s}{(1 + T_1 s)(1 + T_2 s)}, \quad T_1 \neq T_2$	$\frac{1}{T_1 - T_2} \cdot \left[\frac{T_1 - T_v}{T_1} \cdot e^{-\frac{t}{T_1}} - \frac{T_2 - T_v}{T_2} \cdot e^{-\frac{t}{T_2}}\right]$	
$\frac{1}{(1 + T_1 s)(1 + T_2 s)s}, \quad T_1 \neq T_2$	$1 - \frac{1}{T_1 - T_2} \cdot \left[T_1 \cdot e^{-\frac{t}{T_1}} - T_2 \cdot e^{-\frac{t}{T_2}}\right]$	
$\frac{1 + T_v s}{(1 + T_1 s)(1 + T_2 s)s}, \quad T_1 \neq T_2$	$1 - \frac{T_1 - T_v}{T_1 - T_2} \cdot e^{-\frac{t}{T_1}} + \frac{T_2 - T_v}{T_1 - T_2} \cdot e^{-\frac{t}{T_2}}$	
$\frac{1}{(1 + T_1 s)(1 + T_2 s)(1 + T_3 s)}, \quad T_1, T_2, T_3 \neq$	$\frac{T_1 \cdot e^{-\frac{t}{T_1}}}{(T_1 - T_2)(T_1 - T_3)} + \frac{T_2 \cdot e^{-\frac{t}{T_2}}}{(T_2 - T_1)(T_2 - T_3)}$ $+ \frac{T_3 \cdot e^{-\frac{t}{T_3}}}{(T_3 - T_1)(T_3 - T_2)}$	
$\frac{s}{(1 + T_1 s)(1 + T_2 s)(1 + T_3 s)}, \quad T_1, T_2, T_3 \neq$	$\frac{e^{-\frac{t}{T_1}}}{(T_1 - T_2)(T_1 - T_3)} + \frac{e^{-\frac{t}{T_2}}}{(T_2 - T_3)(T_2 - T_1)}$ $+ \frac{e^{-\frac{t}{T_3}}}{(T_3 - T_1)(T_3 - T_2)}$	

Übertragungsfunktionen mit Pol- und Nullstellen:

$\frac{1}{s + a}$	$e^{-at}$	
$\frac{1}{(s + a)^2}$	$t \cdot e^{-at}$	
$\frac{1}{(s + a)^n}$	$\frac{t^{n-1}}{(n-1)!} \cdot e^{-at}, \quad n = 1, 2, 3, \dots$	
$\frac{s}{s + a} = 1 - \frac{a}{s + a}$	$\delta(t) - a \cdot e^{-at}$	
$\frac{s+z}{s+a}; 1 - \frac{a-z}{s+a}$	$\delta(t) - (a-z) \cdot e^{-at}$	
$\frac{1}{(s+a) \cdot s}$	$\frac{1}{a} \cdot [1 - e^{-at}]$	
$\frac{s+z}{(s+a) \cdot s}$	$\frac{z}{a} \cdot [1 - e^{-at}] + e^{-at}$	
$\frac{1}{(s+a) \cdot s^2}$	$\frac{1}{a^2} \cdot [-1 + a \cdot t + e^{-at}]$	
$\frac{s}{(s+a)^2}$	$(1 - a \cdot t) \cdot e^{-at}$	
$\frac{1}{(s+a)^2 \cdot s}$	$\frac{1}{a^2} \cdot [1 - e^{-at} - a \cdot t \cdot e^{-at}]$	
$\frac{1}{(s+a)^n \cdot s}, \quad n = 1, 2, 3, \dots$	$\frac{1}{a^n} \cdot \left[1 - e^{-at} \cdot \sum_{i=0}^{n-1} \frac{(a \cdot t)^i}{i!}\right]$	
$\frac{s+z}{(s+a)^2 \cdot s}$	$\frac{z}{a^2} \cdot \left[1 - e^{-at} + \frac{a^2 - a \cdot z}{z} \cdot t \cdot e^{-at}\right]$	
$\frac{1}{(s+a) \cdot (s+b)}, \quad a \neq b$	$\frac{1}{b-a} \cdot [e^{-at} - e^{-bt}]$	
$\frac{s}{(s+a) \cdot (s+b)}, \quad a \neq b$	$\frac{1}{a-b} \cdot [a \cdot e^{-at} - b \cdot e^{-bt}]$	
$\frac{s+z}{(s+a) \cdot (s+b)}, \quad a \neq b$	$\frac{1}{b-a} \cdot [(z-a) \cdot e^{-at} - (z-b) \cdot e^{-bt}]$	
$\frac{1}{(s+a) \cdot (s+b) \cdot s}, \quad a \neq b$	$\frac{1}{a \cdot b} \cdot \left[1 - \frac{b}{b-a} \cdot e^{-at} + \frac{a}{b-a} \cdot e^{-bt}\right]$	
$\frac{s+z}{(s+a) \cdot (s+b) \cdot s}, \quad a \neq b$	$\frac{1}{a \cdot b} \cdot \left[z - \frac{b \cdot (z-a)}{b-a} \cdot e^{-at} + \frac{a \cdot (z-b)}{b-a} \cdot e^{-bt}\right]$	
<b>Übertragungsfunktionen in Polynomform:</b>		
$\frac{\omega_0^2}{s^2 + 2D\omega_0 s + \omega_0^2}$	$\frac{\omega_0}{\sqrt{1-D^2}} \cdot e^{-D\omega_0 t} \cdot \sin(\omega_e t) = \frac{\omega_0^2}{\omega_e} \cdot e^{-D\omega_0 t} \cdot \sin(\omega_e t),$ $-1 < D < 1, \quad \omega_e = \omega_0 \sqrt{1-D^2}$	
$\frac{s}{s^2 + 2D\omega_0 s + \omega_0^2}$	$e^{-D\omega_0 t} \cdot \left[\cos(\omega_e t) - \frac{D}{\sqrt{1-D^2}} \cdot \sin(\omega_e t)\right],$ $-1 < D < 1, \quad \omega_e = \omega_0 \sqrt{1-D^2}$	
$\frac{\omega_0^2}{(s^2 + 2D\omega_0 s + \omega_0^2)s}$	$1 - \frac{1}{\sqrt{1-D^2}} \cdot e^{-D\omega_0 t} \cdot \sin(\omega_e t + \phi),$ $-1 < D < 1, \quad \omega_e = \omega_0 \sqrt{1-D^2}, \quad \phi = \arccos(D)$	
$\frac{a}{s^2 - a^2}$	$\sinh(at)$	
$\frac{s}{s^2 - a^2}$	$\cosh(at)$	
$\frac{\omega}{s^2 + \omega^2}$	$\sin(\omega t)$	
$\frac{s}{s^2 + \omega^2}$	$\cos(\omega t)$	

# Dynamische Systeme

$u(t)$ : Eingang / Erregung des Systems  
 $y(t)$ : Ausgang / Reaktion des Systems



$$a_n y^{(n)} + a_{n-1} y^{(n-1)} + \dots + a_1 \dot{y} + a_0 y = b_q u^{(q)} + b_{q-1} u^{(q-1)} + \dots + b_1 \dot{u} + b_0 u$$

Lösung der DGL mit Erregung  $u(t)$  ist  $y(t)$ , man schreibt  $y(t) = S\{u(t)\}$

LTI - System: Linear Time Independent

→ Linear: Superposition und Homogenität, resp:  $S\{\sum_k \alpha_k u_k(t)\} = \sum_k \alpha_k S\{u_k(t)\}$

→ Zeitinvarianz:  $a_{i,j}, b_{i,j}$  sind konstant

Kausalität:

Systemausgang  $y$  kann nur von den Eingangsgrößen abhängen, welche in der Vergangenheit liegen

$$\Rightarrow q \leq n$$

## Kennfunktionen dynamischer Systeme

Gewichtsfunktion / Impulsantwort / Stoßantwort  $g(t) = S\{\delta(t)\}$

Einhits-  
impuls-  
antwort

→ beschreibt LTI-System vollständig

→ man kann mit  $g(t)$  Ausgangssignal für beliebiges Eingangssignal berechnen:

$$u(t) = u(t) * \delta(t) \quad \xrightarrow{\text{LTI-System}} \quad y(t) = u(t) * g(t)$$

$$= \int_{-\infty}^t u(\tau) \delta(t-\tau) d\tau \quad = \int_{-\infty}^t u(\tau) g(t-\tau) d\tau$$

MATLAB:  $y = \text{conv}(u,g)$

Gewichtsfunktion  $g(t) = S\{\delta(t)\}$  bestimmen:

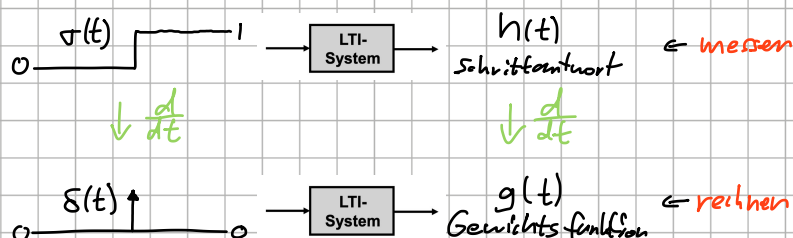
Schrittantwort  $h(t) = S(\sigma(t))$  messen (einfacher zu messen) und ableiten:

$$h(t) = \sigma(t) * g(t)$$

$$= \int_{-\infty}^t \sigma(t-\tau) g(\tau) d\tau$$

$$= \int_{-\infty}^t g(\tau) d\tau$$

$$\Rightarrow g(t) = \frac{d}{dt} h(t)$$



## Systemantwort im Bildbereich

$$u(t) \xrightarrow{\text{LTI-System}} y(t) = g(t) * u(t) = S\{u(t)\}$$

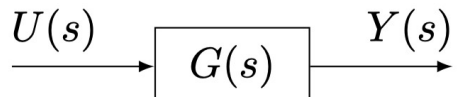
$$\begin{array}{ccc} \bullet & & \\ U(s) & \xrightarrow{\otimes} & Y(s) = G(s) \cdot U(s) \\ G(s) = S\{g(t)\} & & \end{array}$$

# Übertragungsfunktion

→ analog zu Frequenzgang bei Fouriertransformation

zentrales Bezugspunkt für LTI Systeme, gibt auf einfache Art Auskunft über das dynamische Verhalten eines Systems

$$G(s) = \frac{Y(s)}{U(s)} = \mathcal{L}(g(t))$$



direkt aus DGL ableitbar:

$$G(s) = \frac{Y(s)}{U(s)} = \frac{b_q s^q + b_{q-1} s^{q-1} + \dots + b_1 s + b_0}{a_n s^n + a_{n-1} s^{n-1} + \dots + a_1 s + a_0}$$

$q < n$  wegen Kausalität

man kann  $G(s)$  aus Frequenzgang gendauern, indem man dort jew durch  $s$  ersetzt  
bei instabilen Systemen beschreibt dies dann allerdings nicht das stationäre Verhalten  
bei stufenförmigen Anregungen, da diese keinen stationären Zustand besitzen (die Trajektorien  
laufen gegen  $\infty$ )

→ streng genommen sind die Bedingungen d. Fouriertransformation jedoch sowieso nicht erfüllt, dass  
Frequenzgang existiert theoretisch also gar nicht

Nenner d. tf wesentlich für Charakterisierung eines dynamischen Systems  
→ „charakteristisches Polynom“

$$y(t) = x_H(t) + y_P(t)$$

Anfangsbedingungen werden für  $G(s)$  nicht mittransformiert

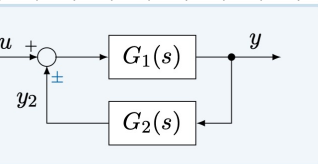
⇒ man bekommt nur partikuläre Lösung

→ homogene Lösung sowie exponentiell abklingend füllt System stabil

## Blockschaltbilder

Rückführung:

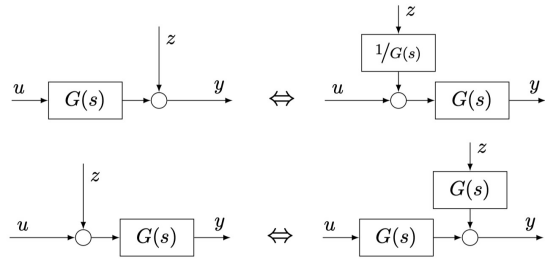
$$G(s) = \frac{Y(s)}{U(s)} = \frac{G_1(s)}{1 + G_1(s) G_2(s)}$$



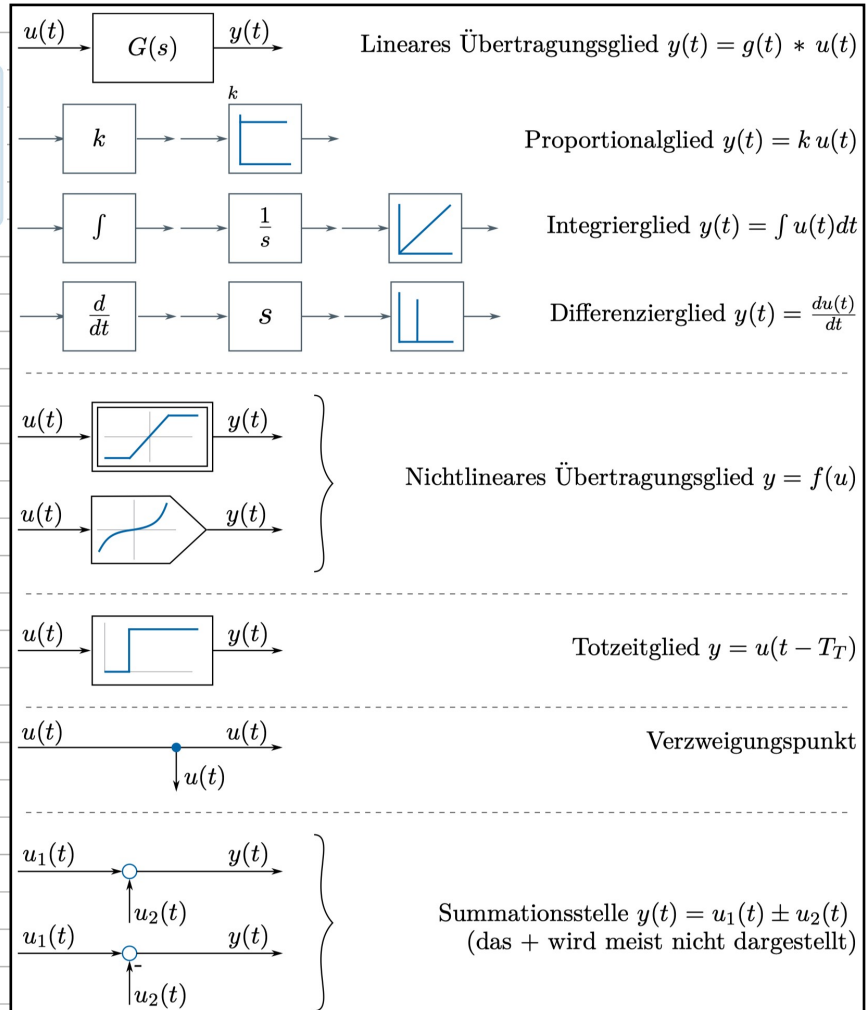
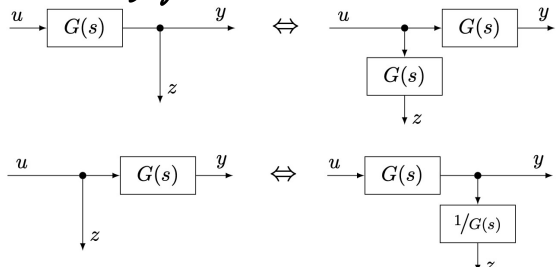
Gegenkopplung (unteres Vorzeichen):

unbilligste Schaltung d. Regelungs technik

Additionsstelle versetzen:



Verzweigungsstelle versetzen:



# Differentialgleichung

$$y^{(n)} + a_{n-1}y^{(n-1)} + \dots + a_1\dot{y} + a_0y = b_qu^{(q)} + \dots + b_1\dot{u} + b_0u$$

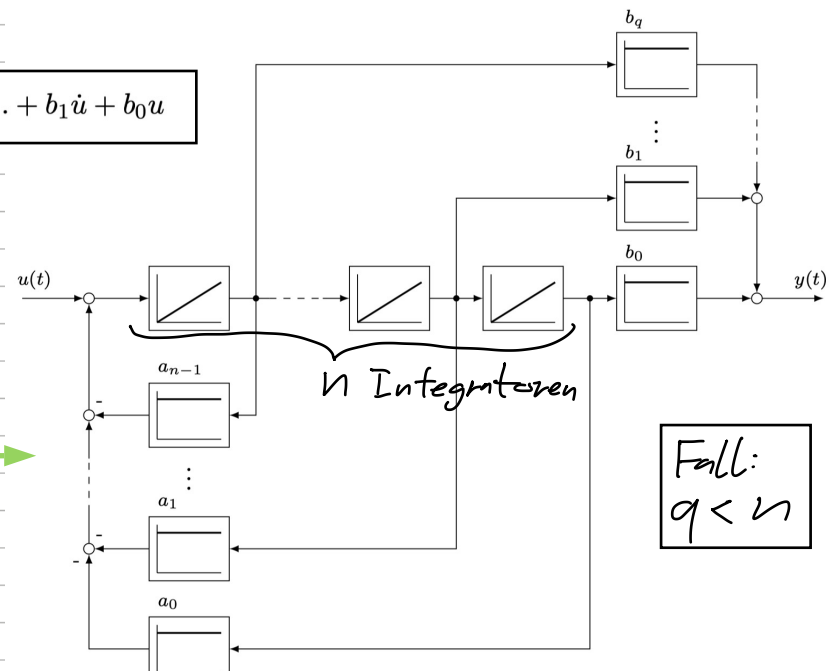
$$G(s) = \frac{b_qs^q + b_{q-1}s^{q-1} + \dots + b_1s + b_0}{s^n + a_{n-1}s^{n-1} + \dots + a_1s + a_0}$$

**Sprungfähigkeit:**  $q=n$  resp.  $b_n \neq 0$

Falls  $n$ -sprungfähig ( $q < n$ )

falls sprungfähig ( $q = n$ )  $\Rightarrow$  direkter Durchgriff von Systemeingang zu Systemausgang

$\hookrightarrow$  Schrittantwort zu Zeitpunkt  $t=0^+$  von Null verschieden:  $y(t=0^+) \neq 0$   
 $\rightarrow y(t=0^+)$  kann mit Anfangswert-  
 satz berechnet werden



## Einheiten

empfohlen wird die Einheiten zu berücksichtigen im Signalpfad um physikalische Vorgänge besser zu verstehen und Fehler vermeiden

- Integrator  $\rightarrow$  Multiplikation der Einheit mit Zeit
- Differenzierglied  $\rightarrow$  Dividieren der Einheit durch Zeit
- Proportionalglied  $\rightarrow$  Multiplikation der Einheiten

## Darstellungsformen

### Polynomdarstellung

$$G(s) = \frac{b_q s^q + b_{q-1} s^{q-1} + \dots + b_1 s + b_0}{a_n s^n + a_{n-1} s^{n-1} + \dots + a_1 s + a_0} = \frac{Z(s)}{N(s)}$$

wird üblicherweise mit  $a_n$  gekürzt, damit vor höchsten Potenzen im Nenner eine 1 steht:

$$G(s) = \frac{\tilde{b}_q s^q + \tilde{b}_{q-1} s^{q-1} + \dots + \tilde{b}_1 s + \tilde{b}_0}{s^n + \tilde{a}_{n-1} s^{n-1} + \dots + \tilde{a}_1 s + \tilde{a}_0}$$

### Pol-Nullstellenform

$$G(s) = \frac{b_q}{a_n} \cdot \frac{(s-z_1)(s-z_2)\dots(s-z_{q-1})(s-z_q)}{(s-p_1)(s-p_2)\dots(s-p_{n-1})(s-p_n)}$$

falls komplexe  $z$  oder  $p$   $\Rightarrow$  treten als komplex konj. Paare auf (da alle  $a, b \in \mathbb{R}$ )  
 → werden zu Polynomen  $Z$  der Ordnung zusammengefasst

Nullstellen  $z_i$ , Polstellen  $p_j$ , Verstärkung  $b_q/a_n$   
 charakteristisch ein LTI-System abhängig!

### Summendarstellung / Partielle Bruchdarstellung

Voraussetzung:  $q < n$ , keine mehrfachen Polstellen

$$G(s) = A_1 \frac{1}{s-p_1} + A_2 \frac{1}{s-p_2} + \dots + A_{n-1} \frac{1}{s-p_{n-1}} + A_n \frac{1}{s-p_n} \quad \text{mit } A_i = \frac{Z(p_i)}{\frac{d}{ds}N(p_i)}$$

daraus lässt sich sehr einfach die Gewichtsfunktion bestimmen (inverse LT):

$$g(s) = A_1 e^{p_1 t} + A_2 e^{p_2 t} + \dots + A_{n-1} e^{p_{n-1} t} + A_n e^{p_n t}$$

### Zeitkonstantendarstellung

Voraussetzung: Polstellen reell

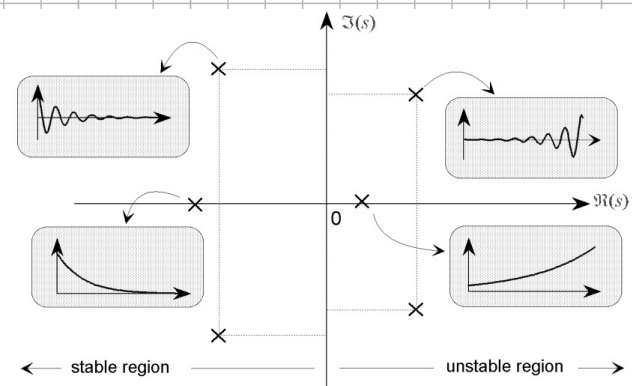
$$G(s) = \frac{b_q}{a_n} \cdot \frac{(-1)^n}{p_1 p_2 \dots p_{n-1} p_n} \cdot \frac{(s-z_1)(s-z_2)\dots(s-z_{q-1})(s-z_q)}{(\tau_1 s + 1)(\tau_2 s + 1)\dots(\tau_{n-1} s + 1)(\tau_n s + 1)} \quad \text{mit } \tau_i = -1/p_i$$

# Systemeigenschaften

Stabilität von LTI - System anhand Pollage:

- stabil falls alle Pole  $\operatorname{Re}(p) < 0$
- instabil falls mind 1 Pol  $\operatorname{Re}(p) > 0$
- grenzstabil, falls 1 Pol  $\operatorname{Re}(p) = 0$

Um die TF vollständig anzugeben muss man noch den Verstärkungsfaktor kennen



## Pollage

- je grösser  $|p|$  desto höher/schneller ist Dynamik, die dieser  $p$  zum System bringt
- bei Sprungantwort wird das generelle Zeitverhalten von langsamsten  $p_1/p_0$ -Paar dominiert
- gibt es komplexe  $p$ -Paare  $\Rightarrow$  es treten Schwingungen im Zeitverhalten auf
- Schwingungen umso unangenehmer, je grösser  $\operatorname{Im}(p)$  gegenüber  $\operatorname{Re}(p)$  ist

System 2ter Ordnung ohne Nullstellen:

$$G(s) = \frac{\omega_0^2}{s^2 + 2\xi\omega_0 s + \omega_0^2} \quad \text{mit Eigenfrequenz } \omega_0 \text{ und Dämpfungsfaktor } \xi$$

$$p_{1,2} = \omega_0 \left( -\xi \pm \sqrt{\xi^2 - 1} \right) \Rightarrow \begin{cases} \operatorname{Re}(p_{1,2}) = -\omega_0 \xi \\ \operatorname{Im}(p_{1,2}) = \pm \omega_0 \sqrt{1 - \xi^2} \end{cases}$$

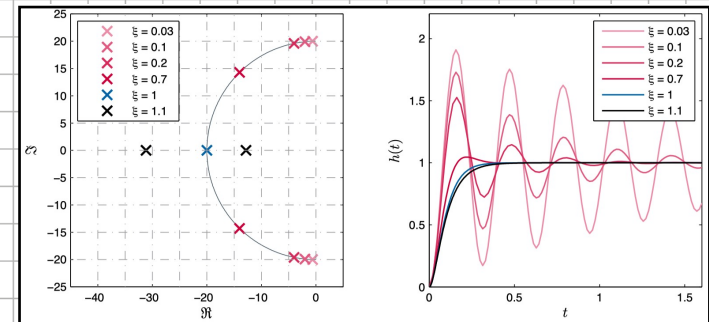
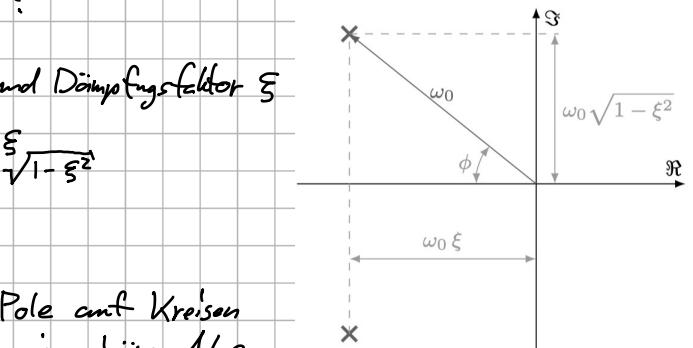
$$\phi = \arccos\left(\frac{-\operatorname{Re}(p)}{\omega_0}\right) = \arccos(\xi)$$

bei Variation des Dämpfungsterms  $\xi$  wandern Pole auf Kreisen um den Ursprung, bei kleinem  $\xi$  laufen sie in Richtung imaginäre Achse, für  $\xi = 1$  treffen sie sich auf der reellen Achse (gepolstlicher Grenzfall)

für  $0.7 < \xi < 1.0$  keine eigentliche Schwingung zu erkennen, Dämpfung dominiert das Verhalten so stark, dass kann eine Schwingung entstehen kann

viele technische Systeme kann man vereinfacht als Systeme 2ter Ordnung beschreiben:

Feder-Masse-Dämpfersystem, RLC-Schwingkreis, Tiefpass 2ter Ordnung, Thermisches System, usw.



## E/A - Stabilität

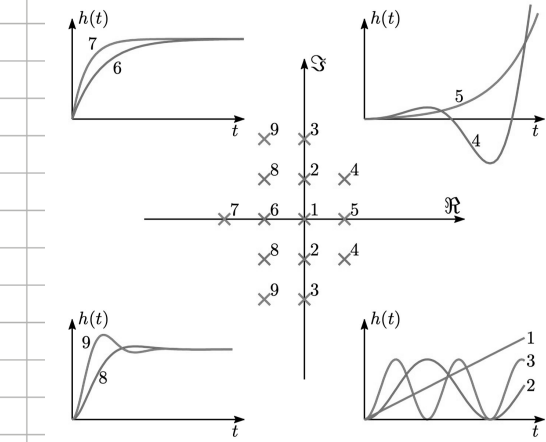
endliches Eingangssignal  $u(t)$  mit  $|u(t)| < \infty \forall t$   
führt zu endlichem Ausgangssignal  $|y(t)| < \infty \forall t$

→ gleichwertig zu Definition über Pollage

System E/A - stabil

$$\Leftrightarrow \int_0^\infty |g(t)| dt < \infty$$

$$\Leftrightarrow \operatorname{Re}(p_i) < 0 \quad \forall i$$



## Stabilitätskriterium nach Hurwitz

$$P(s) = a_n s^n + a_{n-1} s^{n-1} + \dots + a_1 s + a_0$$

falls Polynom Grad  $n \geq 5$

$\Rightarrow$  keine analytische Formel mehr um Nullstellen zu berechnen  
 → nur noch numerisch lösbar

ob Nullstellen eines Polynoms negativen Realteil haben, kann man aber auch herausfinden ohne diese explizit zu berechnen  $\rightarrow$  Hurwitzmatrix  $H$

$$H = \begin{bmatrix} a_1 & a_3 & a_5 & a_7 & a_9 & \dots \\ a_0 & a_2 & a_4 & a_6 & a_8 & \dots \\ 0 & a_1 & a_3 & a_5 & a_7 & \dots \\ 0 & a_0 & a_2 & a_4 & a_6 & \dots \\ 0 & 0 & a_1 & a_3 & a_5 & \dots \\ \vdots & \vdots & \vdots & \vdots & \vdots & \end{bmatrix}$$

in  $H$  werden Koeffizienten mit Index  $> n$  zu 0 gesetzt

Hurwitzdeterminanten:

$$D_1 = a_1, D_2 = \begin{vmatrix} a_1 & a_3 \\ a_0 & a_2 \end{vmatrix}, \dots, D_{n-1} = \det(M), D_n = \begin{vmatrix} M & \vec{0} \\ \dots & a_n \end{vmatrix} = a_n D_{n-1}$$

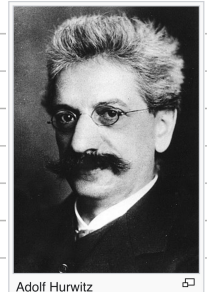
$\hookrightarrow$  muss nicht berechnet werden,  
 da  $a_n > 0$  und  $D_{n-1} > 0$  bereits  
 geprüft wurden

Hurwitzkriterium:

alle Nullstellen von  $P(s)$  haben negativen Realteil, falls

- (i) alle Koeffizienten  $a_i$  treten auf und sind positiv
- (ii) alle Hurwitzdeterminanten  $D_i$  von  $H$  sind positiv

# Nullstellen in rechter Halbebene = # Vorzeichenwechsel in der Reihe  $D_1, \frac{D_2}{D_1}, \dots, \frac{D_n}{D_{n-1}}$



Adolf Hurwitz

# Rückgekoppelte Systeme

bei Regelung wird (im Gegensatz zu Steuerung) die Regelgröße mit der Führunggröße verglichen

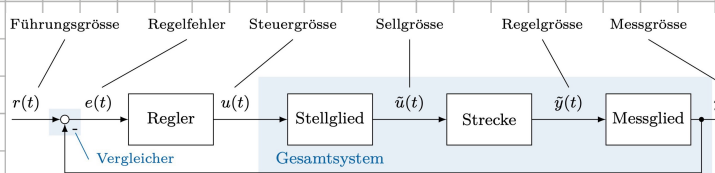


Vorteile:

- es kann auf Störungen abgegelenkt werden, da deren Einfluss durch Rückführung registriert wird
- es kann auch ein gewünschtes Verhalten erreicht werden, wenn sich Verhalten d. Sys. ändert

Nachteile:

- ein stabiles System kann durch Regelung instabil (schwach) werden
- erhöhter Aufwand bei Umsetzung (Regelstabilität, Sensorschaltung)



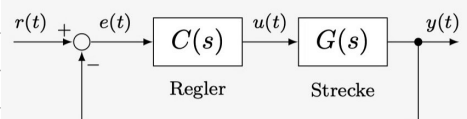
**Grundstruktur klassischer Regelkreise:**  
aus Führungsgröße und Messgröße wird Regelfehler berechnet und dann Regler angesteuert, welcher daraus die SteuergroÙe bildet und diese an das Stellglied gibt  
→ Stellglied, Strecke, Messglied üblicherweise zu Regelstufe zusammengefst

## Führungsverhalten

$$\text{Führungsübertragungsfunktion: } G_{cl}(s) = \frac{Y(s)}{R(s)} = \frac{C(s) G(s)}{1 + C(s) G(s)}$$

$$\text{NTF d. offenen Kette: } G_o(s) = C(s) G(s) \stackrel{\text{opt}}{=} \frac{n(s)}{d(s)}$$

$$\Rightarrow G_{cl}(s) = \frac{G_o(s)}{1 + G_o(s)} = \frac{n}{1 + n} = \frac{n}{d + n}$$

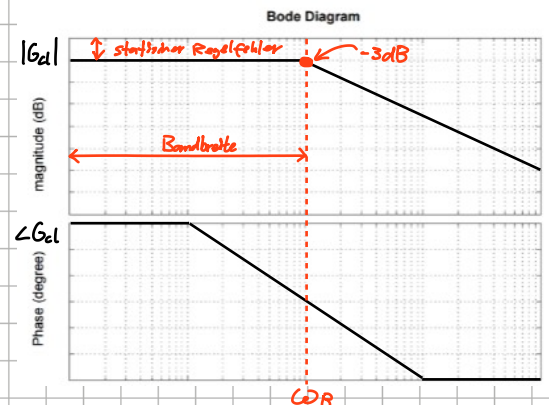


es wird angestrebt, dass geregeltes System überwachen,  
Frequenzgang proportional verhalten hat  
⇒ Frequenzgang d. ger. S. verhält sich wie TP 1. oder 2. Ordnung

Ziel: statischer Regelfehler = 1 = 0dB, möglichst große Bandbreite

rechts angenhrter Verlauf (als Konstruktion  $G(j\omega)$ ), bei:  
Grenzfrequenz gilt z.B.  $|G_{cl}(j\omega_0)| = |G_{cl}(j0)| - 3\text{dB}$   
→ eine von vielen Doltfaktoren

Bandbreite:  $0 \leq \omega \leq \omega_B$



falls sich  $G_{cl}(s)$  wie TP 1. Ordnung verhält, gilt:

$$|G_{cl}(j\omega_0)| = \frac{DC}{\sqrt{2}} = 0.7 \cdot DC \quad \text{da} \quad -3\text{dB} = 10^{-3/20} = \frac{1}{\sqrt{2}}$$

damit ergibt s.l.h.:

$$\frac{1}{\sqrt{2}} = |G_{cl}(j\omega_B)| = \left| \frac{1}{T j \omega_B + 1} \right| = \frac{1}{\sqrt{1 + T^2 \omega_B^2}} \Rightarrow Z = 1 + T^2 \omega_B^2$$

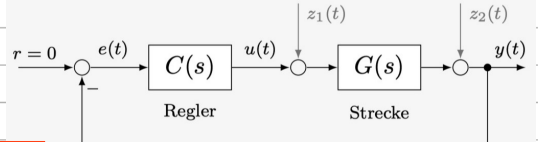
$$\Rightarrow \omega_B = \frac{1}{T}$$

## Störverhalten

um Wirkung von  $z_{1,2}$  betrachten, setzt man  $r$  und  $z_{2,1} = 0$

Störübertragungsfunktionen:

$$\boxed{\begin{aligned} G_{z1}(s) &= \frac{Y(s)}{Z_1(s)} = \frac{G(s)}{1 + C(s)G(s)} & \text{falls: } & \frac{dcn}{dc + nc} \\ G_{z2}(s) &= \frac{Y(s)}{Z_2(s)} = \frac{1}{1 + C(s)G(s)} & C(s) = \frac{nc}{dc} & \\ & & G(s) = \frac{n}{d} & \frac{dc}{dc + nc} \end{aligned}}$$



Nenner bei  $G_{z1}$ ,  $G_{z2}$  identisch  $\Rightarrow$  gleiche Stabilitätsbedingungen

$\Rightarrow$  Nennerpolynom beschreibt Systemeigenschaft und ist nicht spezifisch für ein Ein-/Ausgangsverhalten, Zähler sind hingegen verschieden

deshalb können  $G_{z1}$  und  $G_{z2}$  nicht unabhängig voneinander beschlossen werden, da

$$G_{z1} + G_{z2} = \frac{G_0}{1+G_0} + \frac{1}{1+G_0} = 1$$

## stationäre Eigenschaften

welchen grossen Bandbreite möchte man, dass Regelgröße im statischen Fall der Führungsgröße folgt, also bei einem Einheitsschritt ( $r(t) = \sigma(t)$ ) soll dieser Wert exakt erreicht werden:

$$\lim_{t \rightarrow \infty} y(t) = \lim_{s \rightarrow 0} s Y(s) = \lim_{s \rightarrow 0} s R(s) G_0(s) = \lim_{s \rightarrow 0} s \frac{1}{s} G_0(s) = \lim_{s \rightarrow 0} G_0(s) \stackrel{!}{=} 1$$

unter Voraussetzung dass Regelmässig stabil ist folgt daraus:

$$\lim_{s \rightarrow 0} G_0(s) = \lim_{s \rightarrow 0} \frac{G_0(s)}{1+G_0(s)} \stackrel{!}{=} 1 \Leftrightarrow \lim_{s \rightarrow 0} G_0(s) = 1 + \lim_{s \rightarrow 0} G_0(s) \Rightarrow \lim_{s \rightarrow 0} G_0(s) = \infty$$

Falls  $G_0$  geb. von Faktoren ist,  $G_0(s) = \sum_{i=0}^m b_i s^i / \sum_{i=0}^n a_i s^i$ , folgt daraus:  $a_0 = 0$   $b_0 \neq 0$

$\Rightarrow$  aus  $G_0$  muss also ein Faktor  $1/s^m$  für  $m \geq 1$  herausgezogen werden können:

$$G_0(s) = \frac{1}{s^m} \cdot \frac{b_0 s^m + \dots + b_m s^0 + b_0}{a_0 s^{n-m} + \dots + a_m} = \frac{1}{s^m} \tilde{G}_0(s)$$

$\Rightarrow$  offene Kette  $G_0$  muss mind. einfach integrierendes Verhalten haben  
 $\rightarrow$  muss nicht Regler sein, kann auch Strecke sein

oft wird auch gefordert dass konstante Störungen ausgetilgt werden:  $\lim_{s \rightarrow 0} s \frac{1}{s} G_z(s) \stackrel{!}{=} 0$

$$\lim_{s \rightarrow 0} G_{z1}(s) = \lim_{s \rightarrow 0} \frac{G}{1+CG} \stackrel{!}{=} 0$$

$\rightarrow$  damit dies gilt muss entweder Strecke  $G$  differenzierendes Verhalten haben (selten der Fall!) oder Nenner muss  $\rightarrow \infty$  gehen und gegebenenfalls schneller als Zähler

$\Rightarrow$  Regler  $C$  muss integrierendes Verhalten haben

$$\lim_{s \rightarrow 0} G_{z2}(s) = \lim_{s \rightarrow 0} \frac{1}{1+CG} = \lim_{s \rightarrow 0} \frac{1}{1+G_0} \stackrel{!}{=} 0$$

$\Rightarrow$  offene Kette  $G_0$  muss integrierendes Verhalten haben

$G_0$  integrierend  $\Leftrightarrow \left\{ \begin{array}{l} \text{sprungförmige Signale am Eingang } r(t) \text{ werden statisch erreicht} \\ \text{konstante Störungen } z_2(t) \text{ am Systemausgang werden statisch ausgetilgt} \end{array} \right.$

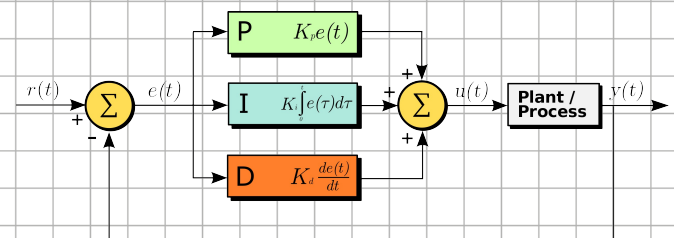
$C$  integrierend  $\Leftrightarrow \left\{ \begin{array}{l} \text{konstante Störungen } z_1(t) \text{ am Systemeingang werden statisch ausgetilgt} \end{array} \right.$

## PID-Regler

idealer PID-Regler:

$$C(s) = k_p + \frac{k_I}{s} + k_D s = \frac{k_D s^2 + k_p s + k_I}{s}$$

nicht kausal!

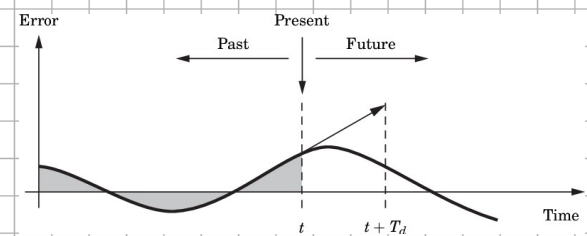


generelle Anforderung an geregeltes System:

- (i) Stabilität: alle Pole liege im linken Halbebenen, endliche E führt zu endlichen A-Stufen
- (ii) Führungsverhalten: Anstiegszeit, Überschwingweite, Bandbreite, etc.
- (iii) Störverhalten: Ausregeln konstanter Störungen, etc.
- (iv) Robustheit: Regler muss mit geïnïssen Schwankungen im realen System umgehen können

PID berücksichtigt folgende Regelfehler:

- aktuellen (P)
- vergangenen (I)
- zukünftigen (D)



für schwach gedämpfte Strecken (dominante Pole kompl. konj.) lohnt sich D-Anteil da Systemdämpfung des geschlossenen Systems erhöht wird

## P-Regler

$$C = k_p$$

Falls Strecke von Form  $G = \frac{v}{d} = \frac{b_0 s^n + \dots + b_0}{a_n s^n + \dots + a_0}$ :

$$\text{Führungsübertragungsfunktion: } G_{cl}(s) = \frac{k_p n}{d + k_p n}$$

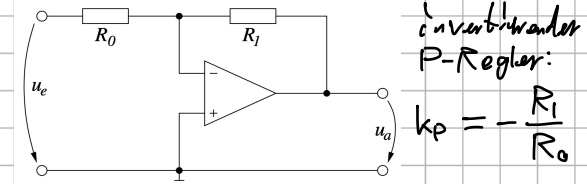
$$\text{statischer Endwert: } \frac{y(\infty)}{r(\infty)} = \lim_{s \rightarrow 0} G_{cl}(s) = \frac{k_p b_0}{a_0 + k_p b_0}$$

$$\Rightarrow \text{statischer Regelfehler: } e(\infty) = a_0$$

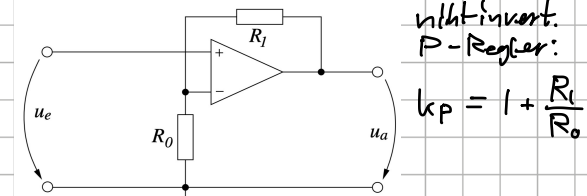
↳ gleich 0 falls  $a_0 = 0$  ist

(dann hat Strecke integriertes Verhalten)

Realisierung mit OpAmps:



Invertierender P-Regler:  
 $k_p = -\frac{R_I}{R_0}$



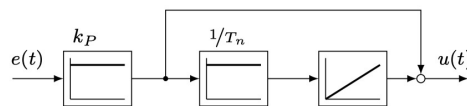
Nichtinvertierender P-Regler:  
 $k_p = 1 + \frac{R_I}{R_0}$

## PI-Regler

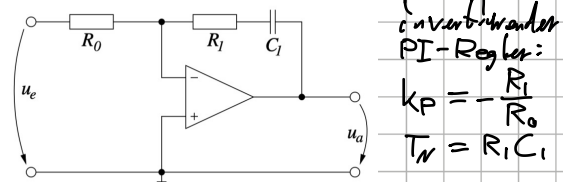
$$C = k_p \left(1 + \frac{1}{T_n s}\right)$$

$$= k_p \frac{T_n s + 1}{T_n s}$$

$T_n$  [s]: Nachstellzeit



Realisierung mit OpAmp:



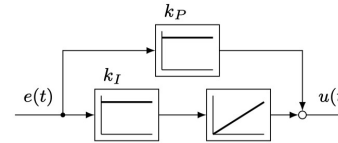
inverzierbarer  
PI-Regler:  
 $k_p = -\frac{R_I}{R_0}$   
 $T_n = R_I C_I$

bei konstanter Regelabweichung tritt nach  $T_n$  Schwingen des Integralanteil gleich viel zur Steuergroesse bei wie den Proportionalanteil bzw.:

Springantwort des PI-Reglers beginnt bei  $k_p$  und nach  $T_n$  Sekunden liegt der Wert bei  $2k_p$

weitere Schreibweise:

$$C = k_p + \frac{k_I}{s} = \frac{k_p s + k_I}{s} \quad \text{mit} \quad k_I = \frac{k_p}{T_n}$$



PI ergibt bei proportional wirkenden, stabilen, gut gedämpften Strecken  
 $\Rightarrow$  alle Polstellen in linken Halbebene und nahe oder auf reellen Achse

## Kompensationsverfahren → zur Auslegung des PI Reglers

Strategie:

Nachstellzeit = langsamste Zeitkonstante der Strecke

Annahme:

der zum Ursprung nächste Pol kommt einfach vor und liegt bei  $-w_0$ ,  
 $\rightarrow$  dominierende langsame Zeitkonstante  $T_1 = 1/w_0$  beeinflusst das System wesentlich

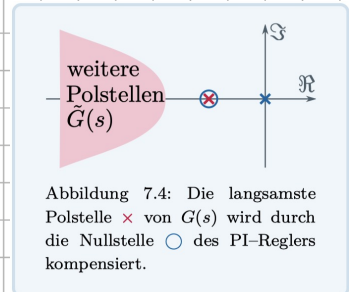


Abbildung 7.4: Die langsamste Polstelle  $\times$  von  $G(s)$  wird durch die Nullstelle  $\circ$  des PI-Reglers kompensiert.

Strecke lässt sich schreiben als  $G(s) = \frac{1}{T_1 s + 1} \tilde{G}(s)$

offene Kette:  $G_o(s) = k_p \frac{T_n s + 1}{T_n s} \frac{1}{T_1 s + 1} \tilde{G}(s)$

$T_n \doteq T_1 \Rightarrow$  die beiden Terme kürzen sich weg:

$$G_o(s) = k_p \frac{T_n s + 1}{T_n s} \frac{1}{T_1 s + 1} \tilde{G}(s) = \frac{k_p}{T_n} \tilde{G}(s) \quad \text{mit} \quad T_n = T_1$$

$\Rightarrow$  PI-Regler fügt der offenen Kette einen X im Ursprung und eine O bei  $-1/T_1$  ein, welche die Polstelle der Strecke dort kompensiert

um  $k_p$  zu wählen gibt es verschiedene Methoden

→ bei System 2ter Ordnung mit reellen Polen  $p_{1,2}$  kann man  $k_p$  bzw. so festlegen, dass die 2 verbleibenden Polstellen  $\tilde{p}_{1,2}$  des geschlossenen Regelkreises anfallender Reigen (asymptotischer Grenzwert  $G_{\infty}(s)$ ):

$$G(s) = \frac{k}{(s-p_1)(s-p_2)} = \frac{T_1 T_2 k}{(T_1 s + 1)(T_2 s + 1)} \quad \text{wobei} \quad |p_1| < |p_2| \quad \text{mit} \quad T_i = \frac{-1}{p_i}$$

$$G_o(s) = C(s) G(s) = k_p \frac{T_n s + 1}{T_n s} \frac{T_1 T_2 k}{(T_1 s + 1)(T_2 s + 1)} = \frac{k_p T_2 k}{T_2 s^2 + s} = \frac{n}{d}$$

$$G_{\infty}(s) = \frac{n}{d} = \frac{k_p T_2 k}{T_2 s^2 + s + k_p T_2 k} = \frac{k_p k}{s^2 - p_2 s + k_p k} \Rightarrow \tilde{p}_{1,2} = \frac{p_2}{2} \pm \frac{1}{2} \sqrt{p_2^2 - 4 k_p k} \stackrel{!}{=} 0$$

$$\Rightarrow k_p = \frac{p_2^2}{4k}$$

$$\Rightarrow G_{\infty}(s) = \frac{\frac{1}{4} p_2^2}{s^2 - p_2 s + \frac{1}{4} p_2^2}$$

# PID-Regler

- I → Vermeidung statischer Regelfehler → wenig Effekt auf schnelle Veränderungen  
 P → Beeinflussung Pollage d. gestrl. Systems (z.B. instabile Strecke → stabiler Regelkreis)  
 D → Störverhalten verbessern (PI sehr langsames Störverhalten)  
 ↳ für schwach gedämpfte Strecken (dominante Pole kompl. konj.) lohnt sich D-Anteil um Dämpfung des gestrl. Systems zu verbessern

$$U(t) = k_p e(t) + k_I \int e(t) dt + k_D \frac{d}{dt} e(t)$$

$$\begin{aligned} C_{PID}^{id}(s) &= \frac{U(s)}{E(s)} = k_p + k_I \frac{1}{s} + k_D s \\ &= k_p \left(1 + \frac{1}{k_p k_I s} + \frac{k_D}{k_p} s\right) \\ &= k_p \left(1 + \frac{1}{T_n s} + T_v s\right) \text{ mit } * \quad \begin{cases} \text{Nachstellzeit } T_n = k_p / k_I \\ \text{Vorsteilzeit } T_v = k_D / k_p \end{cases} \end{aligned}$$

parallel

seriell

Probleme:  
 i)  $C_{PID}^{id}(s) = \frac{k_D s^2 + k_p s + k_I}{s}$  n. kausal ( $q > n$ ) → n. realisierbar

ii)  $C_D^{id}(s) = T_v s$  (Abtrennen) ⇒ Verstärkung Messstrichen ⇒ Aktuatoren "zittern"

Lösung: realer D-Anteil → zusätzlicher Tiefpass 1. Ordnung  $\frac{1}{T_f s + 1}$

$$C_D^{re} = \frac{1}{T_f s + 1} T_v s \quad \text{nobei: } T_f \ll T_v$$

beim Auslegen wird meistens ein idealer D-Anteil angenommen, und Zeitkonstante  $T_f$  wird danach, so dass das dyn. Verhalten n. wesentlich verändert wird, festgelegt  
 ↳  $T_f \ll T_v \Leftrightarrow |P_f| \gg |P_s|$  (Pol des Filters weit weg von Systempolen)

$$C_{PID}^{re} = k_p + k_I \frac{1}{s} + k_D \frac{s}{T_f s + 1} = k_p \left(1 + \frac{1}{T_n s} + \frac{T_v s}{T_f s + 1}\right)$$

→ Filterzeitkonstante  $T_f$  so wählen, dass relevanter Teil d. Frequenzgangs n. beeinflusst wird:  
 typischerweise 1 bis 2 Dekaden Abstand zw. höchster relevanter Frequenz und Eckfrequenz d. Filters  
 → weiterer Vorteil: sehr hohe Frequenzen n. zu stark von D-Anteil verstärkt ⇒ verbessertes Reaktionverhalten

## Auswahl geeigneter Regler

System dominant 1. Ordnung:

$$G(s) = \frac{k}{s+\alpha} G_{rest}(s) \approx \frac{k}{s+\alpha}$$

$$\rightarrow P\text{-Regler: } G_C(s) = \frac{k k_p}{s+\alpha+k k_p} \Rightarrow p = -\alpha - k k_p$$

System dominant 2. Ordnung:

$$G(s) = \frac{k}{(s+\alpha_1)(s+\alpha_2)} \cdot G_{rest}(s) \approx \frac{k}{(s+\alpha_1)(s+\alpha_2)}$$

$$\rightarrow PD\text{-Regler: } G_C(s) = \frac{k k_p (1+T_v s)}{(s+\alpha_1)(s+\alpha_2) + k k_p (1+T_v s)}$$

$$\Rightarrow p_{1,2} = -\frac{1}{2}(\alpha_1 + \alpha_2 + T_v k k_p) \pm \frac{1}{2} \sqrt{(\alpha_1 + \alpha_2 + T_v k k_p)^2 - 4(\alpha_1 \alpha_2 + k k_p)}$$

falls  $G(s)$  stabil → P-Regler geht auch, hat aber Nachteile

falls statischer Regelfehler nicht erlaubt → I-Anteil

I-Anteil kein abgetrennter freier Einstellparameter → im Gegenteil, da man kein System einer zusätzlichen Speicher entzieht und Systemordnung um 1 erhöht  
 ⇒ I-Anteil verbraucht einen freien Parameter selbst

Von einem **PT1** Glied spricht man bei einem System mit der Übertragungsfunktion

$$G(s) = \frac{k}{T_1 s + 1}$$

mit Proportionalanteil  $k$  und einem dynamischen Verhalten erster Ordnung, dargestellt durch die Zeitkonstante  $T_1$ . Dieses lässt sich auch in der Form

$$G(s) = \frac{\tilde{k}}{s + \alpha}$$

darstellen. Bei einem **PT2** Glied spricht man bei einem System mit der Übertragungsfunktion

$$G(s) = \frac{k \omega_0^2}{s^2 + 2\xi\omega_0 s + \omega_0^2}$$

mit Proportionalanteil  $k$  und einem dynamischen Verhalten zweiter Ordnung. Dabei sind die Polagen komplex konjugiert ( $Dämpfung 0 < \xi < 1$ ). Sind die Polagen bei einem System zweiter Ordnung reell, so wird diese mit zwei PT1 Gliedern in Serie beschrieben.

## Einstellverfahren mittels Polvorgabe

für System 2<sup>ter</sup> Ordnung  $G(s) = \frac{b_0}{s^2 + \alpha_1 s + \alpha_0}$

$$G_{cl}(s) = \frac{C(s)G(s)}{1 + C(s)G(s)} = \frac{\frac{k_D s^2 + k_P s + k_I}{s} \frac{b_0}{s^2 + \alpha_1 s + \alpha_0}}{1 + \frac{k_D s^2 + k_P s + k_I}{s} \frac{b_0}{s^2 + \alpha_1 s + \alpha_0}}$$

$$1 + C(s)G(s) \stackrel{!}{=} 0 \Leftrightarrow \dots \Leftrightarrow s^3 + (\alpha_1 + b_0 k_D) s^2 + (\alpha_0 + b_0 k_P) s + b_0 k_I \stackrel{!}{=} 0$$

$$\text{Wurzelkoeffizienten: } (s + \Omega_1)(s + \Omega_2)(s + \Omega_3) \stackrel{!}{=} 0$$

$$\text{einfachster: } (s + \Omega)^3 = s^3 + 3\Omega s^2 + 3\Omega^2 s + \Omega^3 \stackrel{!}{=} 0$$

$$\Rightarrow k_I = \frac{1}{b_0} \Omega^3$$

$$k_P = \frac{1}{b_0} (3\Omega^2 - \alpha_0)$$

$$k_D = \frac{1}{b_0} (3\Omega - \alpha_1)$$

$$C(s) = k_P + k_I \frac{1}{s} + \frac{1}{T_f s + 1} k_D s$$

## Stabilitätskriterium nach Nyquist

gültig. v.a. LTF können mit Hurwitz auf Stabilität untersucht werden

ABER: nicht geeignet um Regelgüte vorzugeben und Regler danach zu dimensionieren  
+ ansonsten keine Anwendungsmöglichkeit für n. gebr. v.a. LTFs

→ Nyquist: basiert auf Ortskurve d. Frequenzgangs d. offenen Kette  
→ auch für n.g.t. LTFs wie z.B. Totzeit

## Totzeitglied

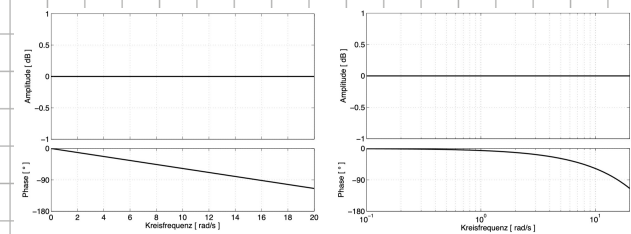
spezielles LTI, bei dem Systemeingang unverändert lässt und lediglich um Wert  $T_t$  verzögert,  $y(t) = u(t - T_t)$

$$\text{LTF: } G(s) = \int_0^\infty e^{-st} \delta(t - T_t) dt = e^{-sT_t}$$

$$\text{Frequenzgang: } G(j\omega) = e^{-j\omega T_t}$$

$$|G(j\omega)| = 1 \rightarrow \text{kons. fkt. (Allpass)}$$

$$\angle G(j\omega) \text{ fällt mit } -T_t \text{ ab}$$



$$\angle G(j\omega) = \frac{(T - T_t) - T}{T} \cdot 360^\circ = -\frac{T_t}{T} 360^\circ = -T_t \frac{\omega}{2\pi} 360^\circ$$

$$\rightarrow \text{bei } \omega = 1/T_t \Rightarrow \angle = -\frac{360^\circ}{2\pi} \approx -57^\circ$$

bei (heutig meist verwendeten) digitalen Regelsystemen bspw. Zeit zum Wandeln der Signale und Kommunikationszeit

## Ortskurve

Frequenzgang aus  $|gDg|$ :

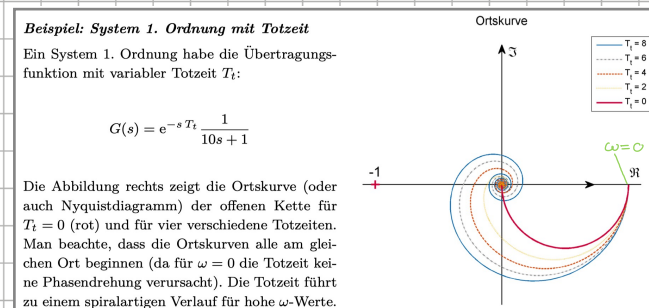
$$a_n y^{(n)} + \dots + a_1 y' + a_0 y = b_q u^{(q)} + \dots + b_1 u + b_0 u$$

$$\text{falls } u = U e^{j\omega t} \Rightarrow y = Y e^{j\omega t}$$

$$\text{da } \frac{d^h}{dt^h}(e^{j\omega t}) = (j\omega)^h e^{j\omega t} \text{ folgt:}$$

$$Y(a_n(j\omega)^n + \dots + a_1 j\omega + a_0) e^{j\omega t} = U(b_q(j\omega)^q + \dots + b_1 j\omega + b_0) e^{j\omega t}$$

$$\Rightarrow G(j\omega) = \frac{Y(j\omega)}{U(j\omega)} = \frac{a_n(j\omega)^n + \dots + a_1 j\omega + a_0}{b_q(j\omega)^q + \dots + b_1 j\omega + b_0}$$



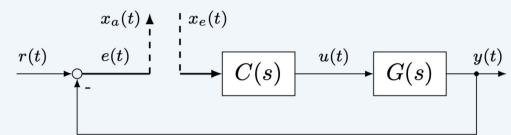
Frequenzgang kann auch mit Ortskurve (Nyquistdiagramm) (anstatt Bode) dargestellt werden:

→  $\omega$  zwischen  $-\infty$  und  $\infty$  variieren und  $G(j\omega)$  in komplexer Ebene einzeichnen

Bemerkungen: •  $G(-j\omega) = G(j\omega)$   
• Linienstücke für  $\omega$  in  $\Delta\omega$  h. gleich lang!

## vereinfachtes Nyquistkriterium

wenn man Kreis bei Reglereingang auftritt und  $r(t) \equiv 0$   
setzt ergibt sich neuer Eingang  $x_e(t)$  und Ausgang  $x_a(t)$



Wirkungsstrecke  $x_e(t) \rightarrow x_a(t)$  wird harmonisch angeregt mit  $x_e(t) = \hat{x}_e \cos(\omega_{opt} t)$

nach Abhängen Eingangsverhältnissen ist auch  $x_a$  harmonische Schwingung  $\hat{x}_a \cos(\omega_{opt} t - \varphi_a)$

nun sucht man Schwingung bei welcher  $\hat{x}_a(t) = \hat{x}_e(t)$  resp.  $\hat{x}_a = \hat{x}_e$ ,  $\varphi_a = 0$

→ dann kann man gedanklich d. Kreis schließen und bestehende Schwingung bleibt bestehen

→ für  $y(t) = \hat{y} \cos(\omega_{opt} t - \varphi)$  ist dann  $\hat{y} = \hat{x}_e$ ,  $\varphi = -180^\circ$

**Lerntipp: Kreisfrequenz  $\omega_{opt}$ :  $\omega_{opt}$  bei der  $\varphi = -180^\circ$**

Betrachtung der Amplituden  $\hat{x}_a$ ,  $\hat{x}_e$  bei  $\omega_{opt}$ :

- falls  $\hat{y}/\hat{x}_e = \hat{x}_a/\hat{x}_e < 1 \Rightarrow$  Schwingung regt sich nicht  $\Rightarrow$  k liegt ob
- falls  $\hat{y}/\hat{x}_e = \hat{x}_a/\hat{x}_e > 1 \Rightarrow$  Schwingung bei jedem Umlauf  $\uparrow \Rightarrow$  oszillativer instabil

System liegt also gerade an Stabilitätsgrenze falls Kreisfrequenz  $\omega_{opt}$  existiert, für welche der Frequenzgang von  $G_0$  gerade  $= -1$  wird

Punkt „-1“ in komplexer Ebene daher besondere Bedeutung (Nyquistpunkt)  
→ wenn Ortskurve durch diesen Punkt verläuft  $\Rightarrow$  Sys. an Stabilitätsgrenze

falls  $G_0$  selbst „stabil“ (salopp!) ist gilt das...

vereinfachtes Nyquistkriterium

**geschlossener** Regelkreis genau dann stabil, wenn der Punkt  $(-1; 0)$  in Ortskurendarstellung d. **offenen** Regelkreises  $G_0$  bei ansteigender  $\omega$  links von der Ortskurve liegt

oben salopp „stabil“, genauer Bedingungen:

Bedingungen an  $G_0$  für Anwendbarkeit

- kein Pol in rechter Halbebene
- maximal 2 Polstellen im Ursprung
- System nicht sprungfähig ( $q < n$  (anstatt  $q \leq n$ ))

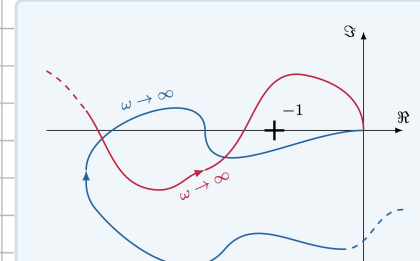


Abbildung 8.7: Ortskurve zweier offener Ketten  $G_0$ . Das geschlossene System ist bei der blauen Ortskurve stabil, bei der roten instabil.

### Beispiel: System 1. Ordnung mit Totzeit

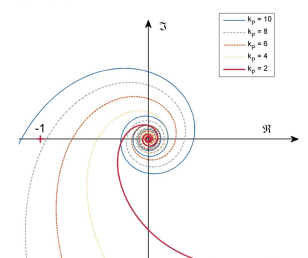
Ein System 1. Ordnung habe die Übertragungsfunktion mit Totzeit  $T_t = 2s$ :

$$G(s) = e^{-sT_t} \frac{1}{10s + 1}$$

Die Frage stellt sich, für welche Reglerwerte  $k$  ist dieses System im geschlossenen Kreis stabil. Die offene Kette hat also die Übertragungsfunktion

$$G_0(s) = e^{-sT_t} \frac{k}{10s + 1}$$

Die Abbildung rechts zeigt den wichtigen Ausschnitt der Ortskurve der offenen Kette für verschiedene  $k$ 's. Die Totzeit führt zu einer spiraltigen Verlauf für hohe  $\omega$ -Werte. Die offene Kette,



Vorteile Nyquistkriterium:

- Frequenzgang des offenen Kreis experimentell einfach bestimmbar
- gilt auch für Systeme mit Totzeit
- unterschiedliche Syst. durch Frequenzgänge einfach kontrastierbar

## Frequenzkennlinienverfahren

basiert auf vereinf. Nyq.krit., aber für Bodeplotogramm

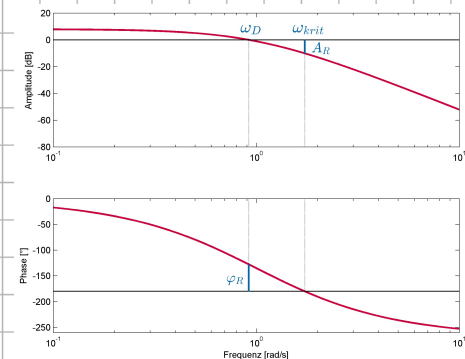
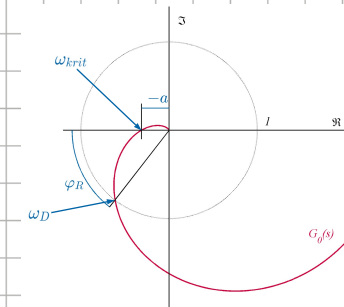
(vereinf.) Nyquistkriterium besagt, dass bei  $-180^\circ$  das Verhältnis  $\hat{y}/\hat{x}_e < 1$  sein muss damit stabiles System vorhanden ist

Bedingung kann man auch umdrehen und sagen dass Phasendrehung noch nicht  $-180^\circ$  erreicht haben darf:

vereinfachte Nyquistkriterium im Bodeplotogramm

$G_0$  besitze nur Pole in LHE außer ent. einem einfachen oder doppelten im Ursprung

→ dann ist  $G_0$  nur dann asymptotisch stabil wenn  $G_0(j\omega)$  bei Durchtrittsfreq.  $\omega_D$ , i.e.  $|G_0(j\omega_D)| = 0 \text{dB}$ , Phase  $\varphi(j\omega_D) = \arg(G_0(j\omega_D)) > -180^\circ$  hat



Durchtritt Ortskurve Einheitskreis in Nyquistplot  $\hat{\equiv}$  Durchtritt 0dB Linie im Bodeplot

Merkzettel:

«je weiter weg Phase bei  $\omega_D$  von  $-180^\circ$  und je kleiner Amplitudenverhältnis bei  $\omega_{krit}$  ist, desto rascher konvergiert geschlossene System»

daraus ergeben sich 2 wichtige Gütekriterien um Regler anzulegen:

$$\text{Phasenreserve } \varphi_R := 180^\circ + \angle G_0(\omega_D)$$

$$\text{Amplitudenreserve } A_R := 1 / |G_0(\omega_{krit})|$$

Erfahrungswerte:	Führungsverhalten	Störverhalten
Phasenreserve	$40^\circ \dots 60^\circ$	$20^\circ \dots 50^\circ$
Amplitudenreserve [Faktor]	4 ... 10	1.3 ... 3.0
Amplitudenreserve [dB]	12 ... 20	3.5 ... 9.5

Erfahrungswerte  $\hat{\equiv}$  brauchbare Dämpfung d. dominanten Verhaltens im geschlossenen Kreis

→ in Prax's oft beide Verhalten wichtig, so dass Kompromiss gewählt wird:

$$\varphi_R \approx 45^\circ, A_R = 3 \dots 4$$

## Gestaltung d. offenen Kette

$$G_0(s) = C(s) \cdot G_{SG}(s) \cdot G(s) = \prod_{i=1}^n G_i(s) = \prod_{i=1}^n |G_i(s)| e^{j \left( \sum_{i=1}^n \varphi_i(\omega) \right)}$$

$$\Rightarrow |G_0(j\omega)|_{\text{dB}} = \sum_{i=1}^n |G_i(j\omega)|_{\text{dB}}, \quad \varphi_0(\omega) = \sum_{i=1}^n \varphi_i(\omega)$$

→ offene Kette setzt sich aus n Teilfrequenzgängen zusammen

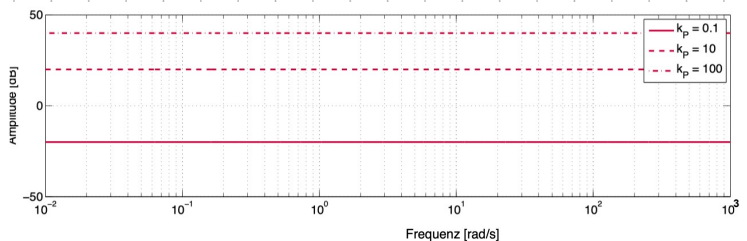
→ graphisch kann man Regler  $C(s)$  also so bestimmen, dass ein gewünschter Frequenzgang d. Superposition d. Regler und Streckenfrequenzganges entsteht

## Bode-Diagramme d. wichtigsten Regler

P-Regler:

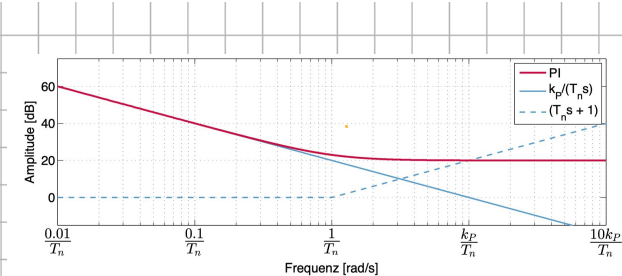
$$C(s) = k_p$$

Phasengang konstant 0



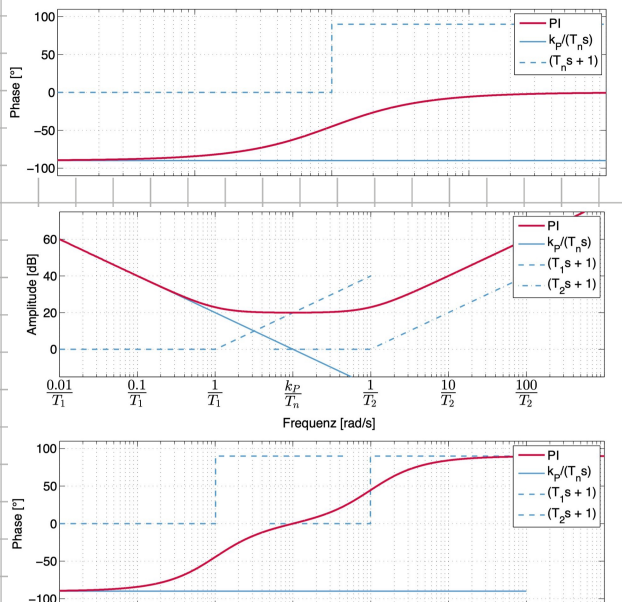
PI-Regler:

$$\begin{aligned} C(s) &= k_p + k_I \frac{1}{s} \\ &= k_p \left(1 + \frac{1}{T_n s}\right) \text{ wobei } T_n = \frac{k_p}{k_I} \\ &= \frac{k_p}{T_n s} \cdot (T_n s + 1) \end{aligned}$$



PID-Regler:

$$\begin{aligned} C(s) &= k_D s + k_p + k_I \frac{1}{s} \\ &= k_p \left(T_r s + 1 + \frac{1}{T_n s}\right) \text{ wobei } T_n = \frac{k_p}{k_I}, T_r = \frac{k_D}{k_p} \\ &= \frac{k_p}{T_n s} (T_n T_r s^2 + T_n s + 1) \\ &= \frac{k_p}{T_n s} \cdot (T_1 s + 1) \cdot (T_2 s + 1) \text{ wobei } T_n = T_1 + T_2, T_r = \frac{T_1 T_2}{T_1 + T_2} \end{aligned}$$



realisierbarer PID-Regler  $\rightarrow$  TP in D-Pool

Lead-Glied  $\rightarrow$  für Phasenvoreilung:

$$C(s) = \frac{sT + 1}{s\alpha T + 1} \text{ mit } 0 \leq \alpha < 1 \rightarrow \text{sonst v. voreilend}$$

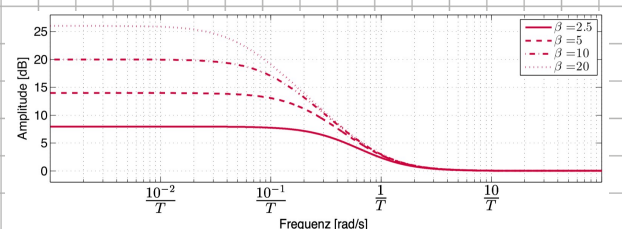
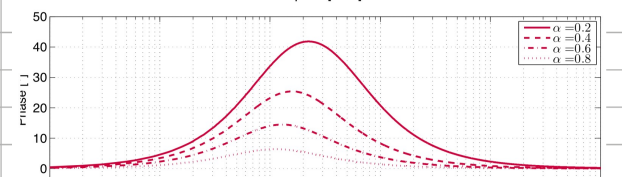
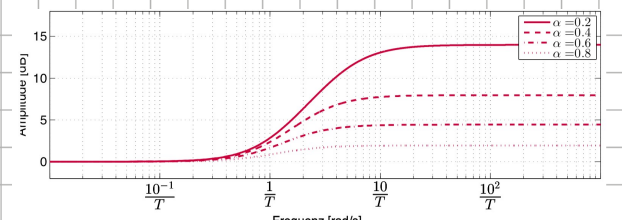
$\rightarrow$  hat Nullstelle und TP (ähnlich wie beim Kompens.v.)

wird i.d.R. mit P-Regler kombiniert:

$$\tilde{C}(s) = k_p \frac{sT + 1}{s\alpha T + 1}$$

gleicher Frequenzgang wie realisierbarer PD:

$$\tilde{C}(s) = k_p \left(1 + \frac{sT_r}{sT_r + 1}\right) = k_p \frac{s(T_r + T_f) + 1}{sT_f + 1}$$



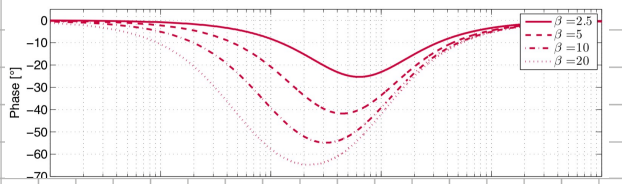
Lag-Glied  $\rightarrow$  für Phasennachholung:

$$C(s) = \beta \frac{sT + 1}{s\beta T + 1} \text{ mit } \beta > 1 \rightarrow \text{sonst v. nachelnd}$$

für  $\beta \rightarrow \infty$  strebt Lag-Glied gegen PI

Lag-Glied wird eingesetzt um Amplitudengang im Bereich bis  $\frac{1}{T}$  anzuheben

$\hookrightarrow$  Vorteil: bleibender Regelfehler klein, ohne dass man sehr grosse  $k_p$  wählen muss



Load und Lag eignen sich für Regelsysteme dominanter 1ter und 2ter Ord. mit unterschiedlichen Zeitkonstanten (wie bspw. in Antriebstechnik vorherrschen)  
 → bei stark davon abweichenden Stellverhalten erfahrungsgemäß nicht geeignet

## gesuchte Regeln bei Gestaltung der offenen Kette

Annahme: geregeltes System  $G(s)$  näherungsweise durch System 2<sup>ter</sup> Ordnung mit proportionaler Verstärkung von 1 beschreibbar:

$$G_{cl}(s) = \frac{c\omega_0^2}{s^2 + 2\xi\omega_0 s + \omega_0^2}$$

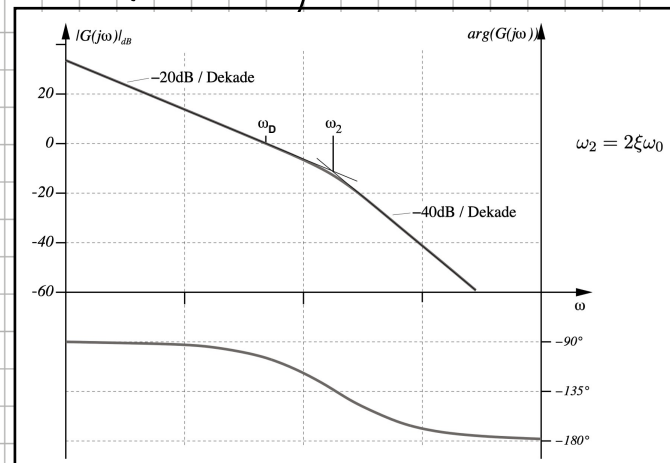
durch Rückskopplung mit offener Kette  $G_o(s)$  entsteht muss gelten:

$$G_o \stackrel{!}{=} \frac{G_o}{1+G_o}$$

$$\Rightarrow G_o(s) = \frac{c\omega_0^2}{s^2 + 2\xi\omega_0 s} = \frac{c\omega_0^2}{s(s + 2\xi\omega_0)} \\ = \frac{1}{\frac{s}{\omega_0}} \cdot \frac{1}{1 + \frac{s}{2\xi\omega_0}} = \frac{1}{\omega_0} \cdot \frac{1}{1 + \frac{s}{\omega_2}}$$

→ offene Kette hat IT<sub>1</sub>-Verhalten

falls  $\xi$  gross  $\Rightarrow \omega_D \approx \omega_0$

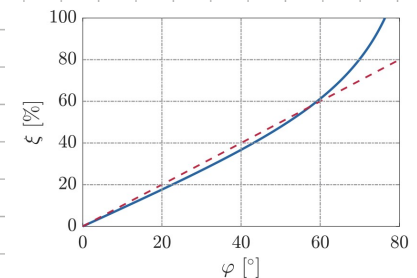


Zusammenhang Dämpfung und Phasenreserve:

$$|G_o(j\omega)|_{\omega=\omega_0} \stackrel{!}{=} 1 \Rightarrow \omega_D = \omega_0 \sqrt{\sqrt{4\xi^2 + 1} - 2\xi^2}$$

$$\varphi_R = \pi - |\angle G_o(j\omega_D)| = \arctan(2\xi\omega_0/\omega_D) \\ = \arctan(2\xi/\sqrt{\sqrt{4\xi^2 + 1} - 2\xi^2}) \approx \frac{2\pi}{360^\circ} \cdot 100\% \xi$$

$\Rightarrow \xi$  in Prozent  $\approx \varphi_R$  in Grad



Zusammenhang Bandbreite und Durchtrittsfrequenz:

$$\omega_B = \omega_0 \sqrt{\sqrt{4\xi^2 + 1} - 2\xi^2}$$

$$\Rightarrow \omega_B|_{\xi \rightarrow 0} = \omega_0, \omega_B|_{\xi \rightarrow 1} \approx 0.5 \omega_0$$

⇒ für schlecht gedämpfte Syst.  $c\omega_B > c\omega_0 \approx \omega_0$  wegen Überhöhung im Amplitudengang, für gut gedämpfte Syst.  $c\omega_B < c\omega_0$ , da keine Überhöhung

$$\text{aber: } c\omega_B/c\omega_0 \text{ immer } 1.33 < \frac{c\omega_B}{c\omega_0} < 1.62$$

$$\Rightarrow c\omega_B \approx 1.5 c\omega_0$$

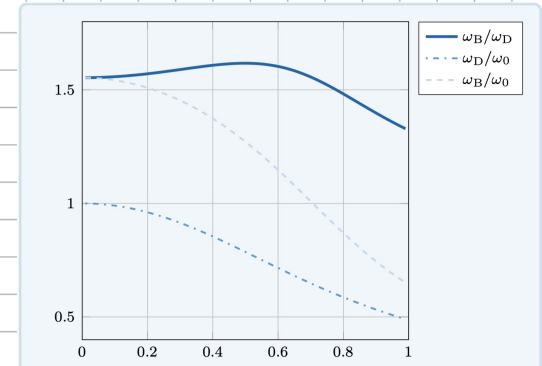


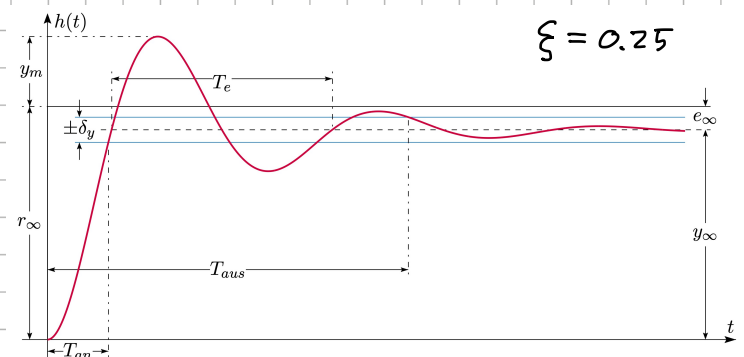
Abbildung 9.15: Relation der Bandbreite  $\omega_B$  und der Eigenfrequenz  $\omega_0$  des geschlossenen Systems, das als System 2<sup>ter</sup> Ordnung approximiert wurde, sowie der Durchtrittsfrequenz  $\omega_D$  der offenen Kette als Funktion der Dämpfung  $\xi$ .

# Entwurf von Linearen Regelsystemen

## Gütekriterien Zeitverhalten

selbstredend: Stabilität immer wichtig

$$G_{cl} \approx k_{dc} \cdot \frac{c\omega_0^2}{s^2 + 2\xi\omega_0 s + \omega_0^2}$$



statischer Regelfehler  $e_\infty$ :

falls nur Strecke nach Regler integrierend (aus dynamischen Gründen teilweise notwendig)

$$\Rightarrow k_{dc} = \lim_{s \rightarrow 0} G_{cl}(s) \neq 1 \Rightarrow e_\infty = r_\infty - y_\infty = r_\infty - k_{dc} r_\infty = r_\infty (1 - k_{dc})$$

$$\Rightarrow \frac{e_\infty}{r_\infty} = 1 - k_{dc} \text{ typischerweise proportional zu } \frac{1}{1+k} \text{ mit } k = \lim_{s \rightarrow 0} G_0(s)$$

$\rightarrow$  für  $k \gg 1 \Rightarrow e_\infty = 0$  aber: kann zu Instabilitäten führen, da Amplitudenschwund schnell klein wird

Überschwingweite  $Y_m$ :

$$Y_m = Y_{max} - Y_\infty \text{ resp. } Y_m \% = 100\% \frac{Y_m}{Y_\infty}$$

Dämpfung  $\xi$ :

$$\text{Eigenfrequenz } \omega_0 = 2\pi/T_e$$

$$\Rightarrow \text{Schwingungsperiode } T_e = 2\pi/\omega_0$$

$$\text{Anzahl schwingender Halbwellen } n = \sqrt{\frac{1}{\xi^2} - 1}$$

$$\Rightarrow \xi = 1 / \sqrt{n^2 + 1} \approx \frac{1}{n}$$

Ausregelzeit  $T_{aus}$ :

Zeit bis  $y(t)$  Band  $y_\infty \pm \delta y$  mehr verlässt

$\delta y = 1\% \dots 5\%$  von  $y_\infty$

Auregelzeit  $T_{an}$ : verschiedene Definitionen:

i) Zeit bis 1te und 2te Band  $y_\infty \pm \delta y$

ii) Zeit um von 10%  $y_\infty$  bis 90%  $y_\infty$

iii) Zeit um von 0%  $y_\infty$  bis 63%  $y_\infty$

## Ziegler-Nichols (ZN)

empirisch gefundene Methode (Chemieindustrie) → für verl. Systeme teilweise zu stark oszillierend, da schnellere Systeme (geringerer Ordung) als in Chemie man approximiert Regelstrecke durch  $PT_1 - T_T - \text{Glied}$ : 
$$G(s) \approx k e^{-sT_T} \frac{1}{s\tau_1 + 1}$$

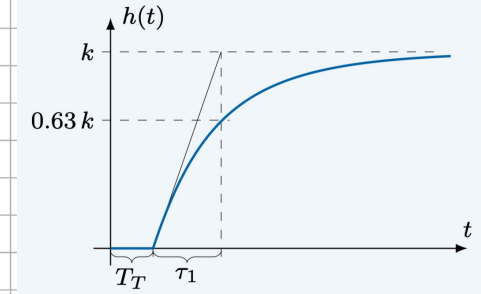
Voraussetzungen:

- Regelstrecke stabil
- keine grossen Anforderungen an Regelgüte
- $0.1 \leq T_T/T_1 \leq 1.0 \Leftrightarrow 1.0 \leq \tau_1/T_T \leq 10.0$

## Verfahren 1

Voraussetzungen:

- Sprungantwort der Strecke ermittelt werden
- Sprungantwort kann durch  $PT_1 - T_T - \text{Glied}$  angenähert werden



Vorgehen:

1.  $k, \tau_1, T_T$  aus Sprungantwort ablesen
2. Parameter gemäss Tabelle bestimmen

Regler	$k_P$	$T_n$	$T_v$
P	$\frac{\tau_1}{k T_T}$	—	—
PI	$0.9 \frac{\tau_1}{k T_T}$	$3.33 T_T$	—
PID	$1.2 \frac{\tau_1}{k T_T}$	$2 T_T$	$0.5 T_T$

## Verfahren 2

Vorgehen:

1. Regelstrecke zunächst mit P-Regler betreiben und  $k$  so lange erhöhen bis Stabilitätsgrenze erreicht (dazu muss System z.B. durch Pulsfolge angeregt werden)
2. Stabilitätsgrenze wird bei  $K_{krit}$  erreicht, dann tritt eine Drosselung mit Periode  $T_{krit} = 2\pi / \omega_{krit}$
3. Parameter gemäss Tabelle bestimmen

Regler	$k_P$	$T_n$	$T_v$
P	$0.5 \cdot K_{krit}$	—	—
PI	$0.45 \cdot K_{krit}$	$0.83 \cdot T_{krit}$	—
PID	$0.6 \cdot K_{krit}$	$0.5 \cdot T_{krit}$	$0.125 \cdot T_{krit}$

Bemerkung → hat man von System Frequenzgang kann man auch diesen benutzen:

- $\omega_{krit}$  entspricht der aus Nyquist-Kriterium berechneten Kreisfrequenz
- $K_{krit}$  entspricht der Amplitudenreserve

## Chien, Tr念es und Resnick (CTR)

annunzieren falls Resultate mit ZN zu stark oszillierend

Vorgehen: wie ZN 1 aber andere Tabelle

ergeben bessere Dämpfung aber auch höheren maximalen Regelfehler

Regler	Aperiodischer Regelvorgang					
	Führung			Störung		
	$k_P$	$T_n$	$T_v$	$k_P$	$T_n$	$T_v$
P	$\frac{0.3 \tau_1}{k T_T}$	—	—	$\frac{0.3 \tau_1}{k T_T}$	—	—
PI	$\frac{0.35 \tau_1}{k T_T}$	$1.2 \tau_1$	—	$\frac{0.6 \tau_1}{k T_T}$	$4 T_T$	—
PID	$\frac{0.6 \tau_1}{k T_T}$	$\tau_1$	$\frac{1}{2} T_T$	$\frac{0.95 \tau_1}{k T_T}$	$2.4 T_T$	$0.42 T_T$

Regler	Regelvorgang mit 20% Überschwingen					
	Führung			Störung		
	$k_P$	$T_n$	$T_v$	$k_P$	$T_n$	$T_v$
P	$\frac{0.7 \tau_1}{k T_T}$	—	—	$\frac{0.7 \tau_1}{k T_T}$	—	—
PI	$\frac{0.6 \tau_1}{k T_T}$	$\tau_1$	—	$\frac{0.7 \tau_1}{k T_T}$	$2.3 T_T$	—
PID	$\frac{0.95 \tau_1}{k T_T}$	$1.35 \tau_1$	$0.47 T_T$	$\frac{1.2 \tau_1}{k T_T}$	$2.3 T_T$	$0.42 T_T$

## Regelbarkeit

Verhältnis  $\frac{T_1}{T_t}$   $T_1 \hat{=} \text{Anfließzeit/dominante Zeithkonstante}$

je besser Regelbarkeit, desto grösser darf Verstärkung  $A$ . Reglers gewählt werden

## Approximation d. Totzeitglieds

alle kleinen Zeithkonstanten mit Ersatztotzeit approximieren ist plausibel:

$$G(s) := e^{-sT_t} \stackrel{\text{MATH}}{=} \lim_{n \rightarrow \infty} \left(1 + \frac{-sT_t}{n}\right)^n$$

mit Bernoullischen Ungleichung folgt:

$$e^{-sT_t} = \lim_{n \rightarrow \infty} \left(1 + \frac{-sT_t}{n}\right)^n \stackrel{\text{Bun.}}{\approx} \lim_{n \rightarrow \infty} \frac{1}{\left(1 - \frac{sT_t}{n}\right)^n} \approx \frac{1}{\left(1 + \frac{sT_t}{n}\right)^n}$$

Totzeitglied kann also d. Reihenschaltung von  $n$  TP-Gliedern 1ter Or. approximiert werden

Umgekehrt kann man salopp formulieren, dass Reihenschaltung vieler kleinerer Zeithkonstanten im System einer Totzeit entspricht

Bemerkung:

diese Approximation führt schnell zu Systemen hoher Ordnung

für Reglerauslegung sind oft aber Systeme niedriger Ordnung vorteilhaft

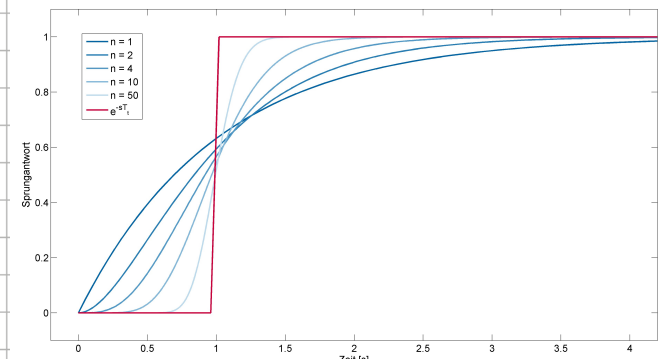
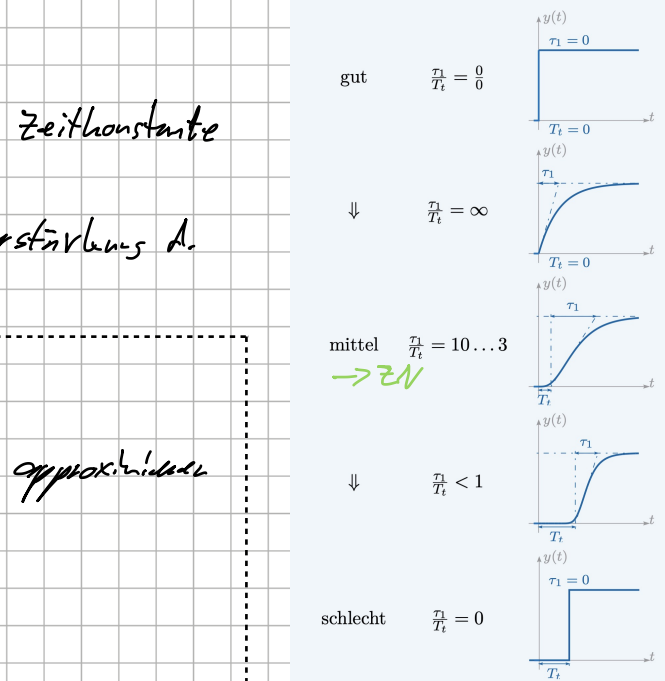
$\rightarrow$  Padé Approximation

Padé Appr. 1ter Or.:

$$e^{-sT_t} \approx \frac{1 - \frac{T_t}{2}s}{1 + \frac{T_t}{2}s}$$

Padé Appr. 2ter Or.:

$$e^{-sT_t} \approx \frac{1 - \frac{T_t}{2}s + \frac{T_t^2}{12}s^2}{1 + \frac{T_t}{2}s + \frac{T_t^2}{12}s^2}$$



	System-Beschreibung	Streckencharakteristik	Reglertyp	Bemerkungen
KV	$G(s)$ oder $G(j\omega)$	Dominant 1. Ordnung	PI	Mässiges Störverhalten, dominante Zeitkonstante kompensieren.
PV	$G(s)$	PT1, PT2, IT1, ... (alle bis und mit 2. Ordnung)	P, PD, PI, PID	Eventuell nicht dominante Systemteile vernachlässigen, sehr flexibel, Pole müssen nicht an die gleiche Stelle gelegt werden. Verfahren kann erweitert werden für Systeme Ordnung $> 2$ (Zustandsregelung).
FKV	$G(j\omega)$	alle	P, PD, PI, PID, lead, lag	Gutes Verfahren wenn Frequenzgang vorhanden.
ZN	$h(t)$ oder $G(j\omega)$	PT1 plus Totzeit	P, PI, PID	Eigentlich nur Störverhalten und $0.1 < \frac{T_t}{\tau_1} < 1$ was bei mechatronischen Systemen eher selten ist. Dämpfung eher mässig. Sehr einfaches Verfahren.
CHR	$h(t)$	PT1 plus Totzeit	P, PI, PID	Besser gedämpft als ZN und eignet sich besser für typische mechatronische Systeme. Sehr einfaches Verfahren.

## Übersicht Einstellverfahren

Kompensationsverfahren (KV)

Polvorgabe (PV)

Frequenzkennlinienverfahren (FKV)

Ziegler-Nichols (ZN)

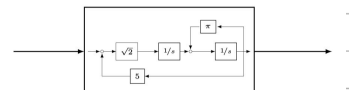
Chien, Hrones & Reswick (CHR)

# Modellidentifikation

## Modellklassifizierung

White Box /  
Glass Box  
→ oft schreibbar

- First Principles
- Struktur bekannt
- Parameter haben physikalische Bedeutung



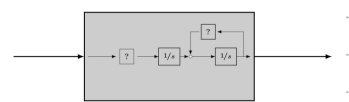
Black Box  
→ eher selten in RT

- Struktur unbekannt
- Parameter keine physikalische Bedeutung



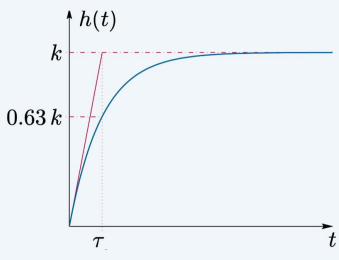
Gray Box  
→ häufiger Fall in RT  
→ z.B. Ziegler-Nichols

- teilweise auf First Principles basierend
- Struktur teilweise bekannt
- Vereinfachungen



## Systemidentifikation im Zeitbereich

1<sup>st</sup> order response

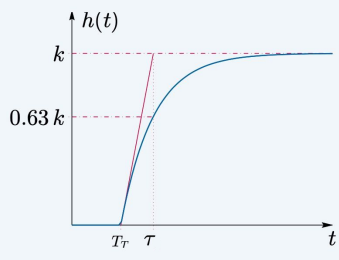


$$G(s) = \frac{k}{\tau s + 1}$$

$$h(t) = \sigma(t) * g(t) \rightarrow H(s) = \frac{1}{s} G(s)$$

$$h(t) = \mathcal{L}^{-1}\left\{\frac{1}{s} G(s)\right\} = k(1 - e^{-\frac{t}{\tau}})$$

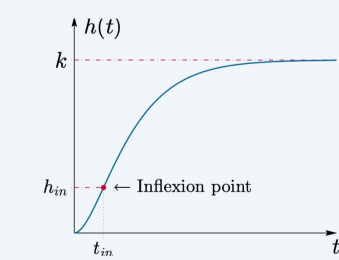
1<sup>st</sup> order response with dead time



$$G(s) = \frac{k}{\tau s + 1} e^{-T_d s}$$

→ Ziegler-Nichols

2<sup>nd</sup> order aperiodic response



$$\text{Ansatz: } G(s) = k \frac{1}{\tau_1 s + 1} \frac{1}{\tau_2 s + 1}$$

$$h(t) = \mathcal{L}^{-1}\left\{\frac{1}{s} G(s)\right\} = k \left( 1 - \frac{\tau_1}{\tau_1 - \tau_2} e^{-t/\tau_1} + \frac{\tau_2}{\tau_1 - \tau_2} e^{-t/\tau_2} \right) \text{ für } \tau_1 \neq \tau_2$$

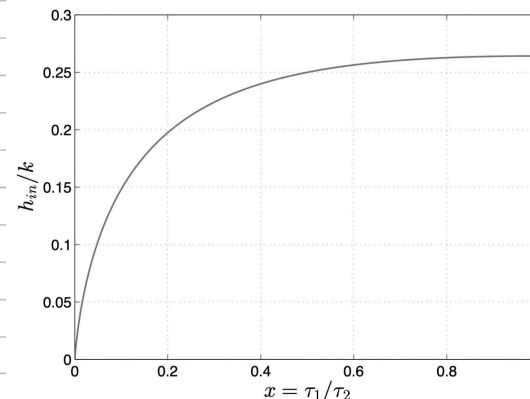
Wendepunkt bei:  $h_{in} = h(t_{in}) \Rightarrow \dot{h}(t_{in}) = 0$

$$\text{mit } x := \frac{\tau_1}{\tau_2} \text{ folgt } \tau_1 = \frac{t_{in}(x-1)}{\ln(x)} \quad \& \quad \frac{h_{in}}{k} = 1 - \left( 1 + \frac{1}{x} \right) \left( \frac{1}{x-1} \right)$$

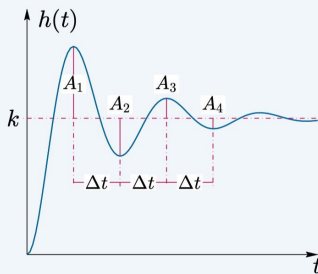
somit kann man  $\tau_1$  &  $\tau_2$  folgendermaßen bestimmen

- i)  $k, t_{in}, h_{in}$  aus Schrittaufwand
- ii)  $x$  aus Tabelle / Graph
- iii)  $\tau_1 = \frac{t_{in}(x-1)}{\ln(x)}$
- iv)  $\tau_2 = \tau_1 / x$

falls  $\frac{h_{in}}{k} > 0.2639 \Rightarrow \text{Ordnung} > 2$



2<sup>nd</sup> order periodic response



$$G(s) = \frac{k\omega_0^2}{s^2 + 2\xi\omega_0 s + \omega_0^2}$$

$$H(s) = \frac{1}{s} G(s) \rightarrow h(t) = k \left( 1 - \frac{1}{\sqrt{1-\xi^2}} e^{-\xi\omega_0 t} \sin(\omega_0 \sqrt{1-\xi^2} t + \arccos\xi) \right)$$

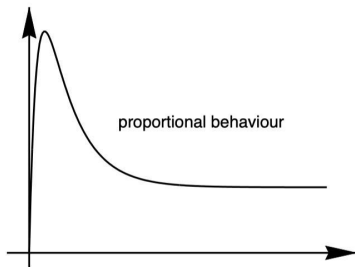
$$\Lambda := \ln \frac{A_{k+1}}{A_k} = -\frac{\pi\xi}{\sqrt{1-\xi^2}} \Rightarrow \xi = \frac{1}{\sqrt{1+\pi^2/\Lambda^2}}$$

$$\omega_0 \sqrt{1-\xi^2} \Delta t = \pi \Rightarrow \omega_0 = \frac{\pi}{\Delta t \sqrt{1-\xi^2}}$$

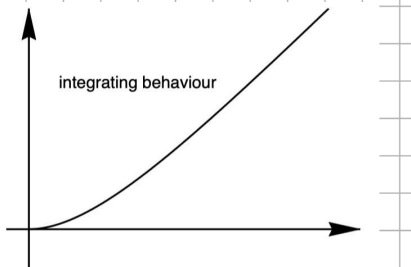
somit kann man  $\omega_0$  &  $\xi$  folgendermassen bestimmen

- i)  $k$  aus Schrittentwert
- ii) mehrere  $A_k$  bestimmen, logarithm. Differenzen davon, Mittelwert  $\bar{\Lambda}$  davon
- iii)  $\xi = \frac{1}{\sqrt{1+\pi^2/\bar{\Lambda}^2}}$
- iv) mehrere  $\Delta t$  bestimmen, Mittelwert  $\bar{\Delta t}$  davon
- v)  $\omega_0 = \frac{\pi}{\bar{\Delta t} \sqrt{1-\xi^2}}$

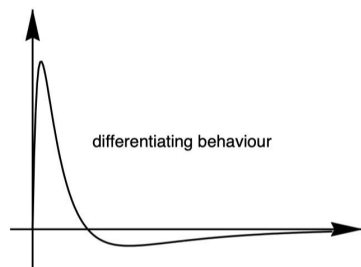
### Allgemeines Systemverhalten



proportional behaviour



integrating behaviour



differentiating behaviour

# Systemidentifikation im Frequenzbereich

stabiles System (Anregung mit Schwingung):

$$G(j\omega) = \frac{Y(j\omega)}{U(j\omega)} = A(j\omega)e^{j\phi}$$

$$\hookrightarrow U(t) = \alpha_u \sin(\omega_u t) \Rightarrow Y(t) = \alpha_y \sin(\omega_u t + \phi_u)$$

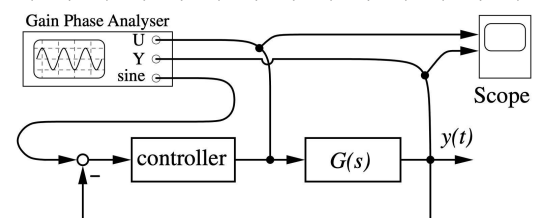
$$U(s) = \alpha_u / (s^2 + \omega_u^2) \quad Y(s) = \alpha_y (s \sin \phi_u + \omega_u \cos \phi_u) / (s^2 + \omega_u^2)$$

$$\Rightarrow G(s) = \frac{\alpha_y}{\alpha_u} \cdot \frac{s \sin \phi_u + \omega_u \cos \phi_u}{\omega_u} \xrightarrow{s \rightarrow j\omega} \frac{\alpha_y}{\alpha_u} (j \sin \phi_u + \cos \phi_u) = \frac{\alpha_y}{\alpha_u} e^{j\phi_u} = |G(j\omega)| e^{j\phi_u}$$

instabiles System (stabilisierender Regelkreis notwendig!):

$$G_{cl}(s) = \frac{Y(s)}{R(s)} = \frac{C(s)G(s)}{1 + C(s)G(s)}$$

$$\Rightarrow G(s) = \frac{G_{cl}(s)}{C(s)(1 - G_{cl}(s))}$$



PT2-Glied:

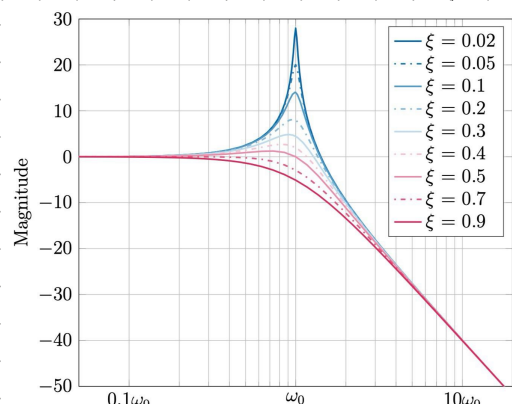
$$\text{bei } \omega_0 \text{ gilt } \phi(\omega)|_{\omega=\omega_0} = -90^\circ$$

$$\text{Maximum liegt bei } \omega_0 \sqrt{1 - 2\xi^2}$$

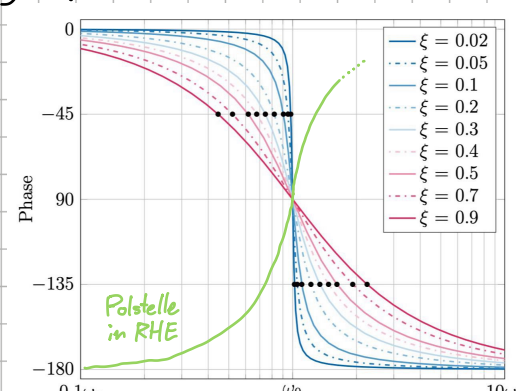
$$\Delta H \text{ (nicht in dB)} = \frac{1}{2\xi\sqrt{1-\xi^2}}$$

für  $\xi = \frac{1}{\sqrt{2}} = \frac{\sqrt{2}}{2} \approx 0.7$  ist das Maximum bei  $\omega=0$  und  $\Delta H=1$  resp.  $\Delta H_{dB} = 0$ , für  $\xi > \frac{1}{\sqrt{2}}$  kein Peak

oftmals einfacher die Dämpfung im Phasengang ablesen!



$\xi$	$\Delta H$ dB
0.02	28.0
0.05	20.0
0.1	14.0
0.2	8.1
0.3	4.8
0.4	2.7
0.5	1.2
0.7	0.0
0.9	N/D



$\xi$	$\omega/\omega_0$
0.02	0.98
0.05	0.95
0.1	0.91
0.2	0.82
0.3	0.74
0.4	0.68
0.5	0.62
0.7	0.52
0.9	0.45

## Determination of the damping coefficient $\xi$

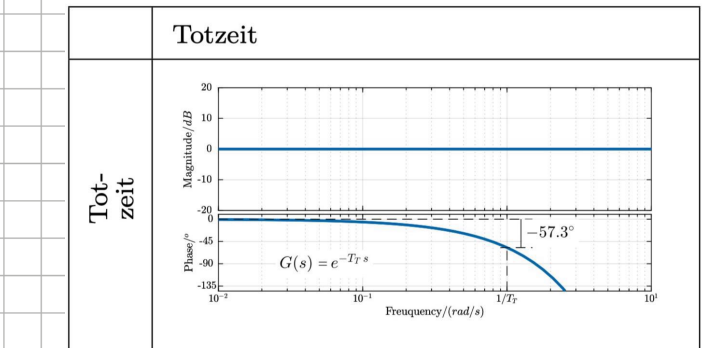
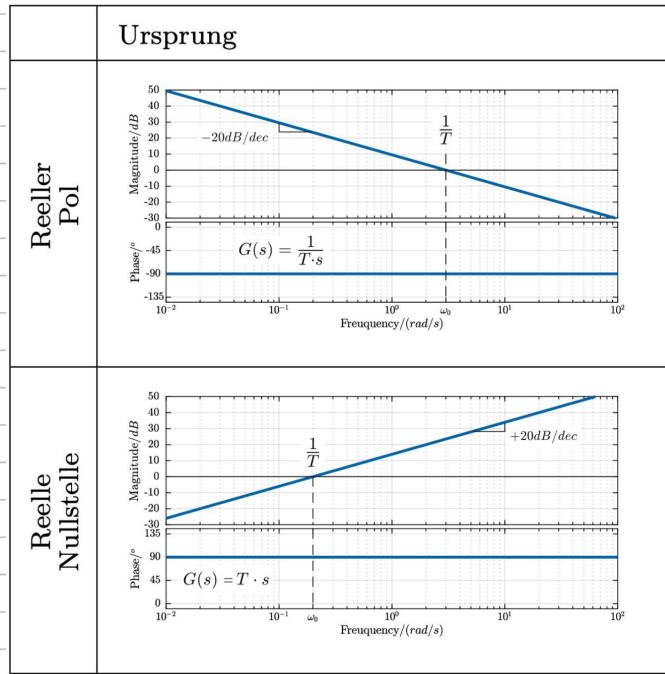
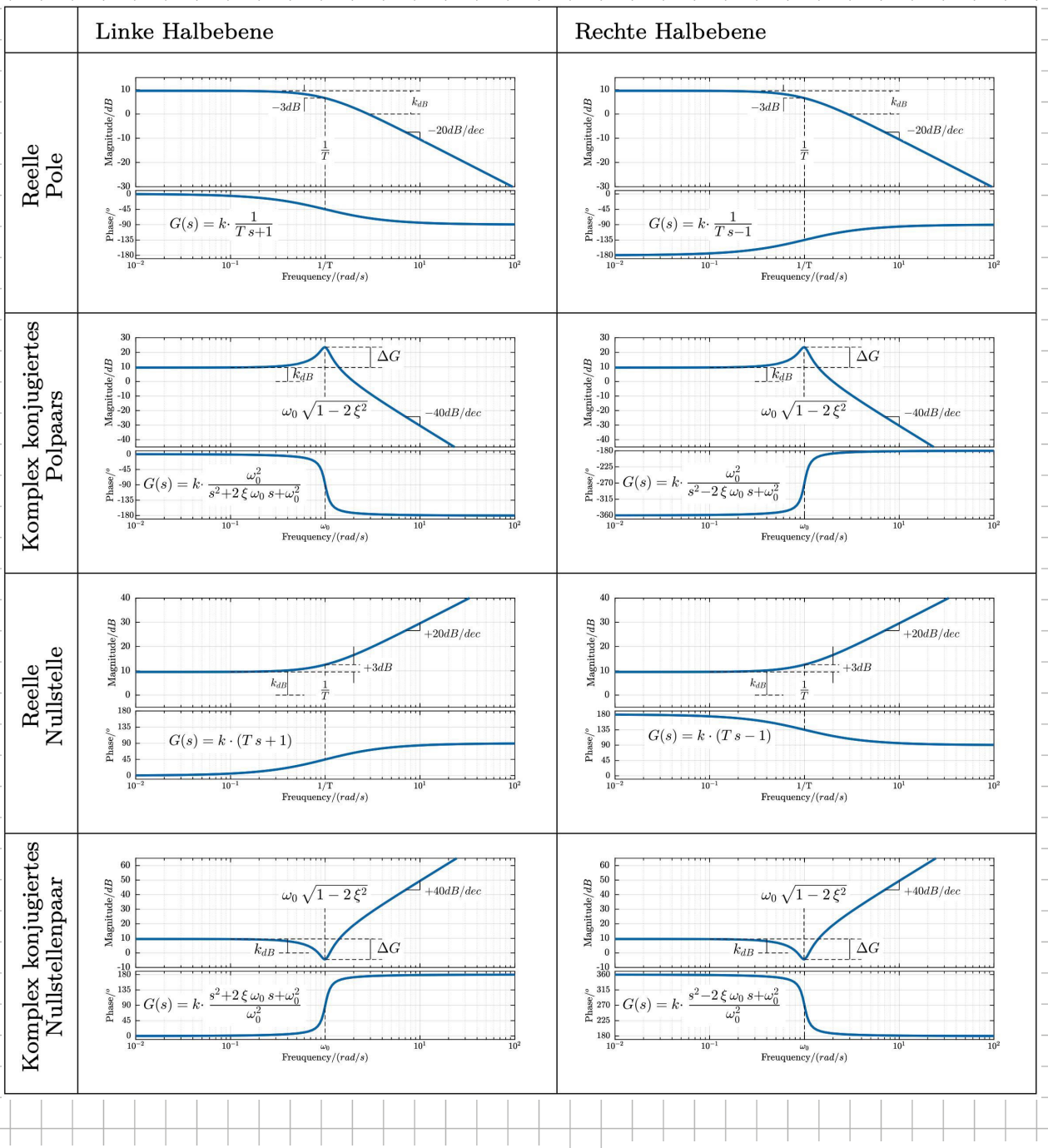
Die in der Tabelle angegeben Werte für  $\Delta G$  in dB, kann man direkt verwenden um  $\xi$  abzuschätzen. Die Resonanzspitze ist bei  $\omega = \omega_0 \sqrt{1 - 2\xi^2}$ . Für Dämpfungs faktoren  $> \sqrt{2}/2$  existiert keine Resonanzspitze. Diese Werte entsprechen der Amplitudensenkung bei  $\omega = \omega_0$ .

Alternativ, kann der Phasenabstand  $\Delta\Omega$  (in % einer Dekade) verwendet werden. Dieser wird zwischen  $\omega_0$  (entspricht einer Phasendrehung von  $-90^\circ$  für ein Tiefpass- und  $90^\circ$  für ein Hochpassglied) und dem  $\omega$  gemessen, bei dem eine Phasendrehung von  $-135^\circ$  (respektive  $135^\circ$ ) erreicht ist.

$\xi$	0.02	0.05	0.1	0.2	0.3	0.4	0.5	0.7	0.9	1.0
$\Delta G/dB$	28.0	20.0	14.0	8.1	4.8	2.7	1.2	0.0	-5.1	-6.0
$\Delta\Omega/\%$	0.9	2.2	4.3	8.6	12.8	16.9	20.9	28.3	35.1	38.3

nächste Seite: Bodediagramme von elementaren Übertragungsfunktionen

$m$	$m_{dB}$
$1/10$	-20
$1/5$	-14
$1/4$	-12
$1/\pi$	-10
$1/2$	-6
$1/\sqrt{2}$	-3
$4/5$	-2
$9/10$	-1
1	0
$11/10$	0.8
$6/5$	1.6
$\sqrt{2}$	3
2	6
$\pi$	10
4	12
5	14
10	20
20	26
50	34



#### Bestimmung von $T$

Die 0dB Durchtrittsfrequenz ist der einfachste Ansatz die Zeitkonstante  $T$  des Integrators (respektive des Differenziators) zu bestimmen, e.g.  $G(s) = T s \Rightarrow |G(\omega)| = |T j\omega| = T \omega$ . Bestimmen sie  $\omega_0$  an der Stelle für die  $|G| \equiv 0 \text{ dB}$  ist (oder als absoluter Wert 1). Daraus ergibt sich  $T \omega_0 \stackrel{!}{=} 1$ . Generell kann irgendein Punkt auf dem Amplitudengang verwendet werden um  $T$  zu bestimmen, dann muss aber  $|G|$  ebenfalls bestimmt und berücksichtigt werden.

#### Bestimmung von $T_T$

Die Phasendrehung der Totzeit in Abhängigkeit von  $\omega$  ist  $\phi = \omega T_T$ . Unter der Annahme, dass bei  $\omega_T$  die Phasendrehung genau  $-1 \text{ rad}$  ist, resultiert  $T_T = 1/\omega_T$ . Eine Phasendrehung von  $-1 \text{ rad}$  entspricht einer Phasendrehung von  $-57.3^\circ$ .

## Systemidentifikation mit Least-Squares

$$\begin{bmatrix} y_1 \\ \vdots \\ y_n \end{bmatrix} = \begin{bmatrix} x_{11} & \dots & x_{1p} \\ \vdots & \ddots & \vdots \\ x_{n1} & \dots & x_{np} \end{bmatrix} \begin{bmatrix} \theta_1 \\ \vdots \\ \theta_p \end{bmatrix} + \begin{bmatrix} v_1 \\ \vdots \\ v_n \end{bmatrix}$$

Residuen/Fehler

resp.  $\vec{Y} = \underline{M} \vec{\theta} + \vec{v} \Rightarrow \vec{v} = \vec{Y} - \underline{M} \vec{\theta}$

$$\operatorname{argmin}_{\vec{\theta}} \sum_{i=1}^n v_i^2 = \operatorname{argmin}_{\vec{\theta}} \vec{v}^T \vec{v} = (\underline{M}^T \underline{M})^{-1} \underline{M}^T \vec{Y} = \underline{M}^+ \vec{Y}$$

Pseudo-Inverse

Diskretisierung der DGL:

$$G(s) = \frac{Y(s)}{U(s)} = \frac{b_q s^q + \dots + b_1 s + b_0}{s^n + \dots + a_1 s + a_0}$$

$$\downarrow G(z) = \frac{Y(z)}{U(z)} = \frac{b_q z^q + \dots + b_1 z + b_0}{z^n + \dots + a_1 z + a_0} = \frac{b_q z^{q-n} + \dots + b_1 z^{1-n} + b_0 z^{-n}}{1 + \dots + a_1 z^{1-n} + a_0 z^{-n}}$$

$$\uparrow Y(z)(1 + \dots + a_1 z^{1-n} + a_0 z^{-n}) = U(z)(b_q z^{q-n} + \dots + b_1 z^{1-n} + b_0 z^{-n})$$

$$\circlearrowleft Y_k + a_{n-1} Y_{k-1} + \dots + a_1 Y_{k-n+1} + a_0 Y_{k-n} = b_q U_{k-n+q} + \dots + b_1 U_{k-n+1} + b_0 U_{k-n}$$

$$\uparrow Y_k = b_q U_{k-n+q} + \dots + b_1 U_{k-n+1} + b_0 U_{k-n} - a_{n-1} Y_{k-1} - \dots - a_1 Y_{k-n+1} - a_0 Y_{k-n}$$

Euler-Diskretisierung

$$\mathcal{L}^{-1}\{s Y(s)\} = \frac{d}{dt} Y(t) \approx \frac{Y_{k+1} - Y_k}{T_s}$$

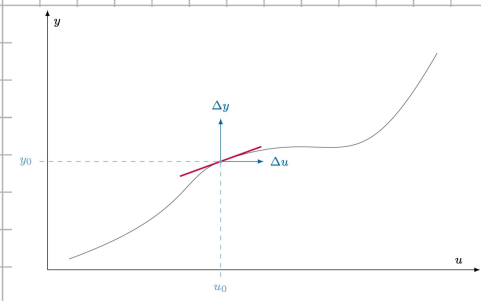
# Linearisierung von Systemen 1. Ordnung

1. Schritt: Arbeitspunkt bestimmen

→ Ruhelage

Linearisierung erfolgt immer an einem stationären Arbeitspunkt

$$\dot{y}(t) = f(y(t), u(t)) \stackrel{!}{=} 0 \Rightarrow u_0, y_0$$



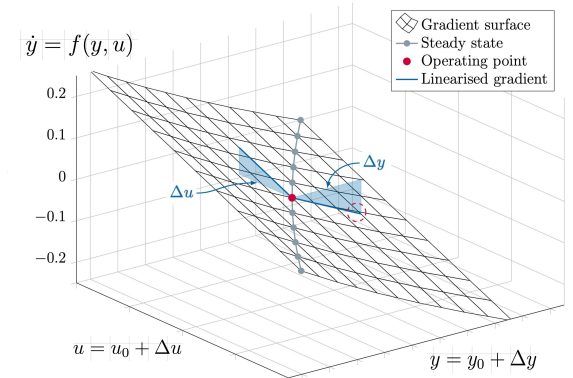
2. Schritt:  $\Delta$ -Größen festlegen

$$u = u_0 + \Delta u, \quad y = y_0 + \Delta y$$

3. Schritt: Gradienten bestimmen

$$\alpha = \frac{\partial f(y, u)}{\partial y} \Big|_{u_0, y_0}, \quad \beta = \frac{\partial f(y, u)}{\partial u} \Big|_{u_0, y_0}$$

$$\dot{y} = f(y_0 + \Delta y, u_0 + \Delta u) \approx f(y_0, u_0) + \alpha \Delta y + \beta \Delta u$$



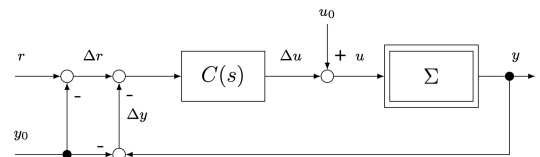
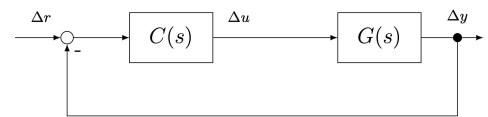
4. Schritt: Lineare DGL aufstellen

$$\dot{y} = f(y, u) = \underbrace{f(y_0, u_0)}_{=0} + \alpha \Delta y + \beta \Delta u = \alpha \Delta y + \beta \Delta u$$

$$sY = \alpha Y + \beta U \Rightarrow G(s) = \frac{\beta}{s - \alpha}$$

$$k_{DC} = \lim_{s \rightarrow 0} G(s) = -\frac{\beta}{\alpha}$$

beim Betrieb des Reglers muss man den OP  $(u_0, y_0)$  als Konstanten berücksichtigen!



Genauigkeit der Linearisierung testen:

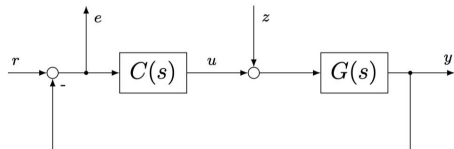
$$y(t) = y_0 + k_{DC} \cdot \Delta u$$

für einige  $\Delta u$  berechnen und mit Messung vergleichen

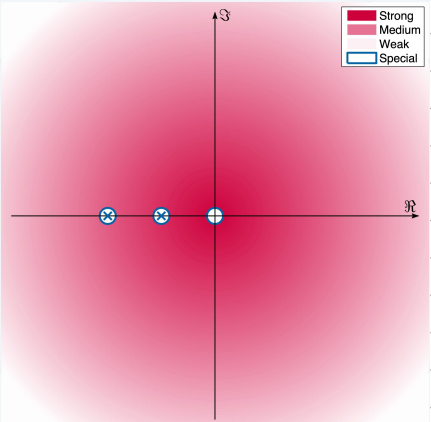
## Einfluss der Nullstellen

Polstellen geben Einblick in das makroskopische Systemverhalten, sind unabhängig von externen Faktoren / betrachteten Ein- und Ausgängen und stellen intrinsische Systemmerkmale dar («Edgen»)

Nullstellen sind wesentlich aus mikroskopischer Perspektive und hängen von betrachtetem Ein- und Ausgang ab! sie werden oft durch Regler eingeführt



$$\begin{array}{ll} r \rightarrow Y & TF = CG / (1 + CG) \\ z \rightarrow Y & TF = G / (1 + CG) \\ r \rightarrow e & TF = 1 / (1 + CG) \\ z \rightarrow e & TF = -G / (1 + CG) \end{array}$$

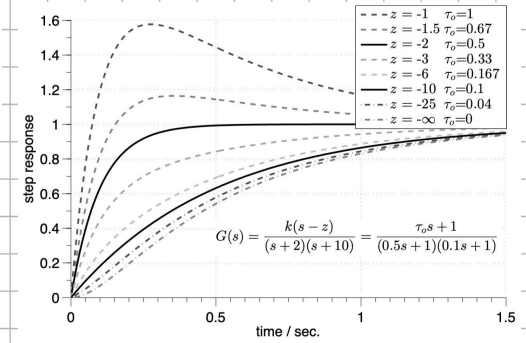
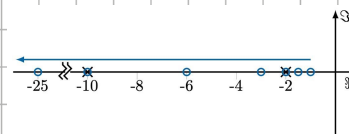


## Nullstellen in LHE

$$G(s) = \frac{k(s-z)}{(s+p_1)(s+p_2)} \text{ mit } k = \frac{p_1 p_2}{-z}$$

resp  $k_{dc} = 1$ ,  $p_2 < p_1 < 0$ ,  $z < 0$

$$\begin{aligned} G(s) &= \frac{-z^1(s-z)}{(\tau_1 s + 1)(\tau_2 s + 1)} = \frac{\tau_0 s + 1}{(\tau_1 s + 1)(\tau_2 s + 1)} \\ &= \frac{\tau_0 s}{(\tau_1 s + 1)(\tau_2 s + 1)} + \frac{1}{(\tau_1 s + 1)(\tau_2 s + 1)} \text{ mit } \tau_0 = -\frac{1}{z} > 0 \end{aligned}$$



Antwort des Gesamtsystems ist also Überlagerung einer proportionalen und einer differenzierenden Komponente resp eine Sprungantwort (proportional) getaktet mit ihrer Impulsantwort (differenzierend)

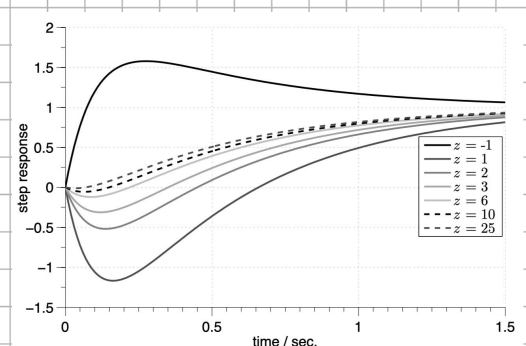
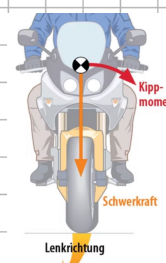
je näher  $z$  am Ursprung, desto dominierender ist der differenzierende Teil, falls  $z$  weit links liegt, dominiert der proportionale Teil

## Nullstellen in RHE

$$G(s) = \frac{k(s-z)}{(s+p_1)(s+p_2)} \text{ mit } k = \frac{p_1 p_2}{-z}$$

resp  $k_{dc} = 1$ ,  $p_2 < p_1 < 0$ ,  $z > 0$

$$\begin{aligned} G(s) &= \frac{-z^1(s-z)}{(\tau_1 s + 1)(\tau_2 s + 1)} = \frac{-\tau_0 s + 1}{(\tau_1 s + 1)(\tau_2 s + 1)} \\ &= \frac{-\tau_0 s}{(\tau_1 s + 1)(\tau_2 s + 1)} + \frac{1}{(\tau_1 s + 1)(\tau_2 s + 1)} \text{ mit } \tau_0 = \frac{1}{z} > 0 \end{aligned}$$



System mit Nullstelle im RHE zeigt eine ungewöhnliche Reaktion: es reagiert zuerst in die entgegengesetzte Richtung bevor es sich stabilisiert

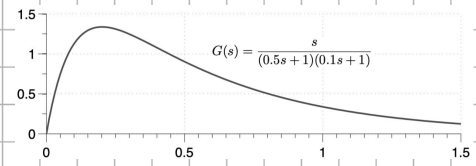
Systeme mit Nullstellen im RHE sind nicht minimalphasig und schwierig zu regeln!

## Nullstelle im Ursprung

$$G(s) = \frac{k(s-z)}{(s+p_1)(s+p_2)} = \frac{k/(p_1 p_2) \cdot s}{(\tau_1 s + 1)(\tau_2 s + 1)} = \frac{T_0 s}{(\tau_1 s + 1)(\tau_2 s + 1)}$$

mit  $T_0 = k/(p_1 p_2)$ ,  $z = 0$

System zeigt differenzkennendes Verhalten,  $k_{dc} = 0$

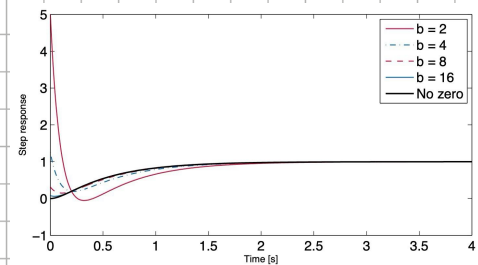


komplex konjugiertes Nullstellenpaar auf imaginären Achse

$$G(s) = \frac{k(s^2 + b^2)}{(s+p_1)(s+p_2)} \text{ mit } k = \frac{p_1 p_2}{b^2} \text{ resp } k_{dc} = 1, z_{1,2} = \pm jb$$

relative Ordnung = 0  $\Rightarrow$  direkter feed-through

je grösser  $b$ , desto schwächer wird der Effekt der Nullstellen und für  $b \rightarrow \infty$  konvergiert Schrittentwert gegen diejenige des Systems ohne Nullstellen



$$h(t)|_{t=0^+} = \lim_{t \rightarrow 0^+} h(t) = \lim_{s \rightarrow \infty} s \frac{1}{s} G(s) = k = p_1 p_2 / b^2$$

$$\frac{d}{dt} h(t)|_{t=0^+} = \lim_{t \rightarrow 0^+} \frac{d}{dt} h(t) = \lim_{s \rightarrow \infty} s L\{g(t)\} = \lim_{s \rightarrow \infty} s G(s) = \infty$$

## allgemeines Vorgehen

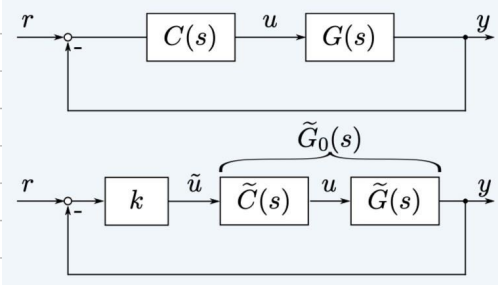
1. relative Ordnung bestimmen:  $\rho = n - q = \# \text{Pole} - \# \text{Nullstellen}$
2. proportional, differenzkennend oder integrierend?
3. dominantes Verhalten bestimmen: PT1, PT2 (reelle oder komplexe Pole) oder höher?
4. Oszillationen, Überschiessen, non-minimalphantasie Verhalten beurteilen  
 $\rightarrow \# \text{NS in RHE?} \# \text{NS in LHE?}$

# Wurzelortskurve

Kurve der Lösungen in  $s$ -Ebene vom

$$1 + G(s)C(s) = 1 + k \tilde{C}(s)\tilde{G}(s) = 1 + k \tilde{G}_0(s) \stackrel{!}{=} 0$$

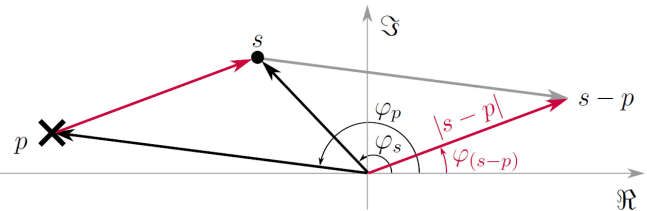
wobei  $k$  variiert wird zwischen  $0 \dots \infty$



affine Kette in P-N-Form:

$$k \tilde{G}_0(s) = k \frac{\prod_{i=1}^q |s - z_i|}{\prod_{i=1}^n |s - p_i|} e^{j(\sum_{i=1}^q \varphi_{z_i} - \sum_{i=1}^n \varphi_{p_i})} \stackrel{!}{=} -1$$

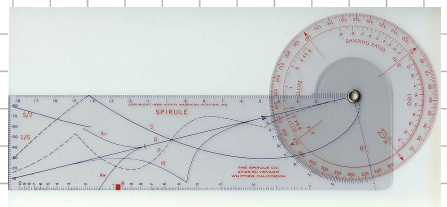
mit  $\varphi_{z_i} = \arg(s - z_i)$ ,  $\varphi_{p_i} = \arg(s - p_i)$



Konstruktionsregeln für positive  $k = 0 \dots \infty$

Betragsbedingung:  $k = \frac{\prod_{i=1}^n |s - p_i|}{\prod_{i=1}^q |s - z_i|}$

Phasenbedingung:  $\sum_{i=1}^q \varphi_{z_i} - \sum_{i=1}^n \varphi_{p_i} = \pm (2l+1)\pi, l \in \mathbb{N}_0$



a)  $k=0 \Rightarrow$  Wurzelorte = Pole von  $\tilde{G}_0(s)$

b) #Äste = #Pole von  $\tilde{G}_0(s)$

c) für  $k \rightarrow \infty$  gehen

- $q$  Pole in die Nullstellen von  $\tilde{G}_0(s)$
- $n-q$  Pole gegen  $100!$  in der komplexen Ebene (Asymptoten)

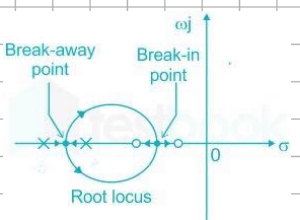
d) symmetrisch bez. reellen Achse

e) WOKs überdecken Abschnitte der reellen Achse, bei wodurch eine ungerade Anzahl von Pol- und Nullstellen rechts davon auf der reellen Achse liegen

f) mehrfache Polstellen  $s_B$  nennt man

- Break-away points: reell  $\rightarrow$  komplex
- Break-in points: komplex  $\rightarrow$  reell

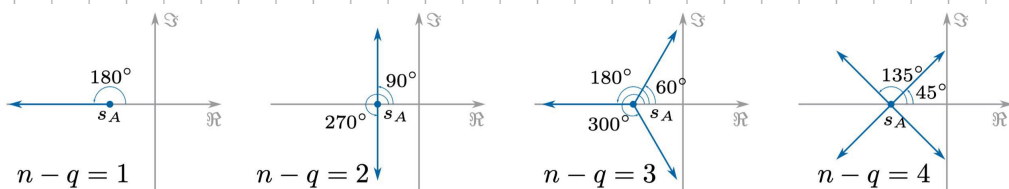
$\rightarrow$  erfüllen Phasenbedingung und  $\sum_{i=1}^q \frac{1}{s_B - z_i} = \sum_{i=1}^n \frac{1}{s_B - p_i}$



g) Asymptoten:

- Schnittpunkt  $s_A = (\sum_{i=1}^n p_i - \sum_{i=1}^q z_i)/(n-q)$
- Winkel  $\varphi_A = (2l+1)\pi/(n-q) \quad l \in \{0, 1, \dots, n-q-1\}$

	$l = 0$	$l = 1$	$l = 2$	$l = 3$
$n - q = 1$	$180^\circ$			
$n - q = 2$	$90^\circ$	$270^\circ$		
$n - q = 3$	$60^\circ$	$180^\circ$	$300^\circ$	
$n - q = 4$	$45^\circ$	$135^\circ$	$225^\circ$	$315^\circ$



## Kontraktionsregeln für negative $k = 0 \dots \infty$

Betragsbedingung:  $|k| = \frac{\prod_{i=1}^n |s - p_i|}{\prod_{i=1}^q |s - z_i|}$

Phasenbedingung:  $\sum_{i=1}^q \varphi_{z,i} - \sum_{i=1}^n \varphi_{p,i} = \pm 2l\pi, l \in \mathbb{N}_0$

e') WOKs überschreiten Abschnitte der reellen Achse, bei welchen eine gerade Anzahl von Pol- und Nullstellen rechts davon auf der reellen Achse liegen

g') Asymptoten Winkel  $\varphi_A = 2l\pi/(n-q)$   $l \in \{0, 1, \dots, n-q-1\}$

## Designregeln Kompensationsentwurf

- mindestens so viele Polstellen wie Nullstellen (Konsistenz)
- Pole weit links verschieben die Asymptoten nach links (i.e. in den stabilen Bereich)
- Nullen weit links verschieben die Asymptoten nach rechts (i.e. in den weniger stabilen Bereich)
- Niemals Pole oder Nullen in der RHE kompensieren!

## Klassische Regler

idealer PD  $C(s) = k_p(T_d s + 1) = k_p T_d (s + \frac{1}{T_d}) \rightarrow \textcircled{O} \text{ bei } -1/T_d$

PDTI  
(realer PD)  $C(s) = k_p \left(1 + \frac{T_d s}{T_f s + 1}\right) = k_p \frac{(T_f + T_d)s + 1}{T_f s + 1} = k_p \frac{T_f + T_d}{T_f} \frac{s + \frac{1}{T_f + T_d}}{s + \frac{1}{T_f}}$   
 $= k_p' \frac{s + \frac{1}{T_f + T_d}}{s + \frac{1}{T_f}}$  mit  $k_p' = k_p \frac{T_f + T_d}{T_f} \rightarrow \textcircled{O} \text{ bei } -1/(T_f + T_d), \times \text{ bei } -1/T_f$

↓ äquivalent Vereinfachung: da  $T_f \ll T_f + T_d$  genügt ( $f$  und  $d$  ist)  $C(s) \approx k_p' \frac{s + \frac{1}{T_d}}{s + \frac{1}{T_f}}$

Lead  $C(s) = k_p \frac{1 + T_s}{1 + \alpha T_s} = \frac{k_p}{\alpha} \frac{s + \frac{1}{T_s}}{s + \frac{1}{\alpha T_s}}$  mit  $0 < \alpha < 1 \rightarrow$  gleiche Struktur wie PDTI

PI  $C(s) = k_p \left(1 + \frac{1}{T_i s}\right) = k_p \frac{s + \frac{1}{T_i}}{s} \rightarrow \times \text{ im Ursprung}, \textcircled{O} \text{ bei } -1/T_i$

Lag  $C(s) = k_p \beta \frac{1 + T_s}{1 + \beta T_s} = k_p \frac{s + \frac{1}{T_s}}{s + \frac{1}{\beta T_s}}$  mit  $\beta > 1 \rightarrow \times \text{ bei } -1/(\beta T_s), \textcircled{O} \text{ bei } -1/T_s$

PID  $C(s) = k_p \left(1 + \frac{1}{T_i s} + T_d s\right) = k_p T_d \frac{s^2 + \frac{1}{T_i} s + \frac{1}{T_d T_i}}{s} \text{ mit } z_{1,2} = -\frac{1}{2T_d} \pm \frac{1}{2} \sqrt{\frac{1}{T_d^2} - \frac{4}{T_d T_i}}$

je nach  $T_d$  und  $T_i$  sind  $z_{1,2}$  reell oder komplexe  $\rightarrow \times \text{ im Ursprung}, \textcircled{O} \text{ bei } z_1, \textcircled{O} \text{ bei } z_2$

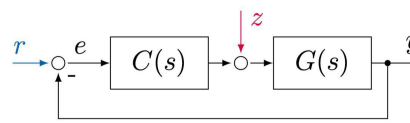
PIDTI  $C(s) = k_p \left(1 + \frac{1}{T_i s} + \frac{T_d s}{T_f s + 1}\right) = k_p \frac{T_f + T_d}{T_f} \frac{s^2 + \frac{T_f + T_d}{T_i(T_f + T_d)} s + \frac{1}{T_i(T_f + T_d)}}{s(s + \frac{1}{T_f})}$

falls  $T_f \ll T_d$  und  $T_i \ll T_f \Rightarrow z_{1,2} \approx -\frac{1}{2T_d} \pm \frac{1}{2} \sqrt{\frac{1}{T_d^2} - \frac{4}{T_d T_i}} \rightarrow \times \text{ im Ursprung}, \times \text{ bei } -1/T_f, \textcircled{O} \text{ bei } z_1, \textcircled{O} \text{ bei } z_2$

## Führungs- und Störverhalten

$$G_c(s) = \frac{C G}{1 + C G} = \frac{n_c h_g}{d_c d_g + n_c h_g}$$

$$G_z(s) = \frac{G}{1 + C G} = \frac{d_c n_g}{d_c d_g + n_c h_g}$$



	Ref.-response $r(t) = \sigma(t)$ and $z = 0$	Dist.-response $z(t) = \sigma(t)$ and $r = 0$
$e \neq 0$	kein I-Anteil	kein I-Anteil
$e = 0$	C oder G muss integrierend sein	C muss integrierend sein

# Performance Kriterien

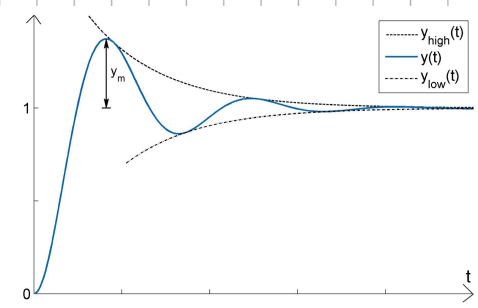
- Einstellzeit  $T_{set}$
- Überschreissen  $y_m$

Überschreissen  $y_m$ :

$$\begin{aligned} h(t) &= \mathcal{L}^{-1}\{H(s)\} = \mathcal{L}^{-1}\{U(s)G(s)\} \\ &= \mathcal{L}^{-1}\left\{\frac{1}{s} \frac{\omega_0^2}{s^2 + 2\xi\omega_0 s + \omega_0^2}\right\} \\ &= 1 - e^{-\xi\omega_0 t} (\cos(\sqrt{1-\xi^2}\omega_0 t) + \frac{1}{\sqrt{1-\xi^2}} \sin(\sqrt{1-\xi^2}\omega_0 t)) \end{aligned}$$

$$\begin{aligned} h(t) &= \frac{\omega_0}{\sqrt{1-\xi^2}} e^{-\xi\omega_0 t} \sin(\sqrt{1-\xi^2}\omega_0 t) \stackrel{!}{=} 0 \\ \Rightarrow t_{max} &= \frac{\pi}{\sqrt{1-\xi^2}\omega_0} \end{aligned}$$

$$\Rightarrow y_m = h(t_{max}) - 1 = \exp\left(\frac{-\xi\pi}{\sqrt{1-\xi^2}}\right) \quad \text{hängt nur von } \xi \text{ ab}$$



Einstellzeit  $T_{set}$ :

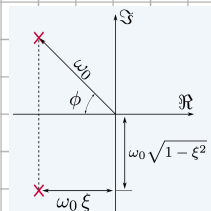
$$h(t) = 1 - \frac{1}{\sqrt{1-\xi^2}} e^{-\xi\omega_0 t} \sin(\sqrt{1-\xi^2}\omega_0 t + \overbrace{\arccos\xi}^{\phi})$$

$$\Rightarrow y_{high}(t) = 1 + \frac{1}{\sqrt{1-\xi^2}} e^{-\xi\omega_0 t}, \quad y_{low}(t) = 1 - \frac{1}{\sqrt{1-\xi^2}} e^{-\xi\omega_0 t}$$

$$y_{high}(t) = 1 + \frac{1}{\sqrt{1-\xi^2}} e^{-\xi\omega_0 t} \stackrel{!}{\leq} 1 + \delta y, \quad y_{low}(t) = 1 - \frac{1}{\sqrt{1-\xi^2}} e^{-\xi\omega_0 t} \stackrel{!}{\geq} 1 - \delta y$$

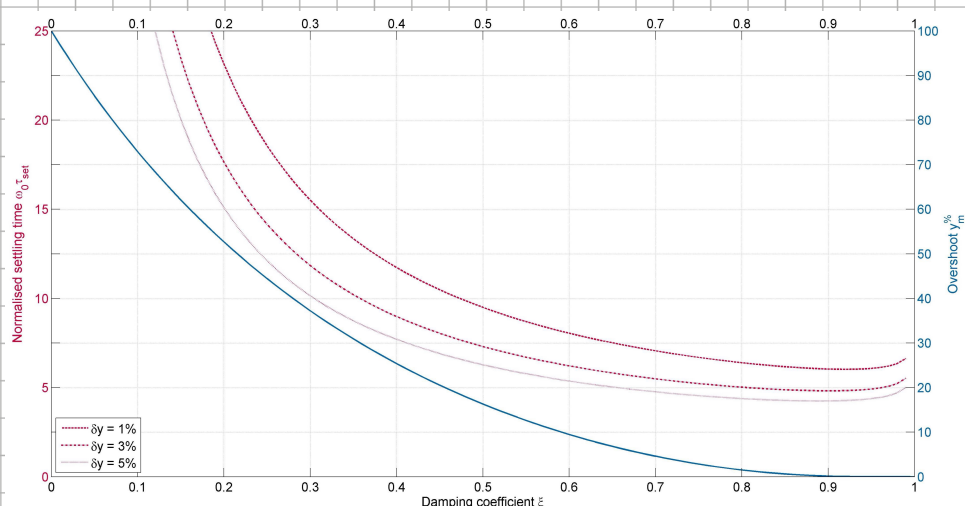
$$\Rightarrow \frac{1}{\sqrt{1-\xi^2}} e^{-\xi\omega_0 t} \stackrel{!}{\leq} \delta y$$

$$\Rightarrow \omega_0 T_{set} = -\frac{1}{\xi} \ln(\delta y \sqrt{1-\xi^2})$$



Vorgehen:

- i) Vorgabe  $y_m \rightarrow \xi$  bestimmen
- ii) Vorgabe  $\delta y \rightarrow \omega_0 T_{set}$  best.
- iii) Vorgabe  $T_{set} \rightarrow \omega_0$  best.
- iv) mit  $\omega_0$  &  $\xi \rightarrow$  Pollage



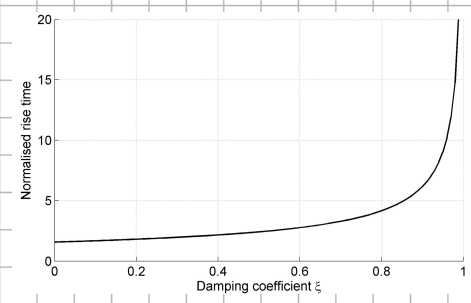
$\xi$  nicht grösser als nötig wählen, da mit  $\xi$  auch die Anstiegzeit  $T_{rise}$ , resp  $\omega_0 T_{rise}$  (exponentiell) zunimmt:

$$h(t) = 1 - e^{-\xi\omega_0 t} (\cos(\sqrt{1-\xi^2}\omega_0 t) + \frac{1}{\sqrt{1-\xi^2}} \sin(\sqrt{1-\xi^2}\omega_0 t)) \stackrel{!}{=} 1$$

$$\Rightarrow \cos(\sqrt{1-\xi^2}\omega_0 t) + \frac{1}{\sqrt{1-\xi^2}} \sin(\sqrt{1-\xi^2}\omega_0 t) \stackrel{!}{=} 0$$

$$\Rightarrow \sin(\sqrt{1-\xi^2}\omega_0 t + \arccos\xi) \stackrel{!}{=} 0$$

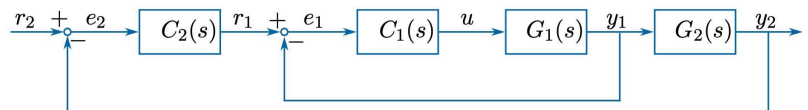
$$\Rightarrow \omega_0 T_{rise} = \frac{\pi - \arccos\xi}{\sqrt{1-\xi^2}}$$



# Klassische Regelung mit Erweiterungen

## Kaskadenregelung

$$G(s) = G_1(s) \cdot G_2(s)$$



Gründe für Kaskadenregelung:

- innerer Kreis hat wesentlich kleinere Zeitkonstante als äußerer
- Nichtlinearität eines Aktuators
- schnelle Störabreinigung durch inneren Kreis
- innerer Kreis stabilisiert ein instabiles System

$$G_{cl1}(s) = \frac{C_1(s)G_1(s)}{1 + C_1(s)G_1(s)} \approx 1$$

Zu beachten:

a) Reglerentwurf beginnt immer bei innerster Schleife bis auf Schritt nach außen

b) Systemdynamik nimmt von innen nach außen ab

c) Dynamik einer inneren Schleife ist ausreichend schneller, dass davon UTF als Einheitsverstärker angenommen werden kann

Vor- und Nachteile:

- + i.A. dynamischer Aufwand, da mehr Messungen verfügbar / verwendet
- + Linearisierung von nichtlinearen Subsystemen
- + innere Schleifen meist näher an Störungen
- + Sollwerte können leicht begrenzt werden
- höherer Aufwand / Kosten durch zusätzliche Messungen

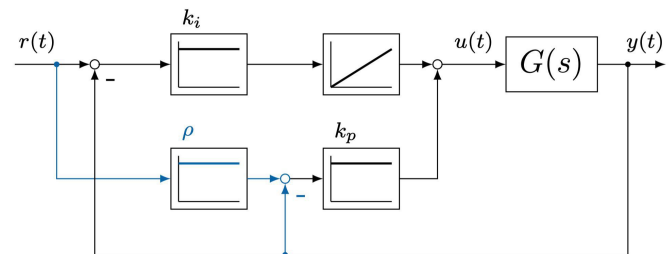
## 2-DoF-Regelung

### Entkopplung des Regelfeldes

i) Regler auf Störverhalten anpassen

ii)  $\rho$  für Anpassung der Sprungantwort verwenden

$\Rightarrow \rho$  beeinflusst Störlieferungsfaktoren nicht



### Nullstellenkompenstation

Regler  $C(s) = n_c / d_c$  führt oft dominanten Nullstellen in  $G_c(s)$  ein welche beim Führungsverhalten zu Überschüssen führen:

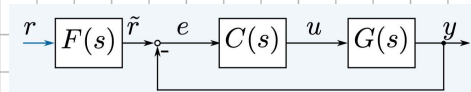
$$G_c(s) = \frac{C}{1+CG} = \frac{n_c h_g}{d_c d_g + n_c h_g}$$

$C(s)$  führt auch in  $G_c$  Nullstellen ein (Pole von  $C$ ), jedoch sind diese meist nicht dominant, da weit links gesetzt werden:

$$G_c(s) = \frac{G}{1+CG} = \frac{d_c h_g}{d_c d_g + n_c h_g}$$

mit Vorfilter  $F$  kann man Nullstellen in  $G_c$  kompensieren:

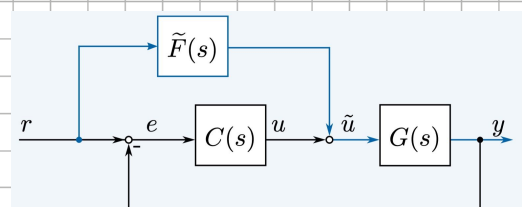
$$\tilde{G}_c(s) = F(s) G_c(s) = \frac{C}{n_c h_g} G_c(s) = \frac{C}{d_c d_g + n_c h_g} \quad \text{wobei } C \text{ so gewählt, dass } F(s) \text{ einen DC=1 hat}$$



### Feedforward Regelung

$$y_{des}(t) = L^{-1} \left\{ \frac{1}{G(s)} L \{ y_{des}(t) \} \right\}$$

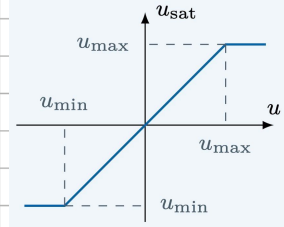
$$\Rightarrow \tilde{F}(s) = \frac{1}{G(s)} \quad \begin{array}{l} \text{i.A. nicht kausal, da } G(s) \text{ kausal} \\ \rightarrow \text{braucht noch TP geeigneter Ordnung} \end{array}$$



## Anti-Reset Wind-up

$u(t)$  kann nicht beliebig gross werden (jeder Aktuator hat eine physikalische Grenze)  
 → muss begrenzt werden:

$$U_{\text{sat}} = \begin{cases} U_{\max} & \text{für } u > U_{\max} \\ u & \text{für } U_{\min} \leq u \leq U_{\max} \\ U_{\min} & \text{für } u < U_{\min} \end{cases}$$



Problem: macht System nichtlinear, evt. instabil  
 → bei richtigen Umgang kann lineare Systemtheorie trotzdem angewandt werden

edifache Methode: Integrator clamping (nicht empfohlen)

bessere Methode: Back calculation

i) Regler normal auslegen:

$$C(s) = k \frac{s^q + \beta_{q-1}s^{q-1} + \dots + \beta_1s + \beta_0}{s^{n+1} + \alpha_{n+1}s^{n+2} + \dots + \alpha_1s + \alpha_0}$$

ii) I-Anteil abspalten (sonst parallel):

$$C(s) = \frac{k_i}{s} + \tilde{C}(s)$$

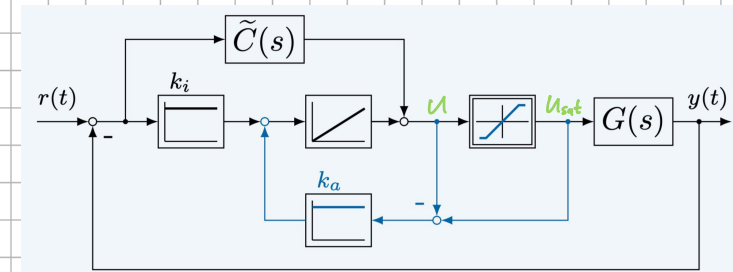
$$\text{mit Ansatz } \tilde{C}(s) = \frac{b_{q-1}s^{q-1} + \dots + b_1s + b_0}{s^{n+1} + \dots + \alpha_1s + \alpha_0}$$

iii) zusätzlich Rückführung einfügen:

solange im linearen Bereich, ist Differenz 0 (kein Einfluss)

sobald maximal zulässiger Wert überschritten (also  $u > U_{\max}$ )

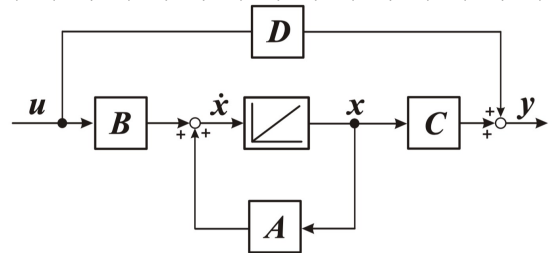
⇒  $k_a(u - U_{\max})$  wird zurückgeführt und vor  $\frac{1}{s}$ -Block subtrahiert



# Zustandssraumdarstellung

$$\dot{\vec{x}} = \underline{A} \vec{x} + \underline{B} \vec{u} \quad \text{Zustandsgleichung}$$

$$\vec{y} = \underline{C} \vec{x} + \underline{D} \vec{u} \quad \text{Ausgangsgleichung}$$



Dimensionen:

$$\begin{array}{ll} \underline{A} & n \times n \\ \underline{B} & n \times m \\ \underline{C} & r \times n \\ \underline{D} & r \times m \end{array}$$

$$\begin{array}{ll} n: \# \text{ Zustände} \equiv \text{Ordnung der DGL} \\ m: \# \text{ Eingänge} \\ r: \# \text{ Ausgänge} \end{array}$$

Bedeutung der einzelnen Matrizen:

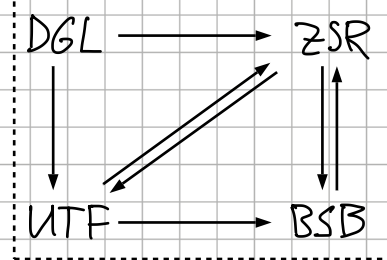
$\underline{A}$  (Systemmatrix): beschreibt Dynamik des Systems

$\underline{B}$  (Eingangsmatrix): Wirkung Eingangsgrößen auf Zustände

$\underline{C}$  (Ausgangsmatrix): Erzeugung Ausgangsgrößen aus Zuständen

$\underline{D}$  (Durchgangsmatrix): beschreibt wie Eingänge direkt auf Ausgangsgrößen wirken  $\rightarrow$  nur für sprungfähige Systeme  $\neq 0$

Übersicht Umwandlungen



ZSR-Darstellung oder lin. DGL nter Ordnung

(normierte) DGL nter Ordnung der Form:

$$y^{(n)} + a_{n-1}y^{(n-1)} + \dots + a_1\dot{y} + a_0y = b_q u^{(q)} + \dots + b_1u + b_0u$$

Kausalität:  $q \leq n$

in System von n DGLn 1ter Ordnung transformieren:

$$\underline{A} = \begin{pmatrix} 0 & 1 & & \\ 1 & 0 & & \\ & 0 & 1 & \\ -a_0 & \dots & -a_{n-1} & 0 \end{pmatrix},$$

$$\underline{B} = \begin{pmatrix} 0 \\ 1 \\ 0 \\ \vdots \\ 0 \end{pmatrix},$$

Regelungsnormalform

$$\underline{C} = (b_0 - b_n a_0, \dots, b_{n-1} - b_n a_{n-1}), \quad \underline{D} = b_n$$

$$\underline{C} = (b_0, b_1, \dots, b_{n-1}), \quad \underline{D} = 0$$

falls  $q = n \rightarrow$  sprungfähig

falls  $q < n$

UTF aus ZSR-Darstellungen

$$\dot{\vec{x}}(t) = \underline{A} \vec{x}(t) + \underline{B} u(t)$$

$$s \vec{X}(s) = \underline{A} \vec{X}(s) + \underline{B} U$$

$$s \vec{X}(s) - \underline{A} \vec{X}(s) = \underline{B} U(s)$$

$$(sI - \underline{A}) \vec{X}(s) = \underline{B} U(s)$$

$$\vec{X}(s) = (sI - \underline{A})^{-1} \underline{B} U(s)$$

$$y = \underline{C} \vec{x} + \underline{D} u$$

$$Y = \underline{C} \vec{X} + \underline{D} U$$

$$= \underline{C}(sI - \underline{A})^{-1} \underline{B} U + \underline{D} U$$

$$= (\underline{C}(sI - \underline{A})^{-1} \underline{B} + \underline{D}) U$$

$$\rightarrow G(s) = \frac{Y(s)}{U(s)} = \underline{C}(sI - \underline{A})^{-1} \underline{B} + \underline{D} = \underline{C} \frac{\text{adj}(sI - \underline{A})}{|sI - \underline{A}|} \underline{B} + \underline{D}$$

wobei  $(\text{adj}(M))_{ij} = (-1)^{i+j} \det(M_{ij})$  wobei  $M_{ij} = M$  mit gestrichener Zeile i & Spalte j

falls m und/oder r > 1 erhält man für jede Eingang/Ausgang-Kombination eine UTF

## ZSR-Darstellung aus BSB

Zustände hinter Integratoren platzieren

### Bewegungsgleichung aus Zustandsspace Modell

$$\begin{aligned}\dot{\vec{x}} &= \underline{A} \vec{x} + \underline{B} u \Rightarrow \vec{x}(t) = e^{\underline{A} t} \vec{x}_0 + \int_0^t e^{\underline{A}(t-\tau)} \underline{B} u(\tau) d\tau \\ \vec{y} &= \underline{C} \vec{x} + \underline{D} u \Rightarrow \vec{y}(t) = \underbrace{\underline{C} e^{\underline{A} t} \vec{x}_0}_{\text{homogene Lösung}} + \underbrace{\int_0^t \underline{C} e^{\underline{A}(t-\tau)} \underline{B} u(\tau) d\tau}_{\text{partikuläre Lösung}} + \underline{D} u(t)\end{aligned}$$

### Gewichtsfunktionen

Systemantwort auf Dirac-Impuls:

$$g(t) = \int_0^t \underline{C} e^{\underline{A}(t-\tau)} \underline{B} \delta(\tau) d\tau + \underline{D} u(t) = \underline{C} e^{\underline{A} t} \underline{B} + \underline{D} \delta(t)$$

### Pol- und Nullstellen eines LTI-Systems

falls Eingang = 0  $\Rightarrow \dot{\vec{x}}(t) = \underline{A} \vec{x}(t) \rightarrow \text{Ansatz: } \vec{x} = \vec{x} e^{\lambda t} \Rightarrow \dot{\vec{x}} = \lambda \vec{x} e^{\lambda t}$

$\Rightarrow \lambda \vec{x} e^{\lambda t} = \underline{A} \vec{x} e^{\lambda t} \Rightarrow \lambda \vec{x} = \underline{A} \vec{x}$  Eigenwertgleichung (charakteristische Gleichung)

Vergleicht mit UTF liefert uns folgende Erkenntnis:

Polstellen gegeben durch Eigenwerte der Systemmatrix  $\underline{A}$

$\rightarrow$  charakteristisches System unabhängig vom Systemeingang (Matrix  $\underline{B}$ ) und Measurern (Matrix  $\underline{C}$ )

Eigenvektoren beschreiben typische Bewegungen des dynamischen Systems, die sich auf Zeitschalen abspielen welche durch die Eigenwerte gegeben sind

$\rightarrow$  Eigenwerte haben Einheit 1/s

Eigenwerte und -vektoren einer reellen Matrix treten entweder reell oder in komplex konj. Paaren auf da Größen in der Natur reellwertig sind, sind wir um reellwertige Vorgänge interessiert, welche sich durch Superposition aus den kompl. konj. EV/EW erzeugen lassen:

$$\vec{x}(t) = \frac{1}{2} (\vec{x}_c e^{\lambda_c t} + \vec{x}_c^* e^{\lambda_c^* t})$$

Nullstellen sind Lösungen einer verallgemeinerten Eigenwertgleichung  $0 = \det \left( \underline{A} - z \cdot \underline{I} - \frac{\underline{B}}{\underline{C}} \right)$

$\rightarrow$  schneller ist es die Nullstellen aus Zählpolyonom der UTF zu berechnen

## Steuierbarkeit

salopp: nicht steuerbar, wenn es Komponenten in  $\vec{x}$  gibt, die durch  $\vec{u}$  nicht geziertet zu beeinflussen sind

genau: Syst.  $\dot{\vec{x}} = \underline{A}\vec{x} + \underline{B}\vec{u}$  ist vollständig steuerbar, falls für jeden Anfangszustand  $\vec{x}(t_0)$  eine Eignungsfunktion  $v(t)$  existiert, die das System in endlicher Zeit in beliebigem Endzustand  $\vec{x}(t_{end})$  überführt

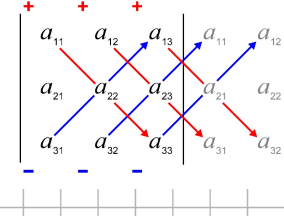
Steuierbarkeitsmatrix  $\underline{Q}_s := (\underline{B}, \underline{AB}, \underline{A^2B}, \dots, \underline{A^{n-1}B})$  nxn-m Matrix

hat  $\underline{Q}_s$  Rang  $n$  (n lin. unabh. Zeilen), ist System vollst. steuerbar

im Falle  $m=1 \rightarrow \det(\underline{Q}_s) \neq 0$

anstatt  $(\underline{A} \dots \underline{A}) \underline{B} \xrightarrow{\text{schneller}} \underline{A} (\dots (\underline{A}(\underline{AB}) \dots))$

für komplizierte Ausdrücke in den Komponenten von  $\underline{A}$  neue Variablen einführen und am Schluss ert. wieder ersetzen!



Laplacescher Entwicklungssatz

$\det(A) = \sum_{j=1}^n a_{ij} \cdot (-1)^{i+j} \cdot \det(A_{ij})$ , wenn du nach der i-ten Zeile entwickelst oder

$\det(A) = \sum_{i=1}^n a_{ij} \cdot (-1)^{i+j} \cdot \det(A_{ij})$ , wenn du nach der j-ten Spalte entwickelst.

## Beobachtbarkeit

salopp: nicht beobachtbar, wenn man von  $\vec{y}$  n. geziertet auf Komponenten von  $\vec{x}$  schließen kann

genau: Syst.  $\dot{\vec{x}} = \underline{A}\vec{x} + \underline{B}\vec{u}$ ,  $\vec{y} = \underline{C}\vec{x}$  ist vollständig beobachtbar, wenn Anfangszustand  $\vec{x}_0 = \vec{x}(t_0)$  aus dem im Intervall  $t_0 \leq t \leq t_{end}$  bekannten Größen  $\vec{y}(t)$  und  $\vec{u}(t)$  bestimmt werden kann

Beobachtbarkeitsmatrix

$$\underline{Q}_B := \begin{pmatrix} \underline{C} \\ \underline{CA} \\ \vdots \\ \underline{CA^{n-1}} \end{pmatrix} \quad \text{n-r x n Matrix}$$

hat  $\underline{Q}_B$  Rang  $n$  (n lin. unabh. Zeilen), ist System vollst. beobachtbar

im Falle  $r=1 \rightarrow \det(\underline{Q}_B) \neq 0$

## Ähnlichkeitstransformationen

für gegebenes System steht erheblich festgelegt wie Zustandsvariablen  $\vec{x}$  gewählt werden und somit sind auch  $A, B, C, D$  nicht erheblich

Zustandsraummodell lässt sich mit Ähnlichkeitstransformationen in neuer Form bringen, indem man den Zustandsvektor  $\vec{x}$  mit einer regulären ( $\Rightarrow$  invertierbarer)  $n \times n$ -Matrix  $I$  multipliziert:

$$\tilde{\vec{x}} = I \vec{x} \quad \text{resp.} \quad \vec{x} = I^{-1} \tilde{\vec{x}}$$

$$\Rightarrow I^{-1} \dot{\tilde{\vec{x}}} = \underline{A} I^{-1} \tilde{\vec{x}} + \underline{B} \vec{u} \Rightarrow E \dot{\tilde{\vec{x}}} = I \underline{A} I^{-1} \tilde{\vec{x}} + I \underline{B} \vec{u} \quad \text{resp.} \quad \dot{\tilde{\vec{x}}} = \tilde{A} \tilde{\vec{x}} + \tilde{B} \vec{u}$$

$$\Rightarrow \tilde{\vec{y}} = \underline{C} \tilde{\vec{x}} + \underline{D} \vec{u} = \underline{C} I^{-1} \tilde{\vec{x}} + \underline{D} \vec{u} = \tilde{C} \tilde{\vec{x}} + \underline{D} \vec{u}$$

neue Matrizen:  $\tilde{A} = I A I^{-1}$ ,  $\tilde{B} = I B$ ,  $\tilde{C} = C I^{-1}$

$$\tilde{\vec{x}}(t_0) = I \vec{x}(t_0)$$

Komponenten von  $\tilde{\vec{x}}$  entsprechen meist n. mehr anschaulichen Größen (Geschv., Spannung,...) sondern linear kombinierbarer dieser

bei Lösung der DGL muss auch der Anfangszustand entsprechend  $\tilde{\vec{x}}(t_0) = I \vec{x}(t_0)$  transformiert werden

## Normalformen

### kanonische Normalform

wenn die Eigenvektoren  $\vec{v}_i$  lin. unabhängig sind, kann man  $A$  diagonalisieren mit  $I = V^{-1}$ :

$$\tilde{A} = V^{-1} A V = \text{diag}(\lambda_1, \lambda_2, \dots, \lambda_n) \quad \text{wobei } V = (\vec{v}_1, \vec{v}_2, \dots, \vec{v}_n), \quad \tilde{x} = V^{-1} x$$

$\vec{v}_i$ : ist Lösung von  $(\lambda; I - A)\vec{v}_i = \vec{0}$  Eigenvektoren

die  $n$  DGL sind entkoppelt, d.h., die Dynamik der Koordinaten sind unabhängig:

$$\dot{\tilde{x}}_i(t) = \lambda_i \tilde{x}_i(t) + b_i u(t)$$

### Regelungsnormalform

im Falle einer Ein- und Ausgangsgröße haben  $A, B, C$  in dieser Form die Gestalt:

$$A_R = \begin{pmatrix} 0 & 1 & & \\ 1 & 0 & & \\ 0 & & \ddots & \\ * & * & \cdots & * \end{pmatrix}, \quad B_R = \begin{pmatrix} 0 \\ 1 \\ 0 \\ \vdots \\ 0 \end{pmatrix}, \quad C_R = (* \cdots *)$$

die RNF einer DGL der Form  $y^{(n)} + a_{n-1}y^{(n-1)} + \cdots + a_1 \dot{y} + a_0 y = b_n u^{(n)} + \cdots + b_1 u + b_0 u$  s.o.

ein Vorteil ist dass man char. Polynom direkt aus  $A_R$  ablesen kann:

$$P_{A_R}(\lambda) = \lambda^n + a_{n-1}\lambda^{n-1} + \cdots + a_1\lambda + a_0$$

Berechnung aus beliebig gestalteten  $A, B, C, D$ :

$Q_S = (B, AB, \dots, A^{n-1}B)$  berechnen,

$$\vec{q}_S^T = (0 \ 0 \ 1) Q_S^{-1} \quad (\text{letzte Zeile der Inversen von } Q_S)$$

$$I_R = \begin{pmatrix} \vec{q}_S^T \\ \vec{q}_S^T A \\ \vdots \\ \vec{q}_S^T A^{n-1} \end{pmatrix} \quad \begin{aligned} A_R &= I_R A I_R^{-1} \\ B_R &= I_R B \\ C_R &= C I_R^{-1} \end{aligned} \quad \vec{x}_R(t_0) = I_R \vec{x}(t_0)$$

### Beobachtungsnormalform

im Falle einer Ein- und Ausgangsgröße haben  $A, B, C$  in dieser Form die Gestalt:

$$A_B = \begin{pmatrix} 0 & 0 & -a_0 \\ 1 & 0 & -a_1 \\ 0 & 1 & \vdots \\ 0 & 0 & -a_{n-1} \end{pmatrix}, \quad B_B = \begin{pmatrix} b_0 - b_n a_0 \\ b_1 - b_n a_1 \\ \vdots \\ b_{n-1} - b_n a_{n-1} \end{pmatrix}, \quad C_B = (0 \ 0 \ 1), \quad D_B = b_n$$

Berechnung:

$$Q_B = \begin{pmatrix} C \\ C A \\ \vdots \\ C A^{n-1} \end{pmatrix}, \quad \vec{q}_B = Q_B^{-1} \begin{pmatrix} 0 \\ 1 \\ 0 \\ \vdots \\ 0 \end{pmatrix} \quad (\text{letzte Spalte der Inversen von } Q_B)$$

$$I_B = (\vec{q}_B, A \vec{q}_B, \dots, A^{n-1} \vec{q}_B)^{-1} \quad \text{Inverse!}$$

$$A_B = I_B A I_B^{-1}, \quad B_B = I_B B, \quad C_B = C I_B^{-1}, \quad \vec{x}_B(t_0) = I_B \vec{x}(t_0)$$

## Dualität

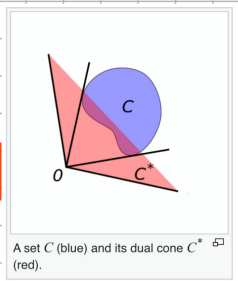
wenn System steuerbar und beobachtbar ist, gilt

$$A_R = A_B^T, \quad B_R = C_B^T, \quad C_R = B_B^T \quad \text{Dualität zwischen Steuerbarkeit & Beobachtbarkeit}$$

$A_R$  und  $A_B$  haben Form einer Frobenius (Begleit-) Matrix

charakteristisch ist, dass Koeffizienten des charakt. Polynoms als negative Elemente entweder in jeder Zeile oder Spalte vorkommen, eine Nebdiagonale mit 1 besetzt, alle anderen Elemente sind 0

da die beiden Matrizen das gleiche char. Polynom besitzen, sind  $A_R$  und  $A_B$  einander ähnlich



# Zustandsregelung

da  $D$  meist  $= 0$  ist, weggelassen  
 → alle Übertragungen können dann auch für  
 $D \neq 0$  erweitert werden

$K$  ist  $m \times n$ -Matrix

kein direkter Vergleich zwischen Soll- und Istwerten

Dynamik des geschlossenen Systems:

$$\dot{\vec{x}}(t) = \underline{A} \vec{x}(t) + \underline{B} \vec{u}(t)$$

$$\vec{y}(t) = \underline{C} \vec{x}(t)$$

$$\vec{u}(t) = \vec{r}(t) - \underline{L} \vec{x}(t)$$

$$\dot{\vec{x}}(t) = (\underline{A} - \underline{B} \underline{K}) \vec{x}(t) + \underline{B} \vec{r}(t)$$

$$\vec{y}(t) = \underline{C} \vec{x}(t)$$

$$\underline{A}_{cl} = \underline{A} - \underline{B} \underline{K} \quad \text{gibt auch Konvention mit } \underline{A} + \underline{B} \underline{K}$$

$$G_{cl}(s) = \frac{Y(s)}{R(s)} = \underline{C} (sI - \underline{A}_{cl})^{-1} \underline{B} = \underline{C} (sI - \underline{A} + \underline{B} \underline{K})^{-1} \underline{B}$$

## Polyvorgabe

Überprüfen:

- System  $A$ ,  $B$  muss steuerbar sein
- falls nicht vollst. steuerbar, können nur die steuerbaren Pole d. Strecke verschoben werden

dann Pole vorgegeben werden können, braucht es die durchführbare Einstellung

Variante I: aus LTF

$$\text{Determinante } |sI - \underline{A}_{cl}| \stackrel{!}{=} 0 \quad \text{resp} \quad |sI - \underline{A} + \underline{B} \underline{K}| \stackrel{!}{=} 0$$

Variante II: aus Regelungsnormalform

hier direkt ablesen werden aus  $\underline{A} - \underline{B} \underline{K} =$

$$P(s) = s^n + (a_{n-1} + k_n)s^{n-1} + \dots + (a_1 + k_1)s + (a_0 + k_0)$$

$$\begin{pmatrix} 0 & 1 & & \\ 1 & 0 & & \\ & & \ddots & \\ & & & 1 \end{pmatrix}$$

n Koeffizienten von  $K$  treten unabhängig in allen Koeffizienten von  $P(s)$  auf!  
 → alle Eigenwerte des vorgegebenen Systems können vorgegeben werden!

Bestimmung von  $K$  durch Koeffizientenvergleich

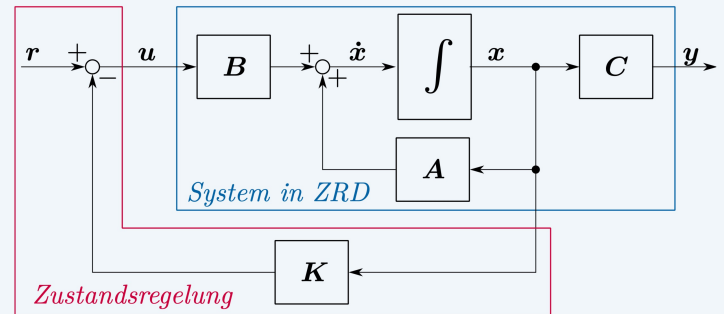
falls man alle an gleicher Stelle  $\Sigma$  legen möchte:

$$(s + \Sigma)^n \stackrel{!}{=} 0$$

Nachteile: kann physikalisch wenig Sinn machen

man kann in Polzeta jede einzelne Fällage setzen:

$$P(s) = (s - p_1)(s - p_2) \cdots (s - p_n) = s^n + x_{n-1}s^{n-1} + \cdots + x_1s + x_0$$



In Regelungsnormalfarum besonders einfache:

$$k_1 = \alpha_0 - \alpha_0, \quad k_2 = \alpha_1 - \alpha_1, \quad \text{usw.}$$

daher Name: Darstellung welche für Berechnung des Zustandsreglers geeignet ist

### Ablauf Reglerentwurf

1. mathem. Modell der Regelstrecke in Zustanddarstellung entwerfen
2. Stabilität des Systems überprüfen
3. charakteristische Gleichung des geschlossenen Regelkreises entnehmen aus UTF oder RNF berechnen
4. Koeffizienten von  $K$  durch Koeffizientenvergleich bestimmen

### Wahl der Pole der Regelstrecke

wenn zu regelndes System stabil ist & alle vorhandenen Zustände gemessen  $\rightarrow$  alle Pole können vorgegeben werden  
 $\rightarrow$  theoretisch beliebig hohe Dynamik mit hoher Dämpfung möglich

dabei gibt es aber abhängige Probleme:

- je dynamischer ( $\hat{=}$  je weiter links) Pole gewählt werden, desto höher werden Stellamplituden  
 $\rightarrow$  diese sind jedoch physikalisch oft begrenzt (Ströme, Leistungen, etc.)
- Fehler bei Modellierung d. math. Modells können sich bei hohen Verstärkungen negativ auswirken
- Messfehler und -unsicherheiten werden bei hoher Dynamik ebenfalls mit negativen Folgen verstärkt

### Befehl zur Berechnung

$$K = \text{place}(A, B, V) \quad \# \text{ berechne } K \text{ so, dass } (A - BK) \text{ die Polstellen } \vec{\sigma} \text{ hat}$$

### Verminderung des statischen Regelfehlers

statische Verstärkung  $K_{DC}$  auf sprungförmige Eingangssignale:  $K_{DC} = \frac{v(t \rightarrow \infty)}{r(t \rightarrow \infty)} = \frac{\lim_{s \rightarrow 0} s Y(s)}{1} = \lim_{s \rightarrow 0} G_d(s)$

$\rightarrow$  Zustandsregler in jetziger Form hat Regelfehler

Verfahren (statische Methode):

$$\lim_{s \rightarrow 0} C(sI - A + BK)^{-1} B \vec{k}_F \stackrel{!}{=} 1 \quad \Rightarrow \quad \vec{k}_F = \frac{1}{C(A - BK)^{-1} B} = \frac{1}{C(BK - A)^{-1} B}$$

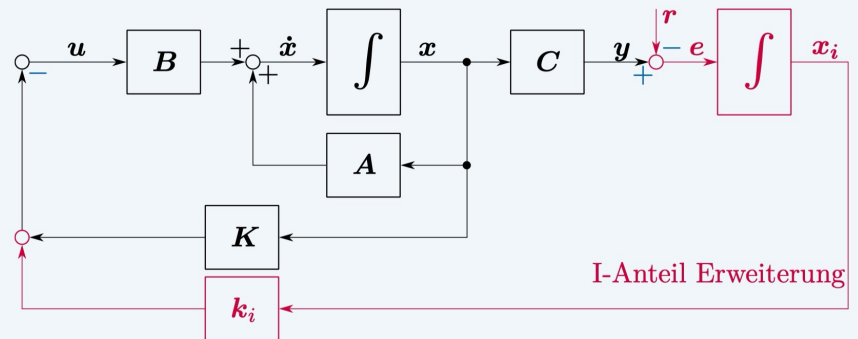
in RNF ergibt sich  $k_F = \frac{a_0 + k_1}{b_0}$

da Systemmodell normalweise nicht ganz genau und trotzdem Regelfehler verringern

I - Anteise:

Um Regelfehler = 0 zu garantieren, kann wie in klassischer Regelung der Regler mit I - Anteil ergänzt werden  
 $\rightarrow$  Zustandsraumverarbeitung / (augmented states)

Vorzeichenkontraste bei Vergleich Soll - Ist-  
wert, damit I-Wert negativ auftritt



I-Anteil Erweiterung

$$\text{StellgröÙe: } \vec{u} = -k\vec{x} - k_i\vec{x}_i$$

$$\text{Zustandsvektor: } \vec{s} = \begin{pmatrix} \vec{x} \\ \vec{x}_i \end{pmatrix}$$

Rückfikamentfix:  $\underline{K} = (\underline{K} \vec{k}_i)$

neue Zustandsraumdarstellung:

$$\vec{\xi}(t) = \underline{A} \vec{\xi}(t) + \underline{B} \vec{u}(t) + \underline{\epsilon} \vec{r}(t)$$

$$\vec{y}(t) = C \vec{\xi}(t), \quad \vec{u}(t) = -K \vec{\xi}(t)$$

$$\text{mit } \underline{\mathcal{A}} = \begin{pmatrix} A & 0 \\ \underline{C} & 0 \end{pmatrix} \quad \underline{\mathcal{B}} = \begin{pmatrix} B \\ \underline{Q} \end{pmatrix} \quad \underline{\mathcal{C}} = \begin{pmatrix} C & 0 \end{pmatrix} \quad \underline{\mathcal{K}} = \begin{pmatrix} K & \underline{k}_i \end{pmatrix} \quad \underline{\Sigma} = \begin{pmatrix} \underline{\Omega} \\ -\underline{I} \end{pmatrix}$$

aus dieser ZDR kann wiederum die UTF das gesch. Sys. laufen:

$$G_{\text{cl}}(s) = \frac{C}{sI - A + BK}^{-1} E$$

also st. ch. Gleichung:

$$|s\mathbb{I} - \underline{A} + \underline{B}\underline{K}| \doteq 0$$

Vorzeichenwechsel hat also für Eigenwerte des Systems keinen Einfluss, da dieser nur bei neuer Eigenmatrix  $\Sigma$  berücksichtigt wird.

man kann direkt Rückfahrt mit X KC durch Polangabe bestimmen:

$$(s + \sum) ^{n+n_i} = 0$$

Ordnung des Systems erhöht sich um Anzahl unterschiedl Zustände  $N$ : ( $\hat{=}$  # Salmente)

# Regelentwurf mit Gatekriterium

Integralkriterien:

$$(\text{lineare Regelfläche:}) \quad J_{lin} = \int_0^\infty (y_{ss} - y(t)) dt$$

→ nicht so gut, da Drosselungen nach diesem Kriterium auch gut sein können

$$\text{Betragsfäche:} \quad J_{abs} = \int_0^\infty |y_{ss} - y(t)| dt$$

$$\text{quadr. Regelfläche:} \quad J_{sqr} = \int_0^\infty (y_{ss} - y(t))^2 dt$$

LQR Verfahren:

Grundgedanke: Regelfläche sollte möglichst klein sein und zudem sollte die Stellgröße nicht zu gross werden, mathematisch als Gütekriterium:

$$J = \int_0^\infty (q(r(t) - y(t))^2 + r u(t)^2) dt$$

mit Parametern  $q$  und  $r$  um den Regelfehler gegen über Stellfehler stärker oder schwächer zu gewichten

Annahme:  $r=0$  ( kann nun stets durch Koordinatenwahl auszutragen)

Gemäss ZRD ist  $y = Cx$ , daraus ergibt sich

$$J = \int_0^\infty (q(Cx(t))^2 + r u(t)^2) dt \quad \text{für SISO - Systeme}$$

respektive

$$\tilde{J} = \int_0^\infty (\tilde{x}(t)^T Q \tilde{x}(t) + \tilde{u}(t)^T R \tilde{u}(t)) dt \quad \text{für MIMO - Systeme}$$

mit Wichtungsmatrizen  $Q$  und  $R$

$Q$  und  $R$  sind positiv definit, wobei bei  $Q$  das  $C$  mit verschoben ist

wie sich Zustände  $\tilde{x}(t)$  von  $x(t)$  wiederum hängt wiederum vom  $\tilde{u}(t)$  ab, das heißt nun optimal

$$\boxed{\min_{\tilde{u}} \int_0^\infty (\tilde{x}(t)^T Q \tilde{x}(t) + \tilde{u}(t)^T R \tilde{u}(t)) dt \text{ subject to } \dot{\tilde{x}}(t) = A \tilde{x}(t) + B \tilde{u}(t)}$$

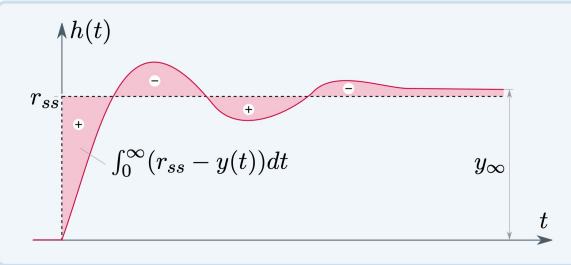
man kann zeigen dass das optimale  $\tilde{u}^*(t)$  wie folgt berechnet werden kann:

$$\boxed{\tilde{u}^* = -K \tilde{x} \text{ falls } K = R^{-1} B^T P}$$

wobei  $P$  die Lösung der Riccati Gleichung  $A^T P + P A - P B R^{-1} B^T P + Q = 0$  ist für diesen Lösung erhaltene Lösungswertnehmen

doch wenn dieser Ansatz von einer Minimierung von quadratischen Regelflächen ausgeht, so geht es bei diesen Verfahren der optimalen Regelung gar n. so sehr darum wirklich die kleinste mögliche Fläche zu erreichen, sondern vielmehr führt der Ansatz zu einem schwinghaften Verhalten, für verschiedene Varianten der Wichtungsmatrizen, stets stabile Regellarde zu entdecken

iterativer Prozess - unter Variation der Wichtungsmatrizen  $Q, R$  soll dann füher Verhalten der Regelstrecke lieferen und eben für sich brauchbares Regelverhalten zu erhalten



«optimale Regelung», das Zielfunktionen (Gütekriterium) minimiert wird  
auch auf Deutsch wird meist der Englische Name dieses Verfahrens verwendet:

Linear	Quadratic	Regulär	kurz LQR
$\rightarrow$ lineares System	$\rightarrow$ quadratisches Gütekriterium	$\rightarrow$ konstanter Sollwert	

zwei mögliche Varianten von  $\underline{Q}$  und  $\underline{R}$  zu wählen (diese mit Intuition + TAE商量ieren...):

$$1. \quad \underline{Q} = \underline{C}^T \underline{C} \quad \text{und} \quad \underline{R} = \rho \underline{I}$$

$$2. \quad \underline{Q} = \begin{pmatrix} 1_{q_1} & & \\ & \ddots & \circ \\ \circ & \ddots & 1_{q_m} \end{pmatrix} \quad \text{und} \quad \underline{R} = \begin{pmatrix} 1_{r_1} & & \\ & \ddots & \circ \\ \circ & \ddots & 1_{r_m} \end{pmatrix}$$

wobei  $q_i$ : maximal erlaubter Wert von  $x_i$  und  $r_i$ : maximal erlaubter Wert von  $U_i$

weitere Tipps:

- oft  $\underline{Q}$  oder  $\underline{R}$  konstant lassen und nur eines der beiden variieren, da es insbesondere mit Verhältnis  $\underline{Q} : \underline{R}$  ankommt
- um Wirkung zu erhöhen muss oft das Verhältnis im Schnitt von Faktor 10 verändert werden!

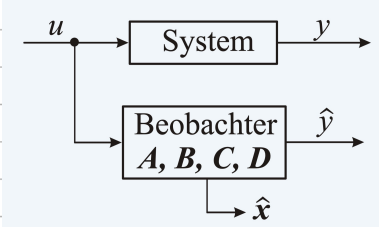
### Berechnung

$K = \text{place}(A, B, V)$  # berechne  $K$  so, dass  $(A - BK)$  die Polstellen  $\vec{V}$  hat

## Zustandsbeobachter

um nicht gemessene Zustände rekonstruieren

erste Idee: mathematisches Modell parallel zum System simulieren und daraus Systemgrößen  $\vec{x}(t)$  beobachten



selbst bei exakter Modellierung (i.e.  $\hat{A} = A$ ) ergibt sich für Beobachtungsfehler  $\vec{e}(t)$  des Zustandes:

$$\vec{e}(t) = \vec{x}(t) - \vec{\hat{x}}(t) = e^{At}(\vec{x}_0 - \vec{\hat{x}}_0)$$

da  $\vec{x}_0$  i.A. n. bekannt, verschwindet  $\vec{e}(t)$  nur wenn alle Eigenwerte von  $A$  in LHE, andernfalls wächst  $\vec{e}(t)$  exponentiell an

wesentlicher Nachteil wäre dass n. messbare Störgrößen lediglich auf reelles System, nicht jedoch auf Beobachtungssystem wirken, was ebenfalls zu Fehlern führen würde

## Luenberger Beobachter

zusätzlich findet ein Vergleich zwischen  $\vec{y}$  und  $\vec{\hat{y}}$  statt

Differenz dieser beiden  $\vec{e}(t) = \vec{y}(t) - \vec{\hat{y}}(t)$  wird wieder dem Systemmodell mit geeigneter Gegenkopfung zurückgeführt

solange  $\vec{e}(t) \neq 0$  ist, werden die Zustände korrigiert

stimmen  $\vec{y}$  und  $\vec{\hat{y}}$  überein, so nimmt man an dass auch die Zustände übereinstimmen, womit die nicht gemessenen Zustände gesenkt werden können (unter gewissen Bedingungen)

reelles System:  $\dot{\vec{x}}(t) = A\vec{x}(t) + B\vec{u}(t)$ ,  $\vec{y}(t) = C\vec{x}(t)$

Beobachter:  $\dot{\vec{\hat{x}}}(t) = \hat{A}\vec{\hat{x}}(t) + \hat{B}\vec{u}(t) + L(\vec{y}(t) - \vec{\hat{y}}(t)) = \hat{A}\vec{\hat{x}}(t) + \hat{B}\vec{u}(t) + LC\vec{x}(t) - LC\vec{\hat{x}}(t)$ ,  $\vec{e}(t) = C\vec{\hat{x}}(t)$

Dimension der Rückführmatrix  $L$  ist  $n \times r$ , also gleich wie  $C^T$

angenommen  $A, B, C$  seien exakt bekannt, i.e.  $\hat{A} = A$ ,  $\hat{B} = B$ ,  $\hat{C} = C$ , dann ergibt sich für Beobachtungsfehler

$$\dot{\vec{e}} = \dot{\vec{x}} - \dot{\vec{\hat{x}}} = A\vec{x}(t) - A\vec{\hat{x}}(t) - L C \vec{x}(t) + L C \vec{\hat{x}}(t) = (A - LC)(\vec{x}(t) - \vec{\hat{x}}(t))$$

mit  $\vec{e}(t_0) = \vec{x}(t_0) - \vec{\hat{x}}(t_0)$

→ Beobachtungsfehler sonst dynamischer Prozess ohne innere Anregung sollte gegen 0 gehen → System muss stabil sein

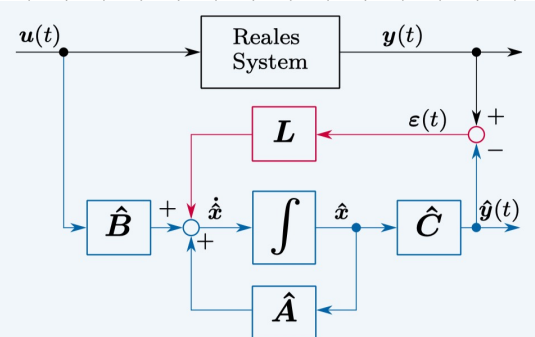
für Beobachtungsfehler  $\vec{e}(t) = \vec{x}(t) - \vec{\hat{x}}(t)$  des Luenberger-Beobachters gilt:

$$\lim_{t \rightarrow \infty} \|\vec{e}\| = 0$$

genau dann, wenn alle Eigenwerte der Matrix  $(A - LC)$  negativen Realteil haben

→ man hat also über die frei zu bestimmende Matrix  $L$  die Möglichkeit die Dynamik des Beobachtungsfehlers zu bestimmen (indirekt Dynamik allein über Länge der Eigenwerte festgelegt ist)

Problem die Matrix  $L$  zu spez. zu setzen und also auf Problem geeignete Eigenwerte für  $(A - LC)$  zu bestimmen überführt



## Berechnung der Rückführmatrix $L$

damit  $L$  beobachtbar machen kann, muss Sys  $A, B, C, D$  vollst. beobachtbar sein !

wie bei Anlegen des Zustandsreglers, kann  $L$  mittels Polvorgabe bestimmt werden

$$|sI - (A - LC)| = 0$$

$s_1, \dots, s_n$  werden feste Beobachterpole genannt

falls Sys n. beobachtbar  $\rightarrow$  gewisse Parameter von  $L$  kann man v. in das Polynom vor und können somit nicht bestimmt werden

gibt wie bei Best. der Rückführmatrix bei Zustandsregler auch die Möglichkeit daran zu ist. Gleichung aus Beobachtungsschleifen zu erhalten

in Analogie zu LQR zum Auslegen der Zustandrückführung gibt es ebenfalls ein Verfahren zur Auslegung des Beobachters ( $\rightarrow$  Kalman-Fitter)

Bedarf, Zustandsvektor gezielt aus Ein- und Ausgangsrößen d. Systems zu rekonstruieren erfordert eine Tatsache, dass bei Zustandsregelung nicht nur Systemausgang zuverlässig geführt wird, sondern gesuchte Zustandsvariablen

wenn Störgrößen und Messungen verträglich,  $\rightarrow$  Beobachtungsproblem

wenn Störgrößen mit stochastischem Charakter und Messwerte verzerrt  $\rightarrow$  Schätzproblem

dann wird Systembeschreibung zu:

$$\begin{aligned} \vec{x}(t) &= A(t) \vec{x}(t) + B(t) \vec{u}(t) + \vec{w}_s(t) & \text{mit } E\{\vec{w}_s(t)\} = \vec{0} \text{ und } E\{\vec{w}_s(t) \vec{w}_s^T(t)\} = Q(t) \\ \vec{y}(t) &= C(t) \vec{x}(t) + \vec{w}_m(t) & \text{mit } E\{\vec{w}_m(t)\} = \vec{0} \text{ und } E\{\vec{w}_m(t) \vec{w}_m^T(t)\} = R(t) \end{aligned}$$

wobei  $\vec{w}_s(t)$  und  $\vec{w}_m(t)$  als normalverteilt mit  $M=0$  angenommen

$Q(t)$  und  $R(t)$  soll Kovarianzmatrizen (können verschoben als Diagonale angenommen werden)

analog zum Luenberger-Beobachter gilt:

$$\vec{\hat{x}}(t) = A(t) \vec{\hat{x}}(t) + B(t) \vec{u}(t) + L(t) (\vec{y}(t) - C(t) \vec{\hat{x}}(t))$$

beim Kalmanfilter wird  $L(t)$  damit festgelegt, dass  $\vec{\hat{x}}(t) = \vec{\hat{x}}(t) - \vec{\hat{x}}(t)$  minimal wird

analog zum LQR-Kalman ergibt sich nun, dass optimale Rückführmatrix  $L(t)$  gegeben ist durch:

$$L(t) = -P(t) C(t) R^{-1}(t)$$

wobei  $P(t)$  Lösung der Differential-Matrix-Riccati-Gleichung

$$\dot{P}(t) = P(t) A^T(t) + A(t) P(t) - P(t) C(t) R^{-1}(t) C(t) P(t) + Q(t).$$

für zeitinvariante Systeme geht Kalman-Fitter in die statische Lösung für  $L$  und damit in ein LQR-Problem über, man spricht daher von einem LQE (E für Estimation) Problem

die hier verwandte zeitkontinuierliche Darstellung entspricht dem Kalman-Bucy-Fitter, das eigentlich den Kalman-Fitter mit zeitdiskreter Formulierung wurde von der kontinuierlichen Lösung abweichen

## Befehl zur Berechnung

$$L = \text{place}(A.T, C.T, V).T \quad \# \text{ dann os gilt } \text{diag}(A^T - C^T L^T) = \text{diag}((A - L C)^T) = \text{diag}(A - L C)$$

## Störgrößenbeobachter

falls Modell d. z. beobachtenden Störgröße im Beobachter fehlerhaft modelliert werden ist oder nicht ausreichen  
Störgrößen aus Modell entnommen führt Zustandsbeobachter zu systematischen Fehlern bei Beobachtung

zweite Punkt kann beobachtet werden, indem n. messbare Störgrößen ebenfalls mittels Beobachter rekonstruiert werden:

$$\begin{aligned}\dot{\vec{x}}(t) &= A_f \vec{x}(t) + B_f \vec{s}(t) \\ \vec{f}(t) &= C_f \vec{x}(t)\end{aligned}$$

$\vec{f}$  nicht aus System

schätzbar, unten verwandelt

$\vec{s}(t)$  sind Zustände ohne innere Dynamik der Störgröße,  $\vec{s}(t)$  ZerfallsvARIABLEN, die Prozesse erfordern

$$\begin{pmatrix} \dot{\vec{x}}(t) \\ \dot{\vec{s}}(t) \end{pmatrix} = \begin{pmatrix} A & E_f \\ 0 & A_f \end{pmatrix} \begin{pmatrix} \vec{x}(t) \\ \vec{s}(t) \end{pmatrix} + \begin{pmatrix} B \\ 0 \end{pmatrix} \vec{u}(t) + \underbrace{L(\vec{s}(t) - \vec{\hat{s}}(t))}_{L \subseteq (\vec{s}(t) - \vec{\hat{s}}(t))}, \quad \vec{\hat{f}}(t) = (Q \underline{C}_f) \begin{pmatrix} \vec{x} \\ \vec{s} \end{pmatrix}$$

$E$  beschreibt wie Störgröße  $\vec{f}(t)$  in Zustände  $\vec{x}$  eingetragen werden kann

die rekonstruierten Störkräfte können nun auf vorher Werten wieder verarbeitet werden

## reduzierter Beobachter

zuvor dargestellte Zustandsbeobachtung nimmt Beobachtung des gesamten Zustandsvektors  $\vec{x}(t)$  mit n Zuständen entgegen

dieses Vorgehen jedoch nicht die Tatsache, dass r Messwerte als reale Größen vorliegen und entsprechend viele Zustände ebenfalls gerichtet, aber nicht beobachtet werden müssen (die r Messungen sind Linearkombinationen der n Zustände)

es wäre somit sinnvoll lediglich die nicht-gemessenen Zustände mittels Beobachter zu rekonstruieren

Sys in  $\mathbb{R}^r$ -Beschreibung kann in folgende Form gebracht werden:

$$\begin{pmatrix} \dot{\vec{x}}_1(t) \\ \vdots \\ \dot{\vec{x}}_r(t) \end{pmatrix} = A \begin{pmatrix} \vec{x}_1(t) \\ \vdots \\ \vec{x}_r(t) \end{pmatrix} + B \vec{u}(t), \quad \vec{y}(t) = (C_1 \ C_2) \begin{pmatrix} \vec{x}_1(t) \\ \vdots \\ \vec{x}_r(t) \end{pmatrix} \text{ so dass } C_1 \text{ regulär}$$

dazu muss man Zustandsvariablen umsortieren, sodass die ersten r Spalten von C ( $r = \# \text{ Ausgänge}$ ) linear unabhängig (immer voneinander, da  $\text{rang}(C) = r$ )

daraus lässt sich eine Transformationsmatrix in neue Koordinaten definieren:

$$\begin{pmatrix} \vec{y} \\ \vec{x}_2 \end{pmatrix} = \begin{pmatrix} C_1 & C_2 \\ 0 & I \end{pmatrix} \begin{pmatrix} \vec{x} \\ \vec{x}_2 \end{pmatrix} = T \begin{pmatrix} \vec{x} \\ \vec{x}_2 \end{pmatrix} \text{ mit } T \text{ regulär}$$

neue Zustände, setzen sich also zusammen aus gemessenen Größen  $\vec{y}$  und weiteren Zuständen  $\vec{x}_2$   
→ man spricht hier auch von Sensorkoordinaten

aus Beobachtungsgleichung (rechte Seite oben) folgt  $\vec{x}_2(t) = C_1^{-1}(\vec{y}(t) - C_2 \vec{x}_2(t))$

mean also die  $n-r$  Zustände in  $\vec{x}_2$  beobachtet werden, dann ergeben sich die r Zustände in  $\vec{x}_1$  unmittelbar aus Beobachtungen sowie aus den Messungen  $\vec{y}$

→ genügt also  $n-r$  Zustände beobachten um daraus gesuchten Zustandsvektor zu rekonstruieren

neue Zustandsraumbeschreibung (nach Transformation mit T):

$$\begin{pmatrix} \dot{\vec{y}}(t) \\ \dot{\vec{x}}_2(t) \end{pmatrix} = \begin{pmatrix} A_1 & A_2 \\ A_2 & A_0 \end{pmatrix} \begin{pmatrix} \vec{y}(t) \\ \vec{x}_2(t) \end{pmatrix} + \begin{pmatrix} B_1 \\ B_2 \end{pmatrix} \vec{u}(t), \quad \vec{y}(t) = (I \ O) \begin{pmatrix} \vec{y}(t) \\ \vec{x}_2(t) \end{pmatrix}$$

$$\dot{\vec{x}}_2(t) = A_1 \vec{x}_2(t) + (A_2 \vec{y}(t) + B_2 \vec{u}(t)),$$

$$\vec{y}(t) = \vec{y}(t) - A_1 \vec{y}(t) - B_1 \vec{u}(t) \quad (\text{mit } \vec{y}(t) := A_2 \vec{x}_2(t))$$

Zustandsgleichung

Beobachtungsgleichung

→ daraus lässt sich nun (analog zu Zustandsbeobachter) ein Beobachter konstruieren

dazu benötigt man ein Modell in Zustandsraumbeschreibung mit dem zu beobachteten Zustand als dynamische Größe, die durch bekannte Größen angetrieben wird ( $\vec{x}$ ). Dies führt über eine Beobachtungsgleichung ( $\vec{y}$ ) zu einer Größe ( $\vec{\hat{y}}$ ), die mit einer messbaren Größe verglichen werden kann ( $\vec{z}$ ). Um Beobachter zu vervollständigen, subtrahieren wir  $\vec{z}$  von  $\vec{\hat{y}}$  und führen Differenz geschichtet wieder Modell ein:

$$\begin{aligned}\dot{\vec{x}}_2(t) &= \underline{A}_4 \vec{x}_2(t) + (\underline{A}_3 \vec{y}(t) + \underline{B}_2 \vec{u}(t)) + \underline{L}(\vec{\hat{y}}(t) - \underline{A}_2 \vec{x}_2(t)) \\ &= (\underline{A}_4 - \underline{L} \underline{A}_2) \vec{x}_2(t) + (\underline{A}_3 - \underline{L} \underline{A}_1) \vec{y}(t) + (\underline{B}_2 - \underline{L} \underline{B}_1) \vec{u}(t) + \underline{L} \vec{\hat{y}}(t)\end{aligned}$$

Beobachter

dabei ist störend, dass Ableitung der messbaren Größe  $\vec{\hat{y}}(t)$  auftaucht, da dies bei Implementierung oft Probleme bereitet um Ableitung zu umgehen, kann man folgende Transformation vornehmen:  $\vec{\hat{z}} = \vec{x}_2 - \underline{L} \vec{\hat{y}}$

bei Einsetzen in obige Gleichung erscheint auf linker Seite nun der Term  $\underline{L} \dot{\vec{\hat{y}}}(t)$ , welcher sich mit jenem auf der rechten Seite aufhebt:

$$\dot{\vec{z}}(t) = (\underline{A}_4 - \underline{L} \underline{A}_2) \vec{z}(t) + (\underline{A}_3 + \underline{A}_4 \underline{L} - \underline{L} \underline{A}_1 - \underline{L} \underline{A}_2 \underline{L}) \vec{y}(t) + (\underline{B}_2 - \underline{L} \underline{B}_1) \vec{u}(t)$$

reduzierte Beobachter

gesuchte Zustand muss wieder zurücktransformiert werden mit:  $\vec{x}_2 = \vec{z} + \underline{L} \vec{\hat{y}}$

Berechnung der Rückführmatrix  $\underline{L}$  erfolgt analog dem Fall für den vollständigen Zustandsbeobachter: es müssen  $n-r$  Eigenwerte der Matrix  $(\underline{A}_4 - \underline{L} \underline{A}_2)$  vorgegeben werden (zuvor war es  $(\underline{A} - \underline{L} \underline{C})$ )  $\underline{L}$  ist  $(n-r) \times r$ -Matrix

### Zustandsregelung mit Beobachter

statt dem gemessenen  $\vec{x}$  wird der beobachtete Zustand  $\vec{\hat{x}}$  mit  $\underline{K}$  multipliziert und zurückgeführt

dynamische Gleichungen für  $\vec{x}$  und  $\vec{\hat{x}}$  ergeben sich (unter Annahme, dass  $\hat{A} = \underline{A}$ ,  $\hat{B} = \underline{B}$ ,  $\hat{C} = \underline{C}$ ) durch:

$$\begin{aligned}\dot{\vec{x}}(t) &= \underline{A} \vec{x}(t) + \underline{B} \vec{r}(t) - \underline{B} \underline{K} \vec{\hat{x}}(t) \\ \dot{\vec{\hat{x}}}(t) &= \underline{A} \vec{\hat{x}}(t) + \underline{B} \vec{r}(t) - \underline{B} \underline{K} \vec{\hat{x}}(t) + \underline{L} \underline{C} (\vec{x}(t) - \vec{\hat{x}}(t))\end{aligned}$$

diese Gleichungen beschreiben Zustandsgleichung des gesamten geschlossenen Systems und lauten in Matrixform:

$$\begin{pmatrix} \dot{\vec{x}} \\ \dot{\vec{\hat{x}}} \end{pmatrix} = \begin{pmatrix} \underline{A} & -\underline{B} \underline{K} \\ \underline{L} \underline{C} & \underline{A} - \underline{B} \underline{K} - \underline{L} \underline{C} \end{pmatrix} \begin{pmatrix} \vec{x} \\ \vec{\hat{x}} \end{pmatrix} + \begin{pmatrix} \underline{B} \\ \underline{B} \end{pmatrix} \vec{r} = \underline{A}_G \vec{x} + \underline{B}_G \vec{r}$$

Analyse einfacher wenn mit Ähnlichkeitstruktur des Systems mit Zuständen  $\vec{\xi} = (\vec{x} \ \vec{\hat{x}})^T$  wobei  $\vec{e} = \vec{x} - \vec{\hat{x}}$  Beobachtungsfehler überführt wird:

$$\vec{\xi} \stackrel{!}{=} \underline{I} \begin{pmatrix} \vec{x} \\ \vec{\hat{x}} \end{pmatrix} \Rightarrow \underline{I} = \begin{pmatrix} \underline{I} & 0 \\ 0 & \underline{I} \end{pmatrix} \text{ man beachte } \underline{I}^{-1} = \underline{I} \text{ (involutorische Matrix)}$$

$$\underline{A}_G = \underline{I} \underline{A}_G \underline{I}^{-1} = \begin{pmatrix} \underline{A} - \underline{B} \underline{K} & \underline{B} \underline{K} \\ 0 & \underline{A} - \underline{L} \underline{C} \end{pmatrix}, \quad \underline{B}_G = \underline{I} \underline{B}_G = \begin{pmatrix} \underline{B} \\ 0 \end{pmatrix}$$

angegründ der Gestalt (Blöckeidiomatrix) von  $\underline{A}_G$  gilt  $\det \underline{A}_G = \det(\underline{A} - \underline{B} \underline{K}) \cdot \det(\underline{A} - \underline{L} \underline{C})$

also ergeben sich die Eigenwerte des Gesamtsystems aus den Eigenwerten von  $\underline{A} - \underline{B} \underline{K}$  (also der Dynamik d. geschlossenen Regelkreises) und  $\underline{A} - \underline{L} \underline{C}$  (also der Dynamik d. geschlossenen Beobachtkreises):

$$P_{\text{Aos}} = P_{\underline{A}-\underline{B}\underline{K}} \cdot P_{\underline{A}-\underline{L}\underline{C}} = (s - s_1^R) \cdots (s - s_n^R) \cdot (s - s_1^B) \cdots (s - s_n^B)$$

man kann also Dynamik d. geschlossenen Systems unabhängig von Dynamik d. Beobachters wählen (und umgekehrt):

Separationstheorem: wenn Regelstrecke steuerbar & beobachtbar, so können Pole für Zustandsregelung sowie Pole für Zustandsbeobachter unabhängig voneinander gewählt werden

man erkennt am  $\tilde{A}_G$  das weiteren:

i) Dynamik d. Beobachtungsfehler  $\dot{\tilde{x}}(t)$  hängt nicht von Systemparametern  $\tilde{x}(t)$  ab

ii) Dynamik d. geschlossenen Regelkreises  $\dot{\tilde{x}}(t)$  hängt von Beobachtungsfehler  $\dot{\tilde{x}}(t)$  ab

$\rightarrow \tilde{C}S$  ist daher nicht dazu in der Lage, damit Güte d. geschl. Regelkreis nicht beeinflusst wird

man beachte:

- Spaltenauslösern gilt strikt nur für Systeme mit genau bekannten Systemparametern (leider oft nicht der Fall!)
- damit Beobachtungsfehler  $\dot{\tilde{x}}(t)$  Regelgüte nicht negativ beeinflusst (durch Kopplung  $BK$  in Gleichung für  $\tilde{A}_G$ ) sollte Dynamik d. Beobachtungsfehlers schneller als Dynamik d. geschl. Kreises gewählt werden, i.e. Eigenwerte vom  $(A - LC)$  sollten weiter links (Faustregel: Faktor 2-5) von  $(A - BK)$  liegen

# Discrete Regelkreise

meisten zu regelnden Systemen zwar TP-Verhalten, aber dennoch auch in höherfrequenten Bereichen Signalkomponenten.

→ Abstabilitätskriterium in RT untergeordnete Rolle, da Voraussetzung selten erfüllt  
→ Effekt d. Aliasung muss aber geringgradig bleiben gehalten werden!

Frequenzformel:  $\omega_T$  sollte ca. 25...40-fache von  $\omega_B$  des geschlossenen Kreises betragen  
→ siehe Abstabilität

## Differenzengleichung

$$y_k = \sum_{v=0}^q b_v u_{k-n+v} - \sum_{v=0}^{n-1} a_v y_{k-n+v}$$

→ die aus kontinuierlichen Systemen bekannten üblichen Beziehungen mit Koeffizienten  $a_0$  und  $b_0$  werden hier übernommen, allerdings sind die Zahlenwerte völlig anders wenn es diskret ist

Bsp Fibonacci:  $y_k = y_{k-1} + y_{k-2}$  mit Anfangswerten  $y_1 = y_2 = 1$

→ Differenzengleichung ohne Systemreglung  $u_k$  mit Koeffizienten  $b_0 = 0$  &  $a_0 = 0$ ,  $a_1 = -1$ ,  $a_2 = 1$ ,  $a_3 = 0$  &  $v > 2$

→ Zahlenserie ergibt sich kein aus Anfangsbedingungen und kann als Eigenbewegung des Systems aufgefasst werden

## $z$ -Transformation

### Laplace-Kontinuum

zeitdiskretes Gegenstück zu Laplace-Tranfo

abgetastetes Signal (Dmrc - Raum):

$$\bullet f^*(t) = \sum_{k=0}^{\infty} f(kT_s) \delta(t-kT_s)$$

$$\bullet F^*(s) = \mathcal{L}\{f^*(t)\} = \int_0^{\infty} e^{-st} \sum_{k=0}^{\infty} f(kT_s) \delta(t-kT_s) dt = \sum_{k=0}^{\infty} f(kT_s) e^{-skT_s} = \sum_{k=0}^{\infty} f_k \cdot (e^{sT_s})^{-k}$$

Substitution von  $e^{sT_s}$  durch Variable  $z$  ergibt:

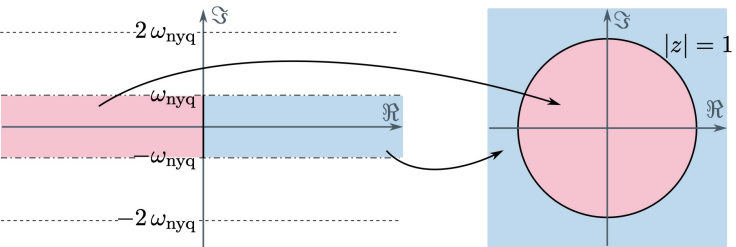
$$F^*(s) = F(z) = \sum_{k=0}^{\infty} f_k z^{-k}$$

→ periodisch mit  $\omega_{nyq}$

im  $z$ -Bereich fehlt also redundante Information außerhalb Streifen  $\omega = (-\omega_{nyq}, \omega_{nyq})$

Eigenschaften:

- Linearität
- Rechtsverschiebung:  $f_{k-m}$
- Linksverschiebung:  $f_{k+m}$
- Differenzensatz:  $\Delta f_k = f_{k+1} - f_k$
- Summensatz:  $\sum_{n=0}^k f_n$
- Faltungssatz:  $f_k * g_k = \sum_{n=0}^k f_{n-k} g_n = \sum_{n=0}^k f_n g_{k-n}$
- Anfangswertsatz:  $f_0$
- Endwertsatz:  $\lim_{k \rightarrow \infty} f_k$



- $z^{-m} F(z) \quad m = 1, 2, \dots$
  - $z^m F(z) - \sum_{v=0}^{m-1} f_v z^{m-v} \quad m = 1, 2, \dots$
  - $(z-1) F(z) - z f(0)$
  - $\frac{z}{z-1} F(z)$
  - $F(z) \cdot G(z)$
  - $= \lim_{z \rightarrow \infty} F(z)$
  - $= \lim_{z \rightarrow 1} (z-1) F(z)$
- Zulassen nicht verwendet werden um Existenz des Grenzwertes zu beweisen

## $z$ -Rücktransformation:

$$f_k = \frac{1}{2\pi i} \oint F(z) z^{k-1} dz \quad \text{wobei Kurve alle Polstellen von } F(z) \text{ umschließen muss}$$

## $z$ -UTF (Systemfunktion)

$z$ -Transformierte der Gewichtsfolge:

$$G(z) \bullet \circ g_k \text{ resp. } G(z) = \frac{Y(z)}{U(z)}$$

aus Differenzengleichung:

$$\begin{aligned} a_n y_{k+n} + \dots + a_0 y_k &= b_n u_{k+n} + \dots + b_0 u_k \\ a_n z^n Y(z) + \dots + a_0 Y(z) &= b_n z^n U(z) + \dots + b_0 U(z) \\ \Updownarrow \\ G(z) &= \frac{Y(z)}{U(z)} = \frac{b_n z^n + \dots + b_0 z + b_0}{a_n z^n + \dots + a_0 z + a_0} \\ &= \frac{\tilde{b}_n z^n + \dots + \tilde{b}_0 z^{1-n} + \tilde{b}_0 z^{-n}}{1 + \tilde{a}_{n-1} z^{-1} + \dots + \tilde{a}_1 z^{1-n} + \tilde{a}_0 z^{-n}} \cdot \frac{E(z)}{E(z)} \end{aligned}$$

$$\rightarrow \begin{cases} Y(z) = (\tilde{b}_n + \tilde{b}_{n-1} z^{-1} + \dots + \tilde{b}_1 z^{1-n} + \tilde{b}_0 z^{-n}) \cdot E(z) \\ E(z) = U(z) - \tilde{a}_{n-1} z^{-1} E(z) - \dots - \tilde{a}_1 z^{1-n} E(z) - \tilde{a}_0 z^{-n} E(z) \end{cases}$$

blauer Teil Abbildung

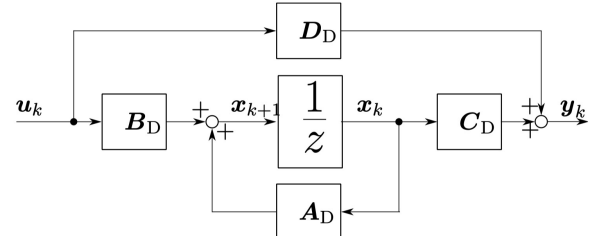
roter Teil Abbildung

Frequenzgang erhält man mit  $z = e^{j\omega T_s}$

abgesehen von Zeitkonstantenansetzung kann man die  $z$ -UTF auch in anderer Darstellungsformen wie Polynomform, Pol-Nullstellenform und Summandendarstellung bringen

## Zustandsraumdarstellung

$$\begin{aligned} \vec{x}_{k+1} &= A_D \vec{x}_k + B_D \vec{u}_k && \text{Zustandsgleichung} \\ \vec{y}_k &= C_D \vec{x}_k + D_D \vec{u}_k && \text{Ausgangsgleichung} \end{aligned}$$



im BSB Integriert man durch bedrifft Operator  $\frac{1}{z} = z^{-1}$  setzen

$$G(z) = \frac{Y(z)}{U(z)} = C_D (zI - A_D)^{-1} B_D + D_D$$

2RD aus Differenzengleichung (wobei  $a_n = 1$  und  $n=q$ ):

$$A_D = \begin{pmatrix} 0 & 1 & & \\ 1 & 0 & & \\ & \ddots & \ddots & \\ 0 & & -a_0 & \dots & -a_{n-1} \end{pmatrix},$$

$$B = \begin{pmatrix} 0 \\ 1 \\ 0 \\ \vdots \end{pmatrix},$$

$$C_D = (b_0 - b_n a_0, \dots, b_{n-1} - b_n a_{n-1}), \quad D = b_n$$

Regelungsnormalform

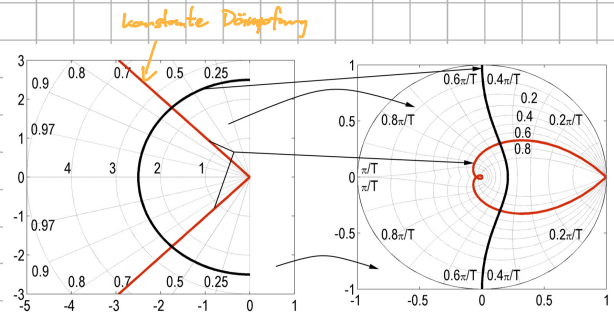
BSB aus 2RD:

- Anzahl  $z^{-1}$  Operatoren = Anzahl Zustände  $n$
- von hinten nach vorne Zustände durchnummieren (ganz links  $n$ , ganz rechts 1)
- $x_i^{(i)}$  ist jeweils hinter/rechts von  $z^{-1}$  Operator,  $x_{i+1}^{(i)}$  davor/links
- Differenzengleichungen entsprechend Zustandsgleichungen erzeugen
- Ausgangsgleichung

Transformation  $s \rightarrow z$

$$z = e^{sT_s} \quad (\text{Frequenzgang: } z = e^{j\omega T_s})$$

→ Ursprungsgeraden auf herzförmige Kurven.



# Diskretisierung von kontinuierlichen UTFs

## Finite Differenzen Methode

$$\underline{A}_D = \underline{I} + T_s \underline{A}, \quad \underline{B}_D = T_s \underline{B}, \quad \underline{C}_D = \underline{C}, \quad \underline{D}_D = \underline{D}$$

## Exakte Diskretisierung

Lösung der Bewegungsgleichung im Kontinuierlichen:

$$\vec{x}(t) = e^{\underline{A}t} \vec{x}_0 + \int_0^t e^{\underline{A}(t-\tau)} \underline{B} u(\tau) d\tau$$

Abtasten mit  $T_s$ :

$$\begin{aligned} \vec{x}((k+1)T_s) &= \vec{x}_{k+1} = e^{\underline{A}(k+1)T_s} \vec{x}_0 + \int_0^{(k+1)T_s} e^{\underline{A}((k+1)T_s-\tau)} \underline{B} u(\tau) d\tau \\ &= e^{\underline{A}T_s} \left( e^{\underline{A}kT_s} \vec{x}_0 + \int_0^{kT_s} e^{\underline{A}(kT_s-\tau)} \underline{B} u(\tau) d\tau \right) + \int_{kT_s}^{(k+1)T_s} e^{\underline{A}((k+1)T_s-\tau)} \underline{B} u(\tau) d\tau \\ &= e^{\underline{A}T_s} \vec{x}_k + \int_{kT_s}^{(k+1)T_s} e^{\underline{A}((k+1)T_s-\tau)} \underline{B} u(\tau) d\tau \end{aligned}$$

hintere Integral beschreibt nur noch Einfluss der Stellgröße im letzten Zeitschritt, dort ist diese aber konstant  $u(\tau) = u(kT_s) = u_k$  und kann somit aus Intervall gezogen werden:

$$\vec{x}_{k+1} = e^{\underline{A}T_s} \vec{x}_k + \int_{kT_s}^{(k+1)T_s} e^{\underline{A}((k+1)T_s-\tau)} \underline{B} d\tau u_k$$

Substitution  $\tau' = (k+1)T_s - \tau$ :

$$\vec{x}_{k+1} = e^{\underline{A}T_s} \vec{x}_k - \int_{T_s}^0 e^{\underline{A}\tau'} \underline{B} d\tau' u_k = e^{\underline{A}T_s} \vec{x}_k + \int_0^{T_s} e^{\underline{A}\tau'} \underline{B} d\tau' u_k = \underline{A}_D \vec{x}_k + \underline{B}_D u_k$$

Matrizen d. diskreten Modells werden also wie folgt aus der kontinuierlichen Beschreibung erhalten:

$$\underline{A}_D = e^{\underline{A}T_s}, \quad \underline{B}_D = \int_0^{T_s} e^{\underline{A}\tau} d\tau \underline{B}, \quad \underline{C}_D = \underline{C}, \quad \underline{D}_D = \underline{D}$$

wenn  $\underline{A}$  regulär ist, kann  $\underline{B}_D$  geschlossen ausgedrückt werden:

$$\underline{B}_D = \int_0^{T_s} e^{\underline{A}\tau} d\tau \underline{B} = \underline{A}^{-1} e^{\underline{A}T_s} \int_0^{T_s} \underline{B} = \underline{A}^{-1} (e^{\underline{A}T_s} - \underline{I}) \underline{B}$$

da Eigenwerte  $\text{eig}(\underline{A}_D) = \text{eig}(e^{\underline{A}T_s}) \Rightarrow$  stabiles kont. Sys. bleibt stabil im diskreten

mit der Approximation  $e^M = \sum_{k=0}^{\infty} \frac{1}{k!} M^k \approx \underline{I} + \underline{M}$  erhält man wieder die Resultate der MFE

ZOH - Transformation / sprunginvariante Transformation

$$G(z) = \sum \{ g_k \} = \sum \{ h_k - h_{k-1} \} = \sum \{ h(t) - \sum \{ h(t-T_s) \} \} = (1-z^{-1}) \sum \{ h(t) \} = \frac{z-1}{z} \sum \{ h^{-1} \{ \frac{G(s)}{s} \} \}$$

kann i.A. exakte Diskretisierung vorausgesetzt werden, da man in beiden Fällen von konstanten Eingangsverstärken  $u_k$  während Abtastintervall ausgeht

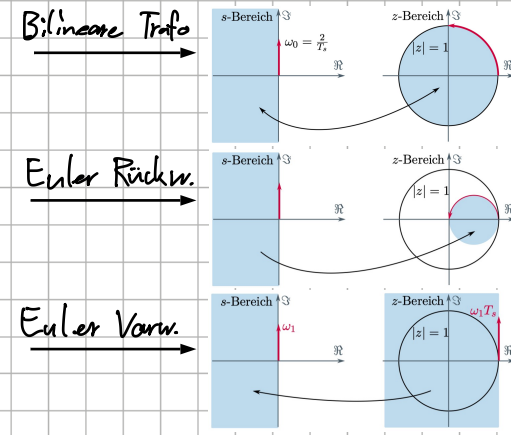
Bilineare Transformation (Tustin Verfahren)

$$z = e^{sT_s} \Rightarrow s = \frac{\log(z)}{T_s} = \frac{z-1}{T_s} \left( \frac{z-1}{z+1} + \frac{1}{3} \left( \frac{z-1}{z+1} \right)^3 + \dots \right) \approx \frac{z-1}{T_s} \frac{z-1}{z+1}$$

Euler-Verfahren

$$\text{Rückwärts: } s \approx \frac{1}{T_s} \frac{z-1}{z} \quad \text{resp. } y_k = y_{k-1} + T_s u_k$$

$$\text{Vorwärts: } s \approx \frac{z-1}{T_s} \quad \text{resp. } y_k = y_{k-1} + T_s u_{k-1}$$



## Abtastregelung

aus Sicht des Abtastreglers wird die eigentlich kontinuierliche Strecke wie ein zeitdiskretes System «gesehen»

→ formale Beschreibung ist dabei ein zeitdiskretes System, welches mittels Diskretisierung aus diskretem System gewonnen

Approximation ZOH-Trafo im kontinuierlichen:

$$e_{\text{Abtast}}^{\text{Vorlaut}}(\omega) = -\omega \frac{T_s}{2}$$

Totzeitglied mit  $T_t = T_s/2$

Abtasten einer Regelstrecke führt also im Wesentlichen zu einer Zeitverzögerung von  $T_s/2$

für offene Ketten mit I-Verhalten, ist Bandbreite des geschlossenen Systems etwa Durchflüssepunkt des Amplitudenganges durch die 0-dB Linie

soll nun System mit Abtastregler befriedigen werden, so führt dies zu einem weiteren Phasenverlust  $\varphi_{\text{Abtast}}$

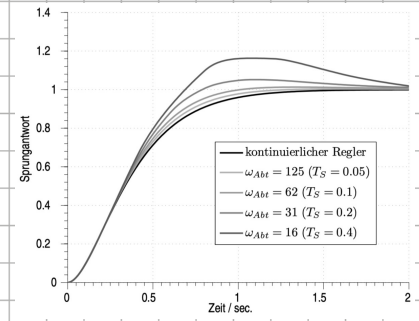
i.A. sind 5-7° Phasenverluste tolerabel, womit wir folgendes erhalten:

$$\varphi_{\text{Abtast}} \approx 5 \dots 7 \cdot \frac{\pi}{180} \stackrel{!}{=} \frac{\omega_B \cdot T_s}{2} \Rightarrow T_s \approx \frac{1}{4 \dots 6} \frac{1}{\omega_B} \text{ resp. } \omega_T \approx 25 \dots 40 \text{ rad/s}$$

wobei  $\omega_B$  die closed-loop Bandbreite in rad/s bezeichnet

## Wurzelortskurve

Abtastsysteme verlieren bei Rückkopplung bei Erhöhung der Reglerverstärkung  $K$  stets Imaginäres



# Linearisierung von Systemen N. Ordnung

umschreiben in System 1. Ordnung (gilt immer)

$$\begin{pmatrix} \dot{x}_1 \\ \vdots \\ \dot{x}_n \end{pmatrix} = \begin{pmatrix} f_1(x_1, \dots, x_n, u_1, \dots, u_q) \\ \vdots \\ f_n(x_1, \dots, x_n, u_1, \dots, u_q) \end{pmatrix} \quad \text{resp.} \quad \vec{\dot{x}} = \vec{f}(\vec{x}, \vec{u})$$

$x_1 = x$
$x_2 = \dot{x}$
$\vdots$
$x_n = x^{(n-1)}$

1. Schritt: Arbeitspunkt bestimmen

→ Ruhelage

Linearisierung erfolgt immer an einem stationären Arbeitspunkt

$$\vec{f}(\vec{x}_0, \vec{u}_0) \stackrel{!}{=} 0 \Rightarrow \vec{x}_0, \vec{u}_0$$

2. Schritt:  $\Delta$ -Größen festlegen

$$\vec{x} = \vec{x}_0 + \vec{\Delta x}, \quad \vec{u} = \vec{u}_0 + \vec{\Delta u} \quad (\text{es folgt unmittelbar } \vec{\dot{x}} = \vec{\Delta x}, \vec{\ddot{x}} = \vec{\Delta u})$$

3. Schritt: Lineare Approximationen bestimmen

$$\underline{A} = \frac{\partial}{\partial \vec{x}} \vec{f}(\vec{x}, \vec{u}) \Big|_{\substack{\vec{x}=\vec{x}_0 \\ \vec{u}=\vec{u}_0}} \in \mathbb{R}^{n \times n}, \quad \underline{B} = \frac{\partial}{\partial \vec{u}} \vec{f}(\vec{x}, \vec{u}) \Big|_{\substack{\vec{x}=\vec{x}_0 \\ \vec{u}=\vec{u}_0}} \in \mathbb{R}^{n \times q}$$

$$\vec{f}(\vec{x}, \vec{u}) = \vec{f}(\vec{x}_0 + \vec{\Delta x}, \vec{u}_0 + \vec{\Delta u}) = \underline{A} \vec{\Delta x} + \underline{B} \vec{\Delta u} + O^2 \approx \underline{A} \vec{\Delta x} + \underline{B} \vec{\Delta u}$$

4. Schritt: Lineares System

$$\vec{\dot{x}} = \frac{d}{dt}(\vec{x}_0 + \vec{\Delta x}) = \vec{\Delta x}$$

$$\begin{aligned} \vec{\Delta x} &= \underline{A} \vec{\Delta x} + \underline{B} \vec{\Delta u} \\ \vec{\Delta y} &= \underline{C} \vec{\Delta x} + \underline{D} \vec{\Delta u} \end{aligned} \quad \text{Jacobi-Matrizen entsprechen grade A und B der ZRD}$$

abschliessend ersetzt man oft die  $\Delta$ -Variablen durch die ordnaten Variablen